

การเพิ่มความไวของเครื่องอ่านแอลเอฟເອສໍາຮັບໃຊ້ກັບເໜີເຂອ້າທຳງໝົວກາພ



วิทยานิพนธ์นี้เป็นส่วนหนึ่งของการศึกษาตามหลักสูตรปริญญาวิศวกรรมศาสตรมหาบัณฑิต
สาขาวิชาชีวกรรมอิเล็กทรอนิกส์และโฟโตอนิกส์
มหาวิทยาลัยเทคโนโลยีสุรนารี
ปีการศึกษา 2559

**SENSITIVITY IMPROVEMENT IN LATERAL FLOW
IMMUNOCHROMATOGRAPHIC ASSAYS READERS
FOR BIOSENSING APPLICATIONS**

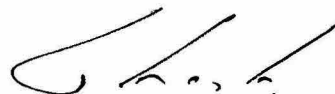


**A Thesis Submitted in Partial Fulfillment of the Requirements for the
Degree of Master of Engineering in
Electronics and Photonics Engineering
Suranaree University of Technology
Academic Year 2016**

การเพิ่มความไวของเครื่องอ่านแอลเอฟເອສໍາຫັບໃຊ້ກັບເໜີເຂອງທຳກັນ

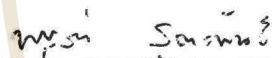
มหาวิทยาลัยเทคโนโลยีสุรนารี อนุมัติให้นับวิทยานิพนธ์ฉบับนี้เป็นส่วนหนึ่งของการศึกษา
ตามหลักสูตรปริญญามหาบัณฑิต

คณะกรรมการสอบวิทยานิพนธ์



(ผศ. ดร.ชาญชัย ทองโสก้า)

ประธานกรรมการ



(ผศ. ดร.บุญส่ง สุตะพันธ์)

กรรมการ (อาจารย์ที่ปรึกษาวิทยานิพนธ์)



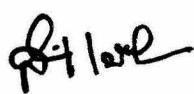
(ผศ. ดร.พนมศักดิ์ มีมนต์)

กรรมการ



(ศ. ภกญ. ดร.มณฑารพ ยมภัย)

กรรมการ



(ศ. ดร.สันติ แม่นศิริ)

รักษาการแทนรองอธิการบดีฝ่ายวิชาการ
และพัฒนาความเป็นสากล



(รศ. ร.อ. ดร.กนต์ธร ชำนิประสาสน์)

คณบดีสำนักวิชาชีวกรรมศาสตร์

ลลิตา สายศิลป์ : การเพิ่มความไวของเครื่องอ่านแอลเอฟอเอกสารสำหรับใช้กับเซนเซอร์ทาง
ชีวภาพ (SENSITIVITY IMPROVEMENT IN LATERAL FLOW
IMMUNOCHROMATOGRAPHIC ASSAYS READERS FOR BIOSENSING
APPLICATIONS) อาจารย์ที่ปรึกษา : อาจารย์ ดร.บุญสั่ง สุตตะพันธ์, 83 หน้า

ชุดทดสอบอย่างง่ายแบบแอลเอฟอ (Lateral flow immunochromatographic assays, LFA) ได้รับความสนใจเป็นชุดทดสอบสำหรับสารชีวภาพหลากหลายชนิด ในประเทศไทยเอง ได้มีการวิจัยและพัฒนาชุดทดสอบแอลเอฟอสำหรับเป็นชุดทดสอบในทางการแพทย์ การตรวจสอบอาหาร และการเกษตร เป็นจำนวนมาก การแปลผลชุดทดสอบใช้การอ่านแบบสีด้วยตาเปล่า ซึ่งขึ้นอยู่กับแต่ละบุคคล วิธีการดังกล่าวจะมีปัญหามากขึ้นถ้าสารตัวอย่างมีความเข้มข้นต่ำ ส่งผลให้แบบทดสอบมีสีจาง จนบางครั้งไม่สามารถแยกแยะความแตกต่างสีได้ ดังนั้นการพัฒนาเครื่องอ่านแบบสีชุดทดสอบสำหรับใช้ในการแปลผล จะสามารถแก้ไขปัญหาดังกล่าวได้

เมื่อชุดทดสอบอย่างง่ายได้รับความน่าเชื่อถือจากผู้ใช้สูงขึ้น การพัฒนาเครื่องมือสำหรับแปลผลอัตโนมัติจึงได้รับความสนใจมากขึ้นตามลำดับ ดังนั้นงานวิจัยนี้จึงมีเป้าหมายที่จะพัฒนาเครื่องอ่านแบบสีที่ให้ค่า Detection limit ดีกว่าการแปลผลด้วยตา และออกแบบให้สามารถใช้งานกับชุดทดสอบที่พัฒนาขึ้นภายในประเทศ ได้ทำการศึกษาแนวทางเบื้องต้นการออกแบบเครื่องอ่านแบบสีที่ดี ได้เลือกใช้กล้องเว็บแคม และใช้กล้องโทรศัพท์แบบพกพาในการถ่ายภาพแบบสี เนื่องจากมีราคาไม่แพง และใช้ได้โดยเปลี่ยนແสั่งเป็นแหล่งกำเนิดแสง งานวิจัยนี้ได้พัฒนาโปรแกรมคอมพิวเตอร์เพื่อประมวลผลและแสดงผลอ่านค่าความเข้มแสงที่แบบทดสอบแบบอัตโนมัติ ทำให้สะดวกและรวดเร็ว สามารถใช้งานกับชุดทดสอบแบบทั่วไปและชุดทดสอบแบบ Multiplex ได้

เมื่อนำเครื่องอ่านแบบสีชุดทดสอบอย่างง่ายที่พัฒนาขึ้นไปทดสอบใช้งานกับชุดทดสอบที่จำเพาะต่อเชื้อ *Acidovorax avenae* subsp. *citrulli* (*Aac*) พบร่วมกับ Detection limit ของเครื่องอ่านดีกว่า การแปลผลด้วยตาเปล่าถึง 50 เท่า จากการศึกษาการตั้งค่า Exposure time ต่ำลงเมื่อเทียบกับค่าที่ซอฟต์แวร์เลือกให้อัตโนมัติในการเก็บแบบ Under exposure ทำให้ผลการวัดดีขึ้น

เครื่องมือดังกล่าวมีต้นทุนการผลิตต่ำ สามารถผลิตใช้งานในประเทศไทยได้ เหมาะสมสำหรับผู้ผลิตชุดทดสอบที่ผลิตจำหน่ายในประเทศไทย

LALITA SAISIN : SENSITIVITY IMPROVEMENT IN LATERAL FLOW
IMMUNOCHROMATOGRAPHIC ASSAYS READERS FOR BIOSENSING
APPLICATIONS. THESIS ADVISOR : ASST. PROF. BOONSONG
SUTAPUN, Ph.D., 83 PP.

LATERAL FLOW IMMUNOCHROMATOGRAPHIC ASSAYS (LFA)

Lateral flow immunochromatographic assays (LFA) have been widely used as rapid diagnostic devices. In Thailand, several lateral-flow test kits have been developed for biosensing detection in medical, food quality and agriculture applications. However, visual interpretation of the test bands on the test strip with the naked eye is subject to human error. In some cases, development of a low concentration of the sample causes a faint test line and visualization of the test line will be problematic. Therefore, automatic test reader could improve the detection limit and reduce the uncertainty.

The objective of this research is to develop a test strip reader that has a detection limit is better than that of by visual interpretation with the naked eyes. The reader includes a green light emitting diode light source and a camera used to detect the color of the test line and control line in the test strip. Two types of cameras were employed in this work including a web camera and a mobile phone. The captured images were transferred to a computer for automatic image processing. A computer program was developed to analyse the captured images and calculated the intensity change at the test line. These readers can be used to read both a single-analyse test strip and a multiplex test strip.

The performance of the strip readers was evaluated by *Acidovorax avenae* subsp.*citrulli* (*Aac*) test kits. In this study, we found that by adjusting an exposure time of camera compared to the exposure time automatic mode improves the detection limit. The limit of detection of the system is better than that of by the naked eye approximately visualization to be under exposure 50-fold. These low-cost, lateral flow readers are suitable for use with the test kits manufactured locally.

School of Electronics Engineering

Academic Year 2016

Adviser's Signature

กิตติกรรมประกาศ

วิทยานิพนธ์นี้ดำเนินเรื่องล้วงด้วยคืนนี้ของจากได้รับคำปรึกษา แนะนำ และช่วยเหลืออย่างดีเยี่ยม ทั้งด้านวิชาการและด้านดำเนินงานวิจัย จากนักคณิตและกลุ่มนักคณิตต่อไปนี้

ผู้ช่วยศาสตราจารย์ ดร.นุญส่าง สุตะพันธ์ อาจารย์ที่ปรึกษาวิทยานิพนธ์ ผู้ที่ให้ความรู้ อบรมสั่งสอน ชี้แนะ และช่วยเหลือแก่ผู้วิจัยมาโดยตลอด รวมทั้งช่วยตรวจสอบและแก้ไขวิทยานิพนธ์เล่มนี้จนเสร็จสมบูรณ์

ดร. อามโนทัย สมบูรณ์แก้ว, นาย รัฐศาสตร์ อัมฤทธิ์ และ ดร.ศุภนิจ พรหีระกัทร ห้องปฏิบัติการเทคโนโลยีไฟฟ้าและอุปกรณ์อัจฉริยะ ศูนย์เทคโนโลยีและอิเล็กทรอนิกส์แห่งชาติ ที่ให้คำแนะนำ คำปรึกษา ความช่วยเหลือในการใช้อุปกรณ์ และเครื่องมือต่างๆ ในการทำวิจัยนี้

ดร. อรประไพ คงนันท์, ดร.อรรวรรตน์ ทิมานันโน และคณะห้องปฏิบัติการผลิตโนโน โคลนอลแอนติบอดี ศูนย์พันธุวิศวกรรมและเทคโนโลยีไฟฟ้าและอุปกรณ์อัจฉริยะ ที่เตรียมตัวอย่างในการทดลองและคำปรึกษาในการดำเนินงานวิจัย

รองศาสตราจารย์ ดร.ชาญชัย ทองโสภา, ศาสตราจารย์ เกษ็ชกรหฤทัย ดร. มณฑารพ ยามากย์ และผู้ช่วยศาสตราจารย์ ดร. พนนศักดิ์ มีมนต์ ที่กรุณาให้การแนะนำ และตรวจรูปแบบวิทยานิพนธ์จนเสร็จสมบูรณ์

โครงการวิจัยนี้ได้รับทุนสนับสนุนจากโครงการทุนสถาบันน้ำมันดิบวิทยาศาสตร์และเทคโนโลยีไทย (TGIST) ที่ TGIST.01-57-025 สำนักงานพัฒนาวิทยาศาสตร์และเทคโนโลยีแห่งชาติ

ลดา สายศิลป์

สารบัญ

หน้า

บทคัดย่อ (ภาษาไทย)	ก
บทคัดย่อ (ภาษาอังกฤษ)	ข
กิตติกรรมประกาศ	ง
สารบัญ	จ
สารบัญตาราง	ฉ
สารบัญรูป	ฉ
บทที่	
1 บทนำ	1
1.1 ที่มาและความสำคัญของปัจจุบัน	1
1.2 วัตถุประสงค์ของงานวิจัย	7
1.3 ขอบเขตของการวิจัย	7
1.4 ประโยชน์ที่ได้รับ	7
2 ปริศน่าวรวณกรรมและงานวิจัยที่เกี่ยวข้อง	8
2.1 ชุดทดสอบอย่างง่ายแบบ Lateral flow immunochromatographic assays	8
2.2 รูปแบบชุดทดสอบสำหรับการตรวจวัสดุสารทางชีวภาพ	10
2.3 เทคนิคที่ใช้สำหรับเครื่องอ่านแอนติบอดี้ชุดทดสอบอย่างง่าย	13
2.3.1 เทคนิคการวัดความเข้มแสงจากชุดทดสอบด้วยไฟโตเดtiektor	14
2.3.2 เทคนิคการการถ่ายภาพชุดทดสอบและคำนวณหาความเข้ม แสงด้วยกล้อง CCD หรือ กล้อง CMOS	15
2.3.3 เทคนิคการการถ่ายภาพชุดทดสอบและคำนวณหาความเข้ม แสงด้วยกล้องโทรทรรศน์แบบพกพา	17
2.4 เทคนิคการเพิ่มความไว (Sensitivity) สำหรับเครื่องอ่านแอนติบอดี้ ชุดทดสอบอย่างง่าย	19

สารบัญ (ต่อ)

หน้า

2.4.1	เทคนิคกำหนดคุณสมบัติกระแทบทองแสงเพื่อลดแสงสะท้อน โดยตรงจากไนโตรเซลลูโลสเมมเบรนบนชุดทดสอบ.....	19
2.4.2	เทคนิค Silver staining enhancement.....	21
2.4.3	เทคนิคไฟโตเทอร์มัลแบบไม่สัมผัส.....	22
2.4.4	เทคนิคประมวลผลภาพชุดทดสอบอย่างจ่าย.....	24
3	การออกแบบเครื่องอ่านแอบสีชุดทดสอบอย่างจ่ายแบบแอลเอฟโอ.....	28
3.1	การออกแบบเครื่องอ่านแอบสีชุดทดสอบ โดยใช้กล้องเว็บแคมเป็นอุปกรณ์รับภาพ.....	28
3.2	กราฟ Line profile.....	31
3.3	การออกแบบเครื่องอ่านแอบสีชุดทดสอบโดยใช้ กล้องโทรศัพท์แบบพกพาเป็นอุปกรณ์รับภาพ.....	33
3.4	การคำนวณค่าการสะท้อนแสงแบบ Line profile.....	35
3.5	โปรแกรมคอมพิวเตอร์สำหรับคำนวณหาตำแหน่ง แอบทดสอบและค่า ΔI_T	36
3.6	การพัฒนาเครื่องอ่านแอบสีแบบ Multiplex.....	39
4	การทดลองและผลการทดลอง.....	42
4.1	ตัวอย่างที่ใช้ในการทดลอง.....	42
4.1.1	ชุดตรวจโรคผลเน่าเบกที่เรียกว่าเกิดจากเชื้อ <i>Acidovorax avenae</i> subsp. <i>citrulli</i>	42
4.1.2	ชุดตรวจโรคผลเน่าเบกที่เรียบแบบตรวจวัดพร้อมกัน (Multiplex detection).....	44
4.2	วิธีการทดลอง.....	45
4.3	การคำนวณหาค่าความเข้มข้นต่ำสุดที่วัดได้ (Detection limit).....	45

สารบัญ (ต่อ)

หน้า

4.4 การปรับเวลาในการรับภาพของกล้อง (Exposure time).....	47
4.5 ผลการทดลองเบื้องต้น.....	48
4.6 Detection limit เมื่อใช้การอ่านค่าแบบ Under exposure.....	49
4.7 Detection limit ของชุดทดสอบกรณีระบุແນບສີດ້ວຍຕາມປ່າໄລ.....	51
4.8 ผลการวัดค่าสัญญาณต่อสัญญาณรบกวนเมื่อใช้จำนวนเพرمภาพເຄີຍຕ່າງກັນ.....	55
4.9 ผลการปรับค่า Exposure time ของกล้องເວັນແຄມ.....	57
4.10 ผลการปรับค่า Exposure time ของกล้องໂທຣັກພົກພາ.....	59
4.11 ผลการปรับค่าພາຣາມີເຕອຮື່ອນ ທະ ของกล้อง.....	61
4.11.1 ผลการปรับค่า Contrast ของกล้อง.....	62
4.11.2 ผลของการปรับค่า Gain ของกล้อง.....	64
4.12 ผลการทดลองกับชุดทดสอบแบบ Multiplex.....	65
4.13 การวิเคราะห์ผลการทดลอง.....	68
5 สรุป.....	75
รายการอ้างอิง.....	77
ภาคผนวก	
ภาคผนวก ก. บทความที่ได้รับการตีพิมพ์เผยแพร่ในระหว่างการศึกษา.....	82
ประวัติผู้เขียน.....	83

สารบัญตาราง

ตารางที่	หน้า
1.1 เครื่องอ่านแอบสีชุดทดสอบอย่างจ่ายที่มีจำนวนน้ำยาในเชิงพาณิชย์.....	4
4.1 ผลการอ่านค่าแอบสีชุดทดสอบเชื้อแบคทีเรีย Aac ที่ความเข้มข้น Healthy, 1×10^5 , 5×10^5 , 1×10^6 , 5×10^6 และ 1×10^7 CFU/mL (N=5) โดยใช้การระบุการเกิดแอบสีด้วยตาเปล่า [*] จากผู้ทดสอบทั้งหมด 9 คน.....	53
4.2 ค่า RGB ของแอบสีที่พิมพ์ขึ้นที่มีแอบสีไกส์คีชงกับแอบสีชุดทดสอบ Aac ที่ความเข้มข้นต่าง ๆ	62
4.3 ค่าการสะท้อนแสงที่ลดลงที่แอบสทดสอบของชุดทดสอบแบบ Multiplex.....	68

สารบัญ

รูปที่	หน้า
2.1 โครงสร้างของ Lateral flow immunochromatographic assays	9
2.2 (ก) การให้ผลของสารตัวอย่างสำหรับชุดทดสอบอย่างง่ายแบบ Lateral flow immunochromatographic assays (LFA) การเกิดสีที่แนบความคุณ (Control line) และแนบทดสอบ (Test line) และ (ข) การแปลผลชุดทดสอบ.....	10
2.3 (ก) การให้ผลของสารตัวอย่างสำหรับชุดทดสอบอย่างง่ายแบบ Sandwich assays และ (ข) การแปลผลชุดทดสอบ.....	12
2.4 การให้ผลของสารตัวอย่างสำหรับชุดทดสอบอย่างง่ายแบบ Competitive assays และ (ข) การแปลผลชุดทดสอบ.....	13
2.5 (ก) เทคนิคการวัดความเข้มแสงจากชุดทดสอบด้วยไฟโตเดอร์ และ (ข) ค่าการสะท้อนแสงหรือ Line profile ที่อ่านได้จากไฟโตเดอร์ สำหรับชุดทดสอบอย่างง่ายตรวจสอบเชื้อไวรัสตับอักเสบบี.....	15
2.6 (ก) เทคนิคการการถ่ายภาพชุดทดสอบอย่างง่ายด้วยกล้อง CMOS และ (ข) กราฟค่าการสะท้อนแสงหรือ Line profile สำหรับชุดทดสอบอย่างง่าย.....	16
2.7 (ก) หลักการออกแบบเครื่องอ่านแนบสีชุดทดสอบด้วยกล้องโทรศัพท์แบบพกพา และ (ข) ต้นแบบเครื่องอ่านแนบสีชุดทดสอบด้วยกล้องโทรศัพท์แบบพกพา พร้อมหน้าจอหลักของแอปพลิเคชันที่ใช้ประมวลผลที่กลุ่มของวิจัยพัฒนาขึ้น.....	18
2.8 ค่าการสะท้อนแสงหรือ Line profile ที่อ่านได้แต่ละตำแหน่งบนชุดทดสอบ สำหรับหาระยะห่างวิตามินนี 12 (ก) ชุดทดสอบสำหรับตัวอย่างที่ไม่มีวิตามินนี 12 ค่าการสะท้อนแสงที่ลดลงที่แนบทดสอบและแนบความคุณมีค่าใกล้เคียงกัน และ (ข) ชุดทดสอบสำหรับตัวอย่างที่ความเข้มข้น 369 pmol/L.....	19

สารบัญรูป (ต่อ)

รูปที่	หน้า
2.9 (ก) ขัดตำแหน่งของแหล่งกำเนิดแสงและไฟโตดีเท็กเตอร์ทำมุมตั้งจาก 90° กับชุดทดสอบ และ (ข) ขัดตำแหน่งของแหล่งกำเนิดแสงทำมุม (α) และตำแหน่งไฟโตดีเท็กเตอร์ทำมุม ^(beta) กับชุดทดสอบ.....	20
2.10 (ก) หลักการของ Silver staining enhancement สำหรับวิเคราะห์ชุดทดสอบอย่างง่าย	22
2.11 ผลการทดสอบของชุดทดสอบสำหรับตรวจหาเชื้อราฟูโนนิชน์ บี1 ภาพทางซ้ายมือ ^{แสดงผลก่อนการทำ Silver staining ส่วนภาพทางขวาเมื่อแสดงผลหลังทำ Silver staining ที่ชุดทดสอบความเข้มข้นต่างๆ}	22
2.12 (ก) หลักการของเทคนิคไฟโตเทอร์มัลแบบไม่มีสัมผัสสำหรับใช้งานกับชุดทดสอบอย่างง่าย และ (ข) ตัวอย่างภาพถ่ายชุดทดสอบเชื้อรา CrAg ภาพบนจากกล้องดิจิตอล ^{และการล่างจากกล้องไฟโตเทอร์มัลแบบอินฟราเรดที่ความเข้มข้น}	24
2.13 ภาพถ่ายแบบสีชุดทดสอบสำหรับตรวจหาโปรตีน NT-proBNP ทั้ง 3 ช่วงความสว่าง ^{จากนั้นทำการรวมภาพทั้ง 3 ช่วงด้วยเทคนิคการรวมภาพที่เรียกว่า HDR}	25
2.14 กราฟค่าการสะท้อนแสงที่ลดลงตามเวลา ตั้งแต่ภาพชุดทดสอบยังไม่ปรากฏแบบสี ^{จนกระทั่งเกิดแคนสีบนชุดทดสอบตรวจหาโปรตีน NT-proBNP เส้นสีดำในกราฟเป็นค่าการสะท้อนแสงของภาพปกติ ส่วนเส้นสีแดงในกราฟเป็นค่าการสะท้อนแสงของภาพ}	26
3.1 ภาพถ่ายการส่องสว่างของแหล่งกำเนิดแสงแบบไดโอดเปล่งแสงสีเขียว (เส้นสีเขียว) ^{สอดคล้องกับภาพถ่ายการกระเจิงแสงของอนุภาคนาโนของทองเหลือง 40 nm (เส้นสีแดง)}	29
3.2 (ก) การจัดอุปกรณ์ของเครื่องอ่านแคนสีชุดทดสอบโดยใช้กล้องเว็บแคมเป็น ^{อุปกรณ์รับภาพ (ข) ภาพต้นแบบภาคสนามเครื่องอ่านแคนสีชุดทดสอบโดยใช้กล้องเว็บแคม และ (ค) รูปภาพต้นแบบพร้อมคำยกомพิวเตอร์ประมวลผล}	30
3.3 หน้าจอประมวลผลของเครื่องอ่านแคนสีชุดทดสอบ	31

สารบัญรูป (ต่อ)

รูปที่	หน้า
3.4 กราฟ Line profile จากชุดทดสอบเบรเยนเทียบระหว่างไม่ชุดเบย์ผล เนื่องจากความเข้มแสงกับชุดเบย์ผลเนื่องจากความเข้มแสง	32
3.5 (ก) การจัดอุปกรณ์ของเครื่องอ่านແຄນสีชุดทดสอบโดยใช้กล้องโทรสัพท์แบบพกพา ^ก เป็นอุปกรณ์รับภาพ (ข) ต้นแบบภาคสนามของเครื่องอ่านແຄນสีชุดทดสอบ และ (ค) หน้าจอแสดงภาพແຄນสีชุดทดสอบ	34
3.6 (ก) ภาพอ้างอิง (ข) ภาพเมื่อปิดแหล่งกำเนิดแสง และ (ค) กราฟ Line profile ค่าการสะท้อนแสงที่ลดลงที่คำแนะนำແຄນทดสอบ (ΔI_T)	36
3.7 การหาตำแหน่งของແຄນทดสอบ และค่า ΔI_T ที่ແຄນทดสอบอัตโนมัติ	37
3.8 Flow chart การทำงานของโปรแกรมหาตำแหน่งของແຄນทดสอบ และค่า ΔI_T ที่ແຄນทดสอบอัตโนมัติ	38
3.9 การหาตำแหน่งของແຄນทดสอบ และค่า ΔI_T ที่ແຄນทดสอบอัตโนมัติ สำหรับชุดทดสอบ Multiplex	40
3.10 Flow chart การทำงานของโปรแกรมหาตำแหน่งของແຄນทดสอบ และค่า ΔI_T ที่ແຄນทดสอบอัตโนมัติ	41
4.1 (ก) ชุดตรวจสอบโรคผลเน่าแบนคทีเรียที่เกิดจากเชื้อ <i>Acidovorax avenae</i> subsp. <i>citrulli</i> (Aac) (ข) ชุดทดสอบยังไม่ได้ใช้งาน และ (ค) ชุดทดสอบที่มีการใช้งานแล้ว	43
4.2 (ก) ชุดตรวจแบบรวดเร็วสำหรับตรวจเชื้อก่อโรคในพืชตระกูลแตง ๓ ชนิดได้ ในครัวเดียวกัน และ (ข) ตัวอย่างชุดทดสอบที่มีการใช้งานแล้ว ແຄນ T_A หมายถึงเชื้อ ^ก <i>Acidovorax avenae</i> subsp. <i>Citrulli</i> , ແຄນ T_p หมายถึงเชื้อ <i>Potyvirus</i> , ແຄນ T_w หมายถึง Watermelon mosaic virus-2 และ ແຄນ Control line	44
4.3 การใช้งานเครื่องอ่านແຄນสีชุดทดสอบที่ผู้วิจัยพัฒนาขึ้น สำหรับชุดตรวจ โรคผลเน่าแบนคทีเรียของพืชตระกูลแตง ณ สูญญพันธุ์วิศวกรรม และเทคโนโลยีชีวภาพแห่งชาติ	46

สารบัญ (ต่อ)

รูปที่	หน้า
4.4 Line profile ของภาพถ่ายแบบสีชุดทดสอบเบริยนเทียบระหว่างภาพที่ตั้งค่า Exposure time และ Under exposure กับภาพ Automatic settings ของชุดทดสอบ เชื้อ Aac ที่ความเข้มข้น 1×10^5 CFU/mL, 5×10^5 CFU/mL และ 1×10^7 CFU/mL.....	48
4.5 Line profile จากชุดทดสอบที่สารตัวอย่างมีความเข้มข้นของแบคทีเรีย Aac ต่างกัน (ก) ตัวอย่างจากพืชที่ไม่เป็นโรค (Healthy samples) (ข) ตัวอย่างความเข้มข้น 5×10^5 CFU/mL และ (ค) ตัวอย่างความเข้มข้น 1×10^7 CFU/mL.....	50
4.6 ค่าการสูญเสียแสงคงเหลือที่แบบทดสอบ (ΔI_T) สำหรับสารตัวอย่างที่มีความเข้มข้นของแบคทีเรีย Aac ต่าง ๆ เมื่อใช้แหล่งกำเนิดแสงไอดีโอดีเพลิงแสงสีเขียว ความเข้มข้น 0 CFU/mL ในรูป หมายถึงตัวอย่างจากพืชที่ไม่เป็นโรค (Healthy samples) ข้อมูลแต่ละความเข้มข้นได้จากการทดลองซ้ำ 5 ครั้ง.....	51
4.7 การเกิดแบบสีชุดทดสอบของเชื้อแบคทีเรีย Aac ที่ความเข้มข้น Healthy, 1×10^5 , 5×10^5 , 1×10^6 , 5×10^6 และ 1×10^7 CFU/mL.....	52
4.8 Line profile จากชุดทดสอบที่สารตัวอย่างมีความเข้มข้นของแบคทีเรีย Aac เท่ากับ 1×10^7 CFU/mL (ก) 1 เฟรม (ข) 20 เฟรม และ (ค) 50 เฟรม.....	56
4.9 (ก) ภาพชุดทดสอบแบคทีเรีย Aac ที่ความเข้มข้น 1×10^6 CFU/mL แต่ละ Exposure time และ (ข) ค่าการสูญเสียแสงคงเหลือที่แบบทดสอบ (ΔI_T) แต่ละ Exposure time และที่ความเข้มข้นของแบคทีเรีย Aac ต่าง ๆ	58
4.10 (ก) ภาพชุดทดสอบแบคทีเรีย Aac ที่ความเข้มข้น 1×10^6 CFU/mL แต่ละ Exposure time และ (ข) ค่าการสูญเสียแสงคงเหลือที่ทดสอบ (ΔI_T) ที่ความเข้มของแบคทีเรียต่าง ๆ แต่ละ Exposure time เมื่อใช้กล้องโทรศัพท์กรณีถ่ายรูปแบบ Auto mode ค่า Exposure time จะเท่ากับ 0.03 s.....	60
4.11 ภาพชุดทดสอบที่พิมพ์ขึ้นทำการเทียบเคียงสีให้ใกล้เคียงกับแบบสีของชุดทดสอบ Aac.....	61

สารบัญรูป (ต่อ)

รูปที่	หน้า
4.12 เปรียบเทียบค่าการสะท้อนแสงเฉลี่ยที่ແລບทดสอบ (ΔI_T) แต่ละ Contrast จากการทดลองช้าทั้งหมด 5 ครั้ง กับชุดทดสอบที่พิมพ์ขึ้นมา Test0, Test1, Test2, Test3, Test4 และ Test5.....	63
4.13 เปรียบเทียบค่าการสะท้อนแสงเฉลี่ยที่ແລບทดสอบ (ΔI_T) แต่ละ Gain จากการทดลองช้าทั้งหมด 5 ครั้ง กับชุดทดสอบที่พิมพ์ขึ้นมา Test0, Test1, Test2, Test3, Test4 และ Test5.....	65
4.14 Line profile ของชุดทดสอบแบบ Multiplex สำหรับตัวอย่างที่มีเชื้อ ^(ก) เชื้อ Aac, Potyvirus และ WMV-2 (^(ข) เชื้อ Potyvirus และ WMV-2 (^(ค) เชื้อ Potyvirus (^(ง) เชื้อ Aac และ (^(จ) ตัวอย่างของพืชที่ไม่เก็บโรค.....	67
4.15 เปรียบเทียบ Histogram จากภาพชุดทดสอบของชุดทดสอบ Aac ที่ความเข้มข้น 1×10^6 CFU/mL (^(ก) Exposure time เท่ากับ 0.015 s (^(ข) Exposure time เท่ากับ 0.031 s (^(ค) Exposure time เท่ากับ 0.062 s (^(ง) Exposure time เท่ากับ 0.125 s และ (^(จ) Exposure time เท่ากับ 0.015 s.....	70
4.16 เปรียบเทียบ Histogram จากภาพชุดทดสอบของชุดทดสอบ Aac ที่ความเข้มข้น 1×10^6 CFU/mL แต่ละ Exposure time (^(ก) 0.008 s (^(ข) 0.0167 s (^(ค) 0.022 s (^(ง) 0.097 s และ (^(จ) 0.03 s (Auto mode).....	73
4.17 (^(ก) การปรับค่า Contrast และ Brightness ของกล้องแบบ S-Curve และ (^(ข) ความเข้มแสงเอกสารพื้นที่ได้จากการ S-Curve ในกรณีที่ Exposure time ต่ำ ๆ ความชันบริเวณดังกล่าวมีค่าสูง ส่งผลให้การขยายสัญญาณในช่วงนี้สูง ส่วนที่ Exposure time ค่าสูงความชันบริเวณนั้นมีค่าน้อยทำให้การขยายสัญญาณต่ำ.....	74

บทที่ 1

บทนำ

1.1 ที่มาและความสำคัญของปัจจุบัน

ชุดทดสอบอย่างง่ายแบบแอลเออฟเอ (Lateral flow immunochromatographic assays, LFA) ได้รับความสนใจพัฒนาเป็นชุดทดสอบสำหรับสารชีวภาพทางเคมีชนิด (Mansfield et al. 2009; Posthuma et al. 2009) ยกตัวอย่างเช่น ชุดทดสอบอย่างง่ายที่ใช้ในทางการแพทย์สำหรับตรวจสอบยาเชื้อไวรัสไข้หวัดใหญ่ (Peng et al. 2007) เชือบคอกที่เรียกที่ทำให้ห้องร่าง (Geginat et al. 2012) หรือใช้ทางด้านอาหารสำหรับตรวจสอบเชื้อร่านิรภัยพืช (Venkataramana et al. 2014; Xiulan et al. 2006) ตรวจสอบสารเคมีปนเปื้อนในเนื้อ (Tang et al. 2011) หรือใช้ในทางเกษตรกรรมสำหรับตรวจหาสารเคมีกำจัดแมลงในพืช (Abe et al. 2009; Hua et al. 2010) เป็นต้น

ในประเทศไทยเองได้มีการวิจัยและพัฒนาชุดทดสอบแอลเออฟเอเป็นจำนวนมาก สำหรับเป็นชุดทดสอบทางการแพทย์ตรวจหาเชื้อมาลาเรีย (Coleman et al. 2002) เชื้อไข้เลือดออก (Watthanaworawit et al. 2011) ชุดทดสอบสารเร่งเนื้อแดง ในเนื้อสัตว์ (Khamta et al. 2009) ชุดทดสอบเชือบคอกที่เรียกวินกุ้ง (Sithigorngul et al. 2007) และชุดทดสอบตรวจหาเชือบคอกที่เรียกของพืช ตระกูลแตง (Himananto et al. 2011) เป็นต้น การแปลผลชุดทดสอบจะใช้การอ่านแบบสีด้วบตาเปล่า ซึ่งมักจะขึ้นอยู่กับแต่ละบุคคลและสภาพแวดล้อม วิธีการอ่านแบบสีด้วบตาเปล่าจะมีปัญหามากขึ้น ที่ตัวอย่างมีความเข้มข้นต่ำ ส่งผลให้แบบทดสอบมีเสี้ยวจาง จนบางครั้งไม่สามารถแยกแยะความแตกต่างสีได้ นอกจากนี้ตัวอย่างที่ใช้ทดสอบ บางตัวอย่างจะมีสีอ่อนปน เช่น ตัวอย่างที่สกัดจากใบพืชมักจะมีสีเขียว ทำให้ชุดทดสอบมีพื้นสีเขียวตามไปด้วย ส่งผลให้การอ่านแบบสีทำได้ลำบากขึ้น

การใช้งานชุดทดสอบอย่างง่ายแอลเออฟเอขึ้นแรกจะหยดสารตัวอย่างลงไปใน Sample pad เป็นบริเวณที่หยดตัวอย่างของชุดทดสอบ จากนั้นสารตัวอย่างจะแพร่ผ่าน Conjugate pad และควบคุม และแบบทดสอบ ตามลำดับ จนมาสิ้นสุดที่ Absorbing pad ซึ่งจะทำหน้าที่ดูดซับสารตัวอย่างไว้ ในส่วนของ Conjugate pad จะประกอบไปด้วยอนุภาค nano โนของทอง (Gold nanoparticles) ที่ติดผิวไว้ด้วยแอนติบอดีที่เหมาะสม (ซึ่งเป็นคนละชนิดกับแอนติบอดีที่แบบควบคุมและแบบทดสอบ) เมื่อหยดสารตัวอย่างที่มีแอนติเจน (Antigen) หรือสารที่เราต้องการทดสอบ แอนติเจนจะจับกับแอนติบอดีที่ติดผิวของอนุภาค nano โนของทอง

เมื่อสารตัวอย่างรวมทั้งแอนติเจน ที่จับกันแอนติบอดีที่ติดบนผิวของอนุภัคนาโนของทอง แพร์ผ่านแคนท์ทดสอบ (Test line) และติดเงินดังกล่าวจะถูกจับไว้ด้วยแอนติบอดีที่ตรงไว้ที่แคนท์ดังกล่าว ส่วนแอนติบอดีที่ติดผิวไว้ด้วยอนุภัคนาโนของทองที่เหลือ จะแพรผ่านมาจับกัน แอนติบอดีที่ตรงไว้ที่แคนท์ควบคุม (Control line) การเกิดแคนท์สีที่แคนท์ควบคุม และแคนท์ทดสอบบนชุดทดสอบแบบแอลเอฟโอ เกิดจากคุณสมบัติเชิงแสงของอนุภัคนาโนของทอง ซึ่งอนุภัคดังกล่าว จะคุกคักลินแสงและสะท้อนแสงในแต่ละความยาวคลื่น ไม่เท่ากัน ส่วนความเข้มของแคนท์สีนั้นขึ้นอยู่ กับความหนาแน่นของอนุภัคนาโนของทอง ที่ถูกยึดจับไว้ที่บริเวณของแคนท์ทั้งสอง การระบุการ เกิดแคนท์สีที่เกิดบนแคนท์ทดสอบด้วยตาเปล่าได้ จะขึ้นกับการตัดสินใจของผู้ทดสอบ สภาพแสง ขณะอ่านชุดทดสอบ และความสามารถในการมองเห็นของผู้ทดสอบ ปัญหาดังกล่าวสามารถแก้ไข ได้ด้วยการ ใช้เครื่องอ่านแคนท์ชุดทดสอบแทนการแปลผลด้วยตาเปล่า นอกจากนี้การพัฒนาเครื่อง อ่านแคนท์ชุดทดสอบใหม่ประสิทธิภาพสูงขึ้น อาจช่วยให้สามารถตรวจสารตัวอย่างที่มีความ เข้มข้นต่ำได้ดีกว่าการระบุแคนท์ด้วยตาเปล่า

ผู้ใช้งานชุดทดสอบส่วนใหญ่ ต้องการเครื่องมือในการอ่านแคนท์เพื่อช่วยแปลผลโดย อัตโนมัติ นอกจากนี้ผู้ผลิตชุดทดสอบอย่างง่ายในต่างประเทศหลายบริษัทได้ผลิตเครื่องอ่านแคนท์ ใช้งานควบคู่ไปกับการแปลผลด้วยตาเปล่า เช่น LRE cPoC Reader ของบริษัท DNC Diagnostics (<http://www.dcnx.com>) หรือ BD Veritor™ System ของบริษัท Becton, Dickinson and Company (<http://www.bd.com>) และ Mobile Diagnostic Reader ของบริษัท Mobile Assay เป็นต้น เมื่อชุดทดสอบอย่างง่ายได้รับความน่าเชื่อถือจากผู้ใช้สูงขึ้น การพัฒนาเครื่องมือสำหรับแปลผลอัตโนมัติ จึงได้รับความสนใจมากขึ้นตามลำดับ อย่างไรก็ตามเครื่องอ่านเหล่านี้มีราคาสูง และมีข้อจำกัดในการปรับใช้

ปัจจุบันได้มีการพัฒนาเครื่องอ่านแคนท์ชุดทดสอบ (Lateral flow immunoassays readers) แทนการอ่านแคนท์ด้วยตาเปล่า เพื่อให้สามารถวัดความเข้มข้นได้ต่ำลง การแปลผลไม่ขึ้นกับผู้ใช้ และเพิ่มความมั่นใจให้กับผู้ใช้ เทคนิคที่ใช้ในเครื่องอ่านแคนท์ชุดทดสอบ แยกได้ 2 กลุ่ม (Mansfield et al. 2009) กลุ่มแรก (Kaylor et al. 2013; S. Kim et al. 2004) ใช้การวัดความเข้มแสงจากแคนท์ทดสอบด้วยไฟโตเดอร์ โดยจะสแกนไปตามแนวยาวของชุดทดสอบ ใช้สตีป์มอเตอร์ในการ เลื่อนตำแหน่งของอุปกรณ์ มีแหล่งกำเนิดแสงแบบไฟโอดิอล์ฟ ทำ การวัดค่าการสะท้อนแสง บนชุดทดสอบ ประมาณผลและบันทึกผลด้วยซอฟต์แวร์ การวัดค่าที่วิธีนี้จะได้ความละเอียดสูง แต่ วิธีนี้ยังไม่สามารถตรวจสารตัวอย่างที่ความเข้มข้นต่ำได้ดีกว่าการระบุแคนท์ด้วยตาเปล่า และ เป็นระบบที่มีความซับซ้อนมาก

กลุ่มที่สอง (Gollier et al. 2009; Gui et al. 2014; Yeh et al. 2014) ใช้กล้องซีซีดี (Charge-coupled device, CCD) หรือซีมอส (Complementary Metal-Oxide Semiconductor, CMOS) อ่านภาพและทดสอบความเข้มแสงจากแต่ละแผ่นสี เนื่องจากกล้องสามารถถ่ายภาพและทดสอบได้โดยไม่ต้องเลื่อนตำแหน่ง วิธีการนี้จึงได้รับความนิยมมากขึ้น แต่ไม่เหมาะสมกับการใช้งานที่มีความไวสูง เพราะจะน้ำหนักวิธีนี้จำเป็นต้องมีอุปกรณ์เพิ่มเติมเพื่อปรับปรุงความไวของเครื่องอ่านโดยใช้แหล่งกำเนิดแสงแบบไดโอดเปล่งแสง และไฟโตคีเทียร์วัดความเข้มแสง กำหนดคุณสมบัติกระบวนการของแสงเพื่อลดการกระจายแสงจากไนโตรเชลลูโลสเมมเบรนบนชุดทดสอบ หรือมีเทคนิคประมวลผลภาพ ที่มีความไวและความแม่นยำสูง แต่ราคาของเครื่องอ่านก็สูงเช่นกัน

กลุ่มที่สาม (Jakoby et al. 2010; Jung et al. 2015; S. C. Kim et al. 2017; Lee et al. 2016; Preechaburana et al. 2014; Scherr et al. 2016; Yetisen et al. 2014; You et al. 2013) ใช้โทรศัพท์แบบพกพาสำหรับชุดทดสอบก้านอย่างเพร่หดลาย เพื่อให้ได้เครื่องอ่านที่มีราคาถูกลง วิธีการนี้จะเหมือนกับวิธีที่กล่าวมาก่อนหน้า โดยจะใช้กล้องที่ติดมากับโทรศัพท์เป็นตัวรับภาพชุดทดสอบ ใช้ไดโอดเปล่งแสงเป็นแหล่งกำเนิดแสง ซึ่งออกแบบซอฟต์แวร์ให้สามารถหาค่าการสะท้อนแสงแต่ละตำแหน่งบนชุดทดสอบแล้วแปลงผลไปเป็นความเข้มข้นของสารตัวอย่างในชุดทดสอบนั้น ทำงานผ่านแอปพลิเคชัน Android และ iOS อย่างไรก็ตามยังไม่พบข้อมูลที่ระบุอย่างชัดเจนว่า มีการปรับพารามิเตอร์ต่าง ๆ ของกล้องรับภาพชุดทดสอบเพื่อเพิ่มความไวของเครื่องอ่านและสีให้สามารถตรวจจับความเข้มข้นต่ำได้กว่าการระดูและสีค่วยตาเปล่าได้ ซึ่งเครื่องอ่านและสีที่จำหน่ายเชิงพาณิชย์จำนวนมากพัฒนาโดยใช้เทคนิคที่กล่าวมาข้างต้น ดังตารางที่ 1.1

ตารางที่ 1.1 เครื่องอ่านແນบสีชุดทดสอบอย่างง่ายที่มีจำหน่ายในเชิงพาณิชย์

รุ่นผลิตภัณฑ์และบริษัทผู้ผลิต	เทคนิคการอ่านແນบสีชุดทดสอบ	คุณสมบัติทางเทคนิค
ESEQuant Lateral Flow Reader/QIAGEN (www.qiagen.com , Germany)	<ul style="list-style-type: none"> • ใช้ระบบเชิงแสงแบบ Confocal 2 channel • ใช้ LED และ Photodiode อ่านค่าความเข้มแสงบนชุดทดสอบ • ใช้ Fluorescent photodiode วัดการเรืองแสงของชุดทดสอบ 	<ul style="list-style-type: none"> • อ่านได้ 10 ແນບສຳຫັບໜູດทดสอบตรวจວັດຫາຍ້ອພ້ອມກັນ • มีອົບຕົວແວ່ງປະມາຄພລແລະຈັດເກີບຂໍອມູດ ສ່າງທາງອື່ມໍລົດ ຕໍ່ານີ້
LRE cPOC Lateral Flow Test Strip Reader/LRE medical (http://www.esterline.com , Germany)	<ul style="list-style-type: none"> • ใช้ LED และกล้อง CMOS รับภาพ วัดค่าการสะท้อนแสง • วัดการเรืองแสง Fluorescent หรือ Chemiluminescence ของชุดทดสอบ 	<ul style="list-style-type: none"> • อ่านໄດ້ຄົງລະຫາຍ້ອດັບກັນ ແລະ ອຳນິດໄດ້ຫາຍ້ອນົບສິໃນໜູດทดสอบເດີບກັນ • ມີ Barcode ສໍາຫັບຮະບຸໝນົດຂອງໜູດทดสอบ
SkanSmart, SkanMulti/SCANNEX BioAssay Reader Systems (http://www.skannex.com , Norway)	<ul style="list-style-type: none"> • ใช้ LED ເປັນແຫລ່ງກໍານົດແສງ ແລະ ກລື້ອງຮັບພາບ ໃນການວັດຄ່າ ການสะທັນແສງ • ທຳການສະແກນພາພ່າຍຸດທົດສອນ ໃນການອ່ານຄ່າແນບສື 	<ul style="list-style-type: none"> • ມີທຶນ່ວຸນສໍາຫັບອ່ານຄົງລະຫາຍ້ອດັບກັນ ແລະ ອຳນິດໄດ້ຫາຍ້ອນົບສິໃນໜູດທົດສອນ • ມີ Barcode ສໍາຫັບຮະບຸໝນົດຂອງໜູດທົດສອນ • ມີ Wi-Fi ສ່າງຂໍອມູດທາງອື່ມໍໄດ້

ตารางที่ 1.1 เครื่องอ่านແນบสีชุดทดสอบอย่างง่ายที่มีจำหน่ายในเชิงพาณิชย์ (ต่อ)

aQzen™ RDT-G v1/ MEDISENSOR (http://medisensor.com , Korea)	<ul style="list-style-type: none"> ใช้ LED เป็นแหล่งกำเนิดแสง และกล้อง CMOS ถ่ายภาพ วัดค่าการสะท้อนแสงของชุดทดสอบ 	<ul style="list-style-type: none"> อ่านได้หลายແນบสีสำหรับชุดทดสอบตรวจวัดหลายเชื้อพร้อมกัน มีซอฟต์แวร์ประมวลผล และจัดเก็บข้อมูล
TSR-100 Test Strip Reader/ Hangzhou Allsheng Instruments Co. Ltd. (http://www.allsheng.com , China)	<ul style="list-style-type: none"> ใช้ LED เป็นแหล่งกำเนิดแสง และใช้ Photodiode วัดค่าการสะท้อนแสง สแกนแต่ละตำแหน่งบนชุดทดสอบ เพื่ออ่านค่า Line profile 	<ul style="list-style-type: none"> อ่านได้ 5 ແນບสีสำหรับชุดทดสอบตรวจวัดหลายเชื้อพร้อมกัน มีซอฟต์แวร์ประมวลผล และจัดเก็บข้อมูล
Axxin AX-2X/ Axxin (http://www.axxin.com , USA)	<ul style="list-style-type: none"> ใช้ LED เป็นแหล่งกำเนิดแสง และกล้องรับภาพอ่านค่าແນบสีชุดทดสอบ 	<ul style="list-style-type: none"> อ่านได้ 5 ແນບสีสำหรับชุดทดสอบตรวจวัดหลายเชื้อพร้อมกัน มีซอฟต์แวร์ประมวลผล และจัดเก็บข้อมูล สามารถอ่านค่าการสะท้อนแสงระหว่างการหยดตัวอย่างแบบ Real time ได้
RDS-1500 PRO/ Detekt Biomedical (http://idetekt.com , USA)	<ul style="list-style-type: none"> ใช้ LED เป็นแหล่งกำเนิดแสง และกล้องรับภาพอ่านค่าແນบสีชุดทดสอบ 	<ul style="list-style-type: none"> มี Barcode สำหรับระบุชนิดของชุดทดสอบ มีซอฟต์แวร์ประมวลผล และจัดเก็บข้อมูล

ตารางที่ 1.1 เครื่องอ่านແຄນສື່ຫຼຸດທົດສອນອ່າງຈ່າຍທີ່ມີຈຳນ່າຍໃນເຊີງພາລິຍໍ (ຕ່ອ)

opTrilyzer®Med/opTricon http://www.opticon.de , Germany	<ul style="list-style-type: none"> ใช้ LED ເປັນແຫລ່ງກຳນົດແສງ ແລະ ກລື້ອງຮັບກາພອ່ານຄ່າແຄນສື່ຫຼຸດທົດສອນ 	<ul style="list-style-type: none"> ອ່ານໄດ້ຫລາຍແຄນສື່ສຳຫຼວບຫຼຸດທົດສອນຕຽບວັດຫລາຍເຊື້ອພຣົມກັນ ມີອົບຝົດແວຣີປະມວລພລ ແລະ ຈັດເກີບຂໍ້ມູນດ
Dipstick Reader/Abcam http://www.abcam.com , USA	<ul style="list-style-type: none"> ใช้ LED ເປັນແຫລ່ງກຳນົດແສງ ແລະ ໃຊ້ Photodiode ວັດຄ່າກາຮສະຫຼອນແສງ ໃໝ່ມອເຕອຣເລື່ອນຕຳແໜ່ງຫຼຸດທົດສອນ ເພື່ອອ່ານຄ່າ Line profile 	<ul style="list-style-type: none"> ອ່ານໄດ້ຫລາຍແຄນສື່ສຳຫຼວບຫຼຸດທົດສອນຕຽບວັດຫລາຍເຊື້ອພຣົມກັນ ມີອົບຝົດແວຣີປະມວລພລ ແລະ ຈັດເກີບຂໍ້ມູນດ
AgraVision/Romer Labs https://www.romerlabs.com , Austria	<ul style="list-style-type: none"> ໃຊ້ LED ເປັນແຫລ່ງກຳນົດແສງ ແລະ ກລື້ອງຮັບກາພອ່ານຄ່າແຄນສື່ຫຼຸດທົດສອນ 	<ul style="list-style-type: none"> ສາມາຮອ່ານພຣົມກັນທີ່ລະຫຍໍາຫຼຸດທົດສອນ ມີ Barcode ສຳຫຼວບຮະບູນຫນີຂອງຫຼຸດທົດສອນ ມີອົບຝົດແວຣີປະມວລພລ ແລະ ຈັດເກີບຂໍ້ມູນດ

ດັ່ງນັ້ນຈານວິຈີຍນີ້ຈຶ່ງມີເປົ້າໝາຍທີ່ຈະພັດນາເຄື່ອງອ່ານແຄນສື່ທີ່ໄຫ້ຄ່າ Detection limit ດີກວ່າກາຮຸດ້ວຍຕາ ທີ່ໜ້າອຸກແນນໃຫ້ສາມາຮອ່າງຈຳນັກນັ້ນຫຼຸດທົດສອນທີ່ພັດນາເຂົ້າກາຍໃນປະເທດໄດ້ ກາຮຸສຶກຍາ ແນວທາງເນື່ອງຕົ້ນກາຮຸອຸກແນນເຄື່ອງອ່ານແຄນສື່ຫຼຸດທົດສອນ ໃນເນື່ອງຕົ້ນຜູ້ວິຈີຍເລືອກໃຊ້ກລື້ອງເວັນແຄນໃນກາຮຸບັນທຶກກາພແຄນສື່ ເນື່ອງຈາກມີຮາຄາໄມ່ແພັງ ແລະ ໃຊ້ແຫລ່ງກຳນົດແສງເປັນໄດ້ໂອດເປັ່ນແສງ ເຄື່ອງມືອັດັກກ່າວຈະເຫື່ອມຕ່ອງກັນຄອມພິວເຕອຮີ່ພ່ານພອർທ USB ເພື່ອປະມວລພລແລະ ແສດງພລ ເຄື່ອງມືອັນຮູບແບບນີ້ ຜູ້ໃຫ້ຕ້ອງໃຊ້ຈານຮ່າມກັນຄອມພິວເຕອຮີ່ທຳໃຫ້ສະຄວກແລະ ຮຸວດເຮົວ ທັງນີ້ເຄື່ອງມືອັດັກກ່າວຢັງສາມາຮອ່າງຈຳນັກກາຮຸບັນຈາກກາຮຸປັນຄ່າພາຣາມີເຕອຮີ່ຕ່າງໆ ບັນກລື້ອງໄດ້ ເຊັ່ນ Contrast,

Exposure time หรือ Gain เป็นต้น เนื่องจากยังไม่ได้มีการศึกษามาก่อนหน้าถึงการปรับค่าพารามิเตอร์ดังกล่าวว่าส่งผลต่อการวัดความเข้มแสงหรือไม่ ต่อมาผู้วิจัยได้ทำการพัฒนาเครื่องอ่านโดยใช้โทรศัพท์แบบพกพาเป็นตัวบันทึกภาพและสแกนเส้นชุดทดสอบ โดยใช้เทคนิคเหมือนที่กล่าวมาข้างต้นประมวลผลภาพ ผลการทดสอบเบื้องต้นพบว่า เทคนิค Line profile เมื่อใช้งานกับชุดทดสอบอย่างง่ายที่จำเพาะต่อเชื้อ *Acidovorax avenae* subsp.*citrulli* (*Aac*) ชุดทดสอบดังกล่าวพัฒนาโดยศูนย์พันธุวิศวกรรมและเทคโนโลยีชีวภาพแห่งชาติ สามารถใช้อ่านค่าความเข้มแสงของแคนส์ได้ง่ายและสะดวก ผู้วิจัยคาดหมายว่าเทคนิคดังที่กล่าวมานี้แล้ว จะทำให้สามารถเพิ่มความไวของเครื่องอ่านแคนส์ให้สามารถอ่านค่าความเข้มข้นที่ต่ำกว่าการดูด้วยตาเปล่า

1.2 วัตถุประสงค์ของงานวิจัย

- 1.2.1 พัฒนาเครื่องอ่านแคนส์สำหรับชุดทดสอบแบบพกพา ที่มีความไวสูงและสามารถใช้งานกับชุดทดสอบที่มีการพัฒนาขึ้นใช้งานเองในประเทศไทย
- 1.2.2 เพื่อศึกษาผลกระทบพารามิเตอร์ต่างๆ ในการรับภาพของกล้อง ว่าส่งผลต่อการตรวจวัดความเข้มข้นของสารตัวอย่างหรือไม่

1.3 ขอบเขตของการวิจัย

การพัฒนาต้นแบบภาคสนามของเครื่องอ่านแคนส์ชุดทดสอบ จะใช้กล้อง CMOS เป็นอุปกรณ์ในการรับภาพ (Logitech HD C525 และ iPhone 5S) ซึ่งกล้องดังกล่าวผู้ใช้สามารถตั้งค่าพารามิเตอร์เองได้ รวมทั้งมีราคาถูก เหมาะสมสำหรับพัฒนาเป็นเครื่องมือวัด การเปรียบเทียบความสามารถของเครื่องอ่านที่พัฒนาขึ้น ว่ามีประสิทธิภาพการใช้งานสูงกว่าการดูด้วยตาเปล่า หรือไม่น้อย จะใช้ชุดทดสอบแบบแอลอฟเฟอร์ที่มีใช้งานในประเทศไทยเป็นตัวอย่างในการทดสอบ และใช้ Detection limit เป็นพารามิเตอร์หลักในการเปรียบเทียบ ใช้แหล่งกำเนิดแสงเป็นไฟโอดิอล์ฟและทำการเชื่อมต่อกับคอมพิวเตอร์เพื่อประมวลผลและแสดงผล

1.4 ประโยชน์ที่ได้รับ

ได้เครื่องอ่านแคนส์สำหรับชุดทดสอบที่มีความไวสูง สามารถผลิตใช้งานจริงได้ สามารถนำไปปรับใช้กับชุดทดสอบทางชีวภาพที่พัฒนาขึ้นเองในประเทศไทยได้ ซึ่งจะช่วยให้อ่านค่าได้แม่นยำขึ้น และเพิ่มความน่าเชื่อถือให้กับชุดทดสอบ

บทที่ 2

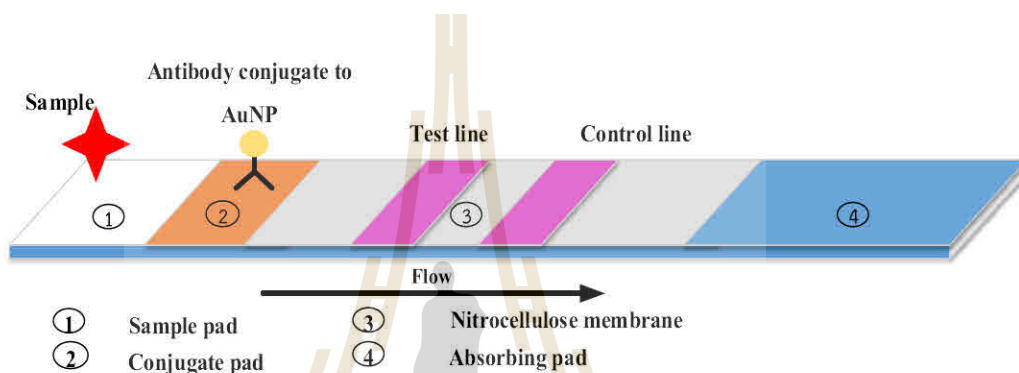
บริหัศน์วรรณกรรมและงานวิจัยที่เกี่ยวข้อง

2.1 ชุดทดสอบอย่างจ่ายแบบ Lateral flow immunochemical assays

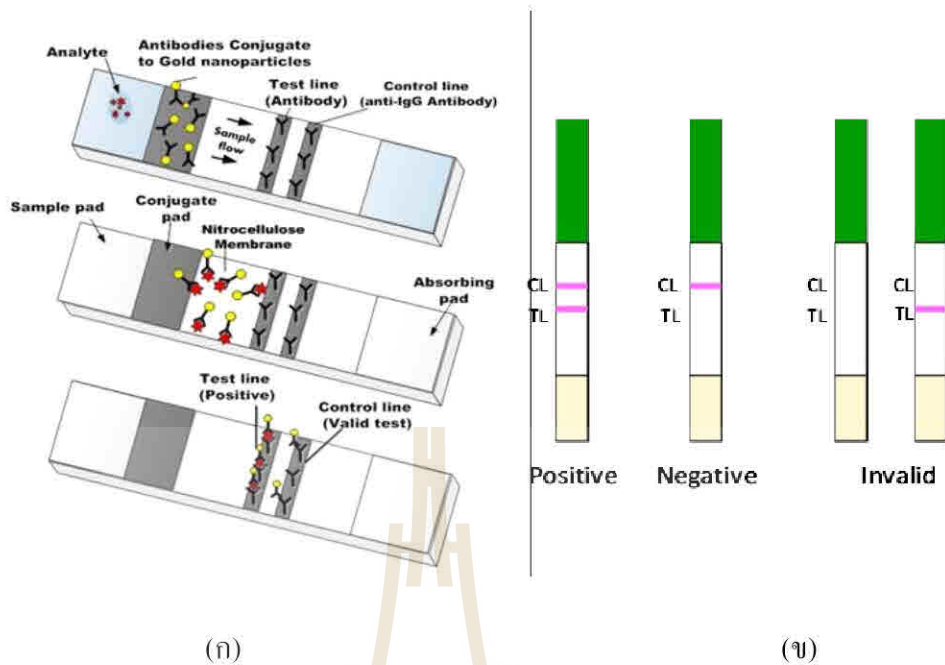
ชุดทดสอบอย่างจ่ายแบบแอลเอฟโอ (Lateral flow immunochemical assays, LFA) ใช้หลักการเกิดปฏิกิริยาระหว่างแอนติเจนกับแอนติบอดี ปฏิกิริยาดังกล่าวจะเกิดบนแผ่นไนโตรเซลลูโลสเมมเบรน (Nitrocellulose membrane) ชุดทดสอบดังกล่าวจะแสดงผลในรูปแบบเส้นหรือจุดที่ถูกเคลือบไว้อย่างน้อยสองเส้นหรือสองจุด โครงสร้างของชุดทดสอบอย่างจ่ายแบบแอลเอฟโอแสดงดังรูปที่ 2.1 ประกอบไปด้วย ส่วนแรกคือ Sample pad เป็นส่วนที่ใช้ในการหยดสารตัวอย่าง ส่วนที่สอง คือ Conjugate pad เป็นบริเวณที่บรรจุแอนติบอดีที่เฉพาะเจาะจงกับแอนติเจนของตัวอย่างติดผิวด้วยอนุภาคที่ทำให้เกิดสี ซึ่งเป็นคุณลักษณะนิพัทธ์แอนติบอดีที่ตอบความคุณและตอบทดสอบ ตัวอย่างอนุภาคที่ทำเกิดสี เช่น Gold nanoparticles, Latex particles หรือ Fluorescent particles (Koczula et al. 2016) ส่วนใหญ่จะนิยมใช้อนุภาคนาโนของทอง เพราฯไม่จำเป็นต้องใช้กระบวนการทำให้เกิดสี มีความเสถียร และสามารถระเจิงแสงได้ดี ทำให้มองเห็นเป็นเส้นสีทึบขนาดอนุภาคนาโนของทองที่ใช้ประมาณ 40 nm ส่วนที่สาม คือไนโตรเซลลูโลสเมมเบรนเป็นส่วนที่แสดงตำแหน่งแบบความคุณและตำแหน่งแบบทดสอบ โดยจะตรงแอนติบอดีหรือแอนติเจนไว้ที่打扮ดังกล่าว และส่วนสุดท้าย คือ Absorbing pad ซึ่งจะทำหน้าที่ดูดซับสารตัวอย่างให้การไหลผ่านไปยังส่วนต่างๆ

การใช้งานชุดทดสอบอย่างจ่ายแบบแอลเอฟโอ แสดงดังรูปที่ 2.2 เมื่อหยดสารตัวอย่างที่มีแอนติเจน (Antigen) หรือสิ่งที่เราต้องการทดสอบ ลงไปใน Sample pad ของชุดทดสอบ จากนั้นแอนติเจนของตัวอย่างจะพร่อนผ่าน Conjugate pad แอนติเจนจะจับกับแอนติบอดีที่ติดบนผิวของอนุภาคนาโนของทอง เมื่อสารตัวอย่างรวมทั้งแอนติเจนที่จับกับแอนติบอดีที่ติดบนผิวของอนุภาคนาโนของทอง พร่อนผ่านแบบทดสอบ แอนติเจนดังกล่าวจะถูกจับไว้ด้วยแอนติบอดีที่ตรงไว้ที่打扮 ดังกล่าว ต่อมาให้ออนุภาคนาโนของทองถูกจับไว้ที่打扮ทดสอบด้วย อนุภาคนาโนของทองนี้สามารถกระเจิงแสงได้ดี ทำให้มองเห็นเป็นเส้นสี ความเข้มของแคนสีจะขึ้นกับความเข้มข้นของแอนติเจนในสารตัวอย่าง ส่วนแอนติบอดีที่ติดบนผิวของอนุภาคนาโนของทองบน Conjugate pad พร่อนผ่านแบบความคุณจับกับแอนติบอดีที่ตรงไว้ก็ตัวที่打扮ดังกล่าว เกิดเป็นเส้นสีทึบ ซึ่ง打扮

ควบคุมต้องเกิดแอบสีทุกครั้งเพื่อตรวจสอบว่ามีการแพร์ของสารตัวอย่าง จนมาสิ้นสุดที่ Absorbing pad ซึ่งจะทำหน้าที่ดูดซับสารตัวอย่างไว้ การแปลผลชุดทดสอบ แสดงดังรูปที่ 2.2 (b) จะแบ่งเป็น 3 กรณี กรณีแรกเกิดแอบสีที่ 2 แลบ จะแปลผลเป็นลบแอนติเจนหรือสารที่ต้องการทดสอบ กรณีที่สองเกิดแอบสีที่ 2 และควบคุมเพียงแค่เดียว แปลผลเป็นไม่พบแอนติเจนหรือสารที่ต้องการทดสอบ และในกรณีที่ไม่เกิดแอบสีเลยหรือเกิดเพียงแอบสีเดียวที่แอบนทดสอบจะแปลผลเป็นชุดทดสอบ เสียหาย ต้องทำการทดสอบด้วยชุดทดสอบใหม่อีกรอบ



รูปที่ 2.1 โครงสร้างของ Lateral flow immunochemical assays ประกอบไปด้วย Sample pad เป็นบริเวณหยดแอนติเจนของสารตัวอย่าง Conjugate pad ประกอบไปด้วยอนุภาค nano ของทองติดผิวไว้ด้วยแอนติบอดีที่เหมาะสม Nitrocellulose membrane เป็นบริเวณที่แสดงแอบทดสอบและแอบควบคุม และ Absorbing pad ทำหน้าที่ดูดซับสารตัวอย่าง ให้การไหลผ่านไปยังส่วนต่างๆ



รูปที่ 2.2 (ก) การไหลของสารตัวอย่างสำหรับทดสอบอย่างง่ายแบบ Lateral flow

immunochemical assays (LFA) การเกิดสีที่ແຄบความคุณ (Control line) และແຄบทดสอบ (Test line) เกิดจากอนุภาคนาโนของทองที่ติดผิวตัวขยายนตินบอดี ถูกจับไว้ที่ແຄบความคุณและແຄบทดสอบ และ (x) การแปลผลชุดทดสอบ ถ้าเกิดແຄบสีทั้ง 2 ແຄบ แปลເປັນມີສາງທີ່ຕ້ອງການทดสอบ ถ้าເກີດແຄບສีທີ່ແຄບພວກເຮົາເປັນເລື່ອຍ໌ ແປລຜົນເປັນໄມ້ມີສາງທີ່ຕ້ອງການทดสอบ ถ้าໄມ້ເກີດແຄບສີເລຍຫຼືອເກີດເປັນເລື່ອຍ໌ທີ່ແຄບทดสอบຈະແປລຜົນເປັນຫຼຸດทดสอบເລື່ອຍ໌

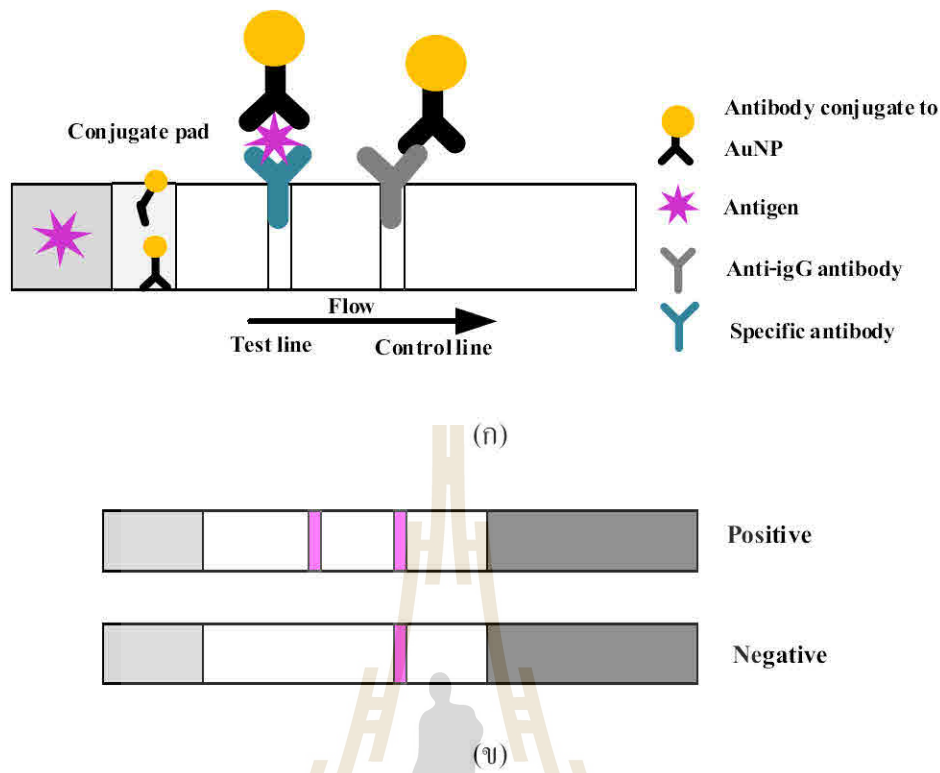
2.2 รูปแบบชุดทดสอบสำหรับการตรวจวัดสารทางชีวภาพ

รูปแบบของชุดทดสอบอย่างง่ายแบบ Lateral flow immunochromatographic assays หรือ LFA แบ่งออกเป็น 2 รูปแบบ (Mansfield et al. 2009) ได้แก่ รูปแบบ Direct assays หรือ Sandwich assays และรูปแบบ Competitive assays

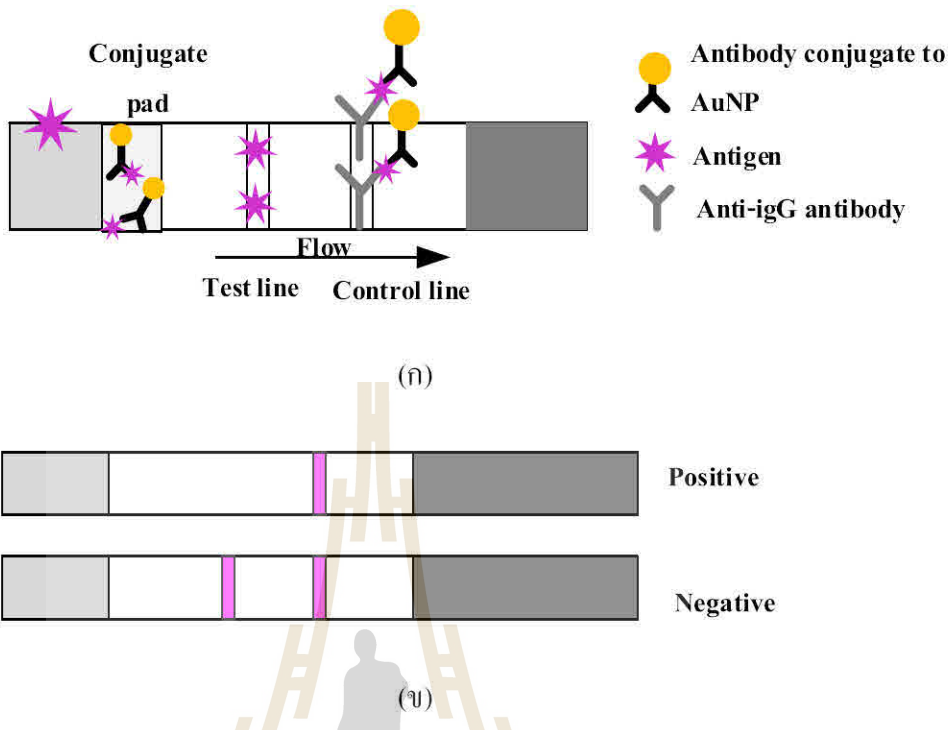
รูปแบบ Sandwich assays (Bahadir et al. 2016) เป็นรูปแบบที่นิยมใช้กับงานโมเลกุลขนาดใหญ่ โดยบนแผ่นในโตรเชลลูโลสเมมเบรนประกอบไปด้วย แอนติบอดีที่ต้องการติดอีกครั้งหนึ่ง แอนติบอดีที่ติดบนผิวของอนุภาคนาโนของทอง (Anti-IgG antibody) และแอนติบอดีที่ต้องการติดอีกครั้งหนึ่ง แต่เป็นแอนติบอดีที่จำเพาะ (Specific antibody) ต่อแอนติเจนที่จับกับแอนติบอดีที่ติดบนผิวของอนุภาคนาโนของทอง

ในของทอง ปฏิกริยาการ ให้ผลของตัวอย่างแสดงดังรูปที่ 2.3 (ก) เมื่อทดสอบตัวอย่างที่มีแอนติเจนที่ต้องการทดสอบลงบน Sample pad ของชุดทดสอบ จากนั้นสารตัวอย่างจะพร่อนผ่าน Conjugate pad แอนติเจนจะจับกับแอนติบอดีที่ติดบนผิวของอนุภาคนาโนของทอง เมื่อสารตัวอย่างรวมทั้ง แอนติเจนที่จับกับแอนติบอดีที่ติดบนผิวของอนุภาคนาโนของทอง พร่อนผ่านไปในโตรเชลลูโลสเมม เบรนแอนติเจนดังกล่าวจะถูกจับไว้ด้วยแอนติบอดีที่ตรงไว้ที่ແບนทดสอบมีรูปร่างการจับเหมือน แซนด์วิช ความเข้มของແບนสีที่บริเวณແບนทดสอบจะขึ้นกับความเข้มข้นของแอนติเจนในสาร ตัวอย่าง ส่วนแอนติบอดีที่ติดบนผิวของอนุภาคนาโนของทองที่เหลือที่ไม่จับกับแอนติเจนจะพร่อน มาจับกับแอนติบอดีที่ตรงไว้ที่ແບนควบคุม ทำให้เห็นเป็นเส้นทึบที่ແບนดังกล่าว เพื่อเป็นการ ตรวจสอบว่ามีสารตัวอย่างแพร่อนมาหรือไม่ การแปลผลว่ามีเชื้อตัวอย่างที่ทำการทดสอบนั้นให้ดู จากແບนสีที่ปรากฏบนແບนทดสอบ (รูป 2.3 (ข))

รูปแบบ Competitive assays (Sajid et al. 2015) เป็นรูปแบบที่นิยมใช้งานกับโมเลกุลขนาดเล็ก โดยรูปแบบนี้จะตรงแอนติเจนของสารตัวอย่างไว้ที่ແບนทดสอบ เพื่อป้องกันไม่ให้แอนติเจน ของตัวอย่างจับกับแอนติบอดีได้สองครั้ง同กัน และตรงแอนติบอดีที่จับกับแอนติบอดีติดบนผิว ด้วยอนุภาคนาโนของทอง (Anti-IgG antibody) ที่ແບนควบคุม ปฏิกริยาการ ให้ผลของตัวอย่างแสดง ดังรูปที่ 2.4 (ก) เมื่อทดสอบตัวอย่างที่มีแอนติเจนที่ต้องการทดสอบลงบน Sample pad ของชุด ทดสอบจากนั้นสารตัวอย่างจะพร่อนผ่าน Conjugate pad แอนติเจนของตัวอย่างจะจับกับแอนติบอดีที่ ติดบนผิวของอนุภาคนาโนของทอง เมื่อแอนติบอดีดึงกล่าวจับกับแอนติเจนแล้ว จะไม่สามารถจับ กับแอนติเจนที่ตรงไว้ที่ແບนทดสอบได้อีก ดังนั้นถ้ามีแอนติเจนอยู่จำนวนมากในสารตัวอย่าง แอนติบอดีที่ Conjugate pad จะจับกับแอนติเจนในตัวอย่าง จนไม่เหลือแอนติบอดีที่สามารถจับ แอนติบอดีที่ตรงไว้ที่ແບนทดสอบได้ ทำให้ไม่เกิดสีที่ແບนทดสอบ อย่างไรก็ตามแอนติเจนที่จับกับ แอนติบอดีแล้ว ยังสามารถจับกับแอนติบอดีที่ตรงไว้ที่ແບนควบคุมได้อีก ทำให้เกิดสีขึ้นที่ตำแหน่ง นี้ ในกรณีที่ไม่มีแอนติเจนในสารตัวอย่าง แอนติบอดีที่ Conjugate pad จะสามารถจับกับแอนติบอดี ที่ตรงไว้ที่ແບนทดสอบได้ ทำให้เกิดແບนสีขึ้น การแปลผลจะตรงข้ามกับรูปแบบที่กล่าวมาก่อนหน้า ดังนั้นการแปลผลว่ามีเชื้อตัวอย่างต้องไม่เกิดสีที่ແບนทดสอบ (ดังรูป 2.4 (ข))



รูปที่ 2.3 (ก) การไหลของสารตัวอย่างสำหรับทดสอบอย่างง่ายแบบ Sandwich assays เมื่อ แอนติเจนของสารตัวอย่างแพร่ผ่าน Conjugate pad ไปปัจจุบันแอนติบอดีที่ติดบนพิวของ อనุภาคนาโนของทอง แพร่ผ่านและทดสอบมาจับกับแอนติบอดีที่จำเพาะต่อแอนติเจนที่ ตรึงบนแคนดังกล่าว จากนั้นแอนติบอดีที่ติดบนพิวของอันภาคนาโนของทองที่เหลือจะ แพร่มาจับกับแอนติบอดีที่ตรึงไว้ที่แคนด์ความคุณ และ (ข) การแปลผลชุดทดสอบ เกิดแคนด สีทึ้ง 2 แคนด หมายถึงมีชื้อที่ทำการทดสอบ แต่ถ้าเกิดแคนดสีเดียวที่ แคนดความคุณ หมายถึง ไม่มีเชื้อที่ทำการทดสอบ



รูปที่ 2.4 การไอลฟของสารตัวอย่างสำหรับชุดทดสอบอย่างง่ายแบบ Competitive assays โดยตรึงแอนติเจนของตัวอย่างที่บนແลนทดสอบ และตรึงแอนติบอดีที่จับกับแอนติบอดีติดบนผิวคิวช่อนุภาคนาโนของทอง (Anti-IgG antibody) ที่ແນบความคุณ เมื่อตัวอย่างที่มีแอนติเจนแพร่ผ่าน Conjugate pad แอนติเจนจะจับกับแอนติบอดีจำเพาะที่ติดผิวคิวช่อนุภาคนาโนของทอง แพร่ผ่านมาจับกับแอนติบอดีที่ແນบความคุณโดยไม่จับกับแอนติเจนที่ตรึงไว้ที่ແลนทดสอบ และ (ข) การแปลผลชุดทดสอบ เกิดແลนสีที่ແນบความคุณ หมายถึงมีเชื้อที่ทำการทดสอบแต่ล้านเกิดແลนสีทั้ง 2 ແລນ หมายถึงไม่มีเชื้อที่ทำการทดสอบ

2.3 เทคนิคที่ใช้สำหรับเครื่องอ่านແลนสีชุดทดสอบอย่างง่าย

ปัจจุบันได้มีการพัฒนาเครื่องอ่านແลนสีทดสอบ (Lateral flow immunoassays readers) แทนการอ่านແลนสีด้วยตาเปล่า เพื่อให้สามารถวัดความเข้มข้นต่อ ๆ ได้ การแปลผลไม่ขึ้นกับผู้ใช้และเพิ่มความแม่นใจให้กับผู้ใช้ เทคนิคที่ใช้ในเครื่องอ่านແลนสี แบ่งออกเป็น 2 กลุ่ม (Mansfield et al. 2009) กลุ่มแรกใช้เทคนิคการวัดความเข้มแสงจากແลนทดสอบด้วยไฟโตเดกเตอร์ และกลุ่มที่

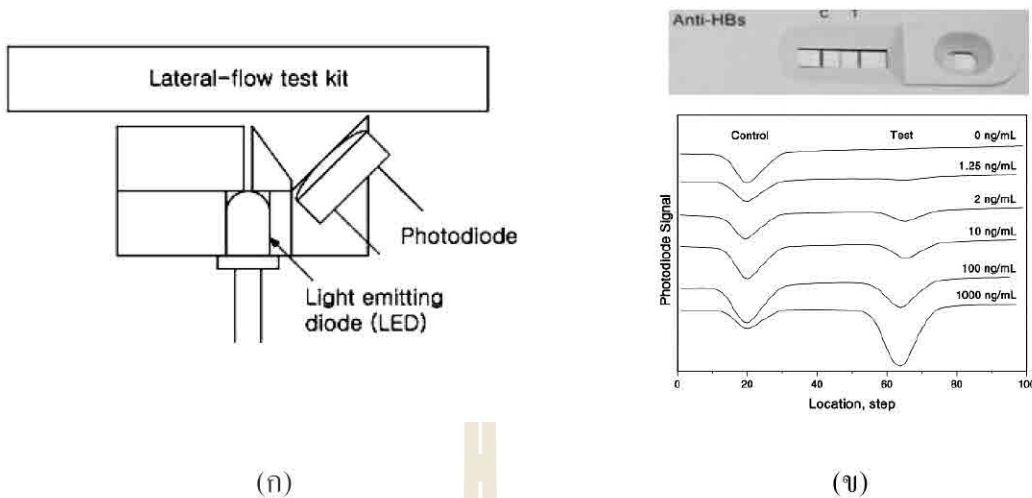
สอง ใช้กล้องชีซีดี (Charge-coupled device, CCD) หรือซีมอส (Complementary Metal-Oxide Semiconductor, CMOS) อ่านภาพแบบชุดทดสอบและคำนวณหาความเข้มแสงจากแต่ละแบบตัว เมื่อ เทคนิคดังกล่าวได้รับความนิยม ได้มีการประยุกต์ใช้กล้องโทรทรรศน์แบบพกพาถ่ายภาพชุดทดสอบ แทนกล้อง CCD หรือ กล้อง CMOS ทำให้ผู้อ่านไม่ต้องซื้อเครื่องอ่านแบบตัวเพิ่มเติม

2.3.1 เทคนิคการวัดความเข้มแสงจากชุดทดสอบด้วยไฟโตเดียมีเตอร์

เทคนิคการวัดความเข้มแสงจากชุดทดสอบด้วยไฟโตเดียมีเตอร์ (Kaylor et al. 2013; Kim et al. 2004; Shao et al. 2017; Yang et al. 2015) โดยสแกนไปตามแนวยาวของชุด ทดสอบ จะใช้สเต็ปโมเตอร์ในการเลื่อนตำแหน่งของอุปกรณ์และไฟโอดเปล่งแสงเป็นแหล่งกำเนิด แสง จากนั้นทำการวัดค่าการสะท้อนแสงแต่ละตำแหน่งบนชุดทดสอบ และวนนำไปประมาณผลและ บันทึกผลด้วยซอฟต์แวร์ การวัดด้วยเทคนินี้จะได้ความละเอียดสูง

ตัวอย่างเช่น งานวิจัยของ Kim และคณะ (2004) พัฒนาเครื่องอ่านแบบตัวเพิ่มเติม ชุด ทดสอบโดยใช้เทคนิคการวัดความเข้มแสงจากชุดทดสอบด้วยไฟโตเดียมีเตอร์ แสดงดังรูปที่ 2.5 (ก) ประกอบไปด้วย แหล่งกำเนิดแสงแบบไฟโอดเปล่งแสงสีเขียว จากนั้นไฟไฟโตเดียมีเตอร์วัดค่า การสะท้อนแสงบนชุดทดสอบอย่างง่าย ออกแบบอะลูมิเนียมที่พอดีกับขนาดของแหล่งกำเนิดแสง พร้อมทั้งกำหนดค่าไฟโตเดียมีเตอร์ เพื่อหลีกเลี่ยงการรับค่าสะท้อนแสงโดยตรงจากพื้นที่บน แผ่นในโทรศัพท์มือถือสมาร์ทโฟน สำหรับงานวิจัยนี้ประยุกต์ใช้กลไกการเคลื่อนที่ของสเต็ปโมเตอร์ จากเครื่องเล่น CD-ROM เลื่อนชุดทดสอบเพื่อให้ไฟไฟโตเดียมีเตอร์สามารถอ่านค่าการสะท้อนแต่ละ ตำแหน่งได้ โดยใช้ไมโครคอมพิวเตอร์ควบคุมการเลื่อนตำแหน่งดังกล่าว และส่งข้อมูลค่าการ สะท้อนแสงแต่ละตำแหน่งหรือ Line profile ที่ได้มาประมาณผลที่คอมพิวเตอร์

สำหรับงานวิจัยนี้ได้ทดลองกับชุดทดสอบอย่างง่ายสำหรับตรวจสอบเชื้อไวรัสตับ อักเสบบี (Hepatitis B Virus, HBV) ที่ความเข้มข้นตั้งแต่ 0 – 1000 ng/mL เมื่อใช้หลักการที่กล่าวมา ข้างต้นอ่านค่าการสะท้อนแสงบนชุดทดสอบจะได้กราฟ Line profile แสดงในรูปที่ 2.5 (ข) พบว่าที่ ความเข้มข้นแอนติเจนของสารตัวอย่างเพิ่มขึ้น ค่าการสะท้อนที่ลดลงที่ตำแหน่งแบบทดสอบ เพิ่มขึ้น เช่นกัน จาก Line profile ทำการคำนวณหาค่าการสะท้อนแสงที่ต่ำที่สุดของทั้งแบบควบคุม และแบบทดสอบ นำมาหารอัตราส่วนของค่าการสะท้อนแสงดังกล่าว (Ratio = Control line/Test line) เพื่อหาความสัมพันธ์เชิงเส้นกับความเข้มข้นของแอนติเจนในช่วง 0 – 1000 ng/mL การหา อัตราส่วนดังกล่าวจะมีความเป็นเชิงเส้นดีกว่า เนื่องจากปริมาณความเข้มข้นของแบบควบคุมไม่ เท่ากันในทุกความเข้มข้น จากผลการทดลองพบว่า Detection limit ของเครื่องอ่านแบบตัวเพิ่มเติม ไม่ เกิน 1.25 ng/mL ซึ่งเป็นความเข้มข้นน้อยที่สุดสำหรับการทดลองดังกล่าว



รูปที่ 2.5 (ก) เทคนิคการวัดความเข้มแสงจากชุดทดสอบด้วยไฟโตดีเท็กเตอร์ ประกอบไปด้วย แหล่งกำเนิดแสงแบบไอดีโอดเปล่งแสง ไฟโตดีเท็กเตอร์วัดค่าการสะท้อนแสงแต่ละ ตำแหน่งบนชุดทดสอบอย่างง่าย และ (ข) ค่าการสะท้อนแสงหรือ Line profile ที่อ่านได้ จากไฟโตดีเท็กเตอร์ สำหรับชุดทดสอบอย่างง่ายตรวจเชื้อไวรัสตับอักเสบบีที่ความ เข้มข้นตั้งแต่ 0 - 1000 ng/mL (Kim et al. 2004)

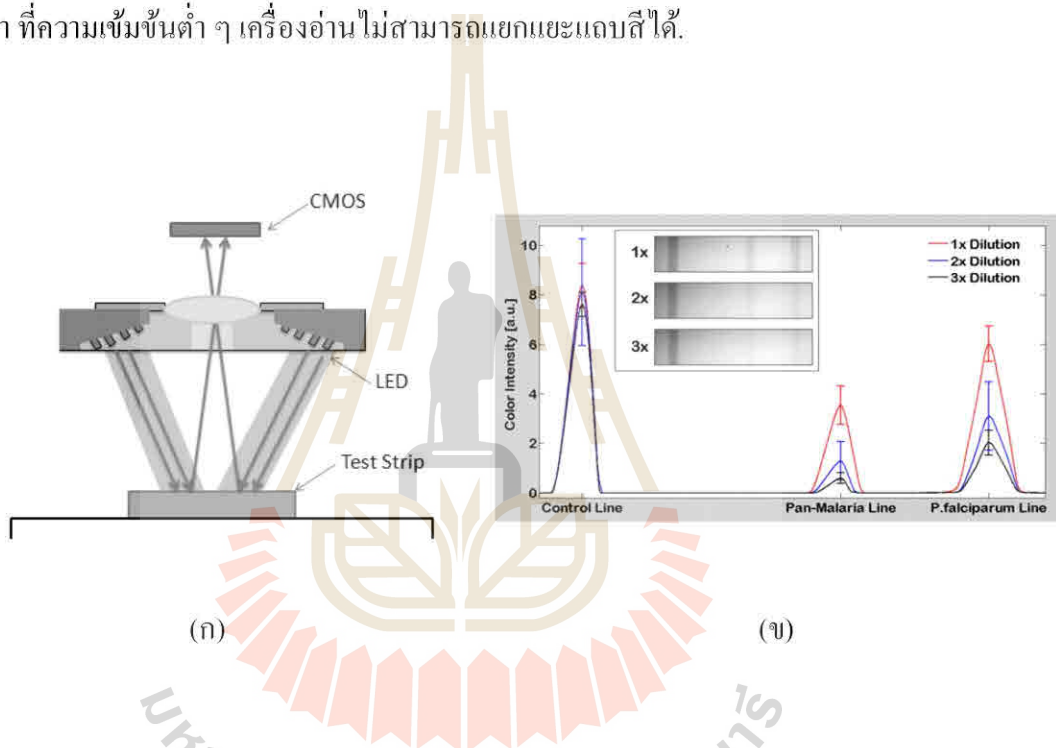
2.3.2 เทคนิคการถ่ายภาพชุดทดสอบและคำนวณหาความเข้มแสงด้วยกล้อง CCD

หรือ กล้อง CMOS

กลุ่มที่สองใช้กล้องซีซีดีหรือซีมอส (Carrio et al. 2015; Gui et al. 2014; Mudanyali et al. 2012; Yang et al. 2015; Yeh et al. 2014) อ่านภาพแอบทดสอบและคำนวณหาความเข้มแสง จากแต่ละແຄบสี เนื่องจากกล้องสามารถถ่ายภาพแอบทดสอบได้โดยไม่ต้องเลื่อนตำแหน่ง วิธีการนี้ จึงได้รับความนิยมมากขึ้น แต่ไม่เหมาะสมกับการใช้งานที่มีความไว (Sensitivity) สูง เพราะจะนั่นวิธีนี้ จำเป็นต้องมีอุปกรณ์เพิ่มเติมเพื่อปรับปรุงความไวของเครื่องอ่าน โดยใช้แหล่งกำเนิดแสงแบบไอดีโอดเปล่งแสง หรือมีเทคนิคประมวลผลภาพชุดทดสอบอย่างง่าย

ตัวอย่างงานวิจัยของ Mudanyali และคณะ (2012) พัฒนาเครื่องอ่านแอบสีชุดทดสอบโดยใช้กล้อง CMOS เป็นอุปกรณ์ถ่ายภาพชุดทดสอบพร้อมติดตั้งอุปกรณ์เพิ่มเติมในการเพิ่มความไวของเครื่องอ่าน แสดงดังรูปที่ 2.6 (ก) ซึ่งประกอบไปด้วย แหล่งกำเนิดแสงแบบไอดีโอดเปล่งแสงสีเขียว จัดแสงให้กระจายตัวสม่ำเสมอครอบคลุมบริเวณแอบควบคุมและแอบทดสอบ จากนั้นถ่ายภาพชุดทดสอบสำหรับตรวจเชื้อมาลาเรีย ส่งภาพมาประมวลผลที่คอมพิวเตอร์

ด้วยซอฟต์แวร์ที่ผู้วิจัยพัฒนาขึ้น ขั้นแรกทำการเลือกขอบเขตการพิจารณา (Region of interest, ROI) ให้ครอบคลุมบริเวณพื้นขาวของไนโตรเซลลูโลสเมมเบรนทั้งหมด ไม่รวมตำแหน่งที่เกิดแอบสี ทำการลบค่าการสะท้อนแสงที่บริเวณดังกล่าว ทำให้ค่าการสะท้อนแสงบนพื้นขาวบริเวณที่ไม่เกิดแอบสีมีค่าเป็นศูนย์ เพื่อชดเชยความเข้มแสงที่ไม่สม่ำเสมอของแหล่งกำเนิดแสง จากนั้นซอฟต์แวร์ จะทำการคำนวณหาค่าการสะท้อนแสงแต่ละตำแหน่งที่ได้บันชุดทดสอบแบบ Line profile และคงดังรูปที่ 2.6 (x) จากกราฟ Line profile ทำการหาค่าการสะท้อนสูงสุดของแถบทดสอบ พนว่า Detection limit ของเครื่องอ่านอยู่ที่ 156 parasites/ μL (3 x Dilution) ใกล้เคียงกับการแปลงผลด้วยตาเปล่า ที่ความเข้มข้นต่ำ ๆ เครื่องอ่านไม่สามารถแยกแอบสีได้.



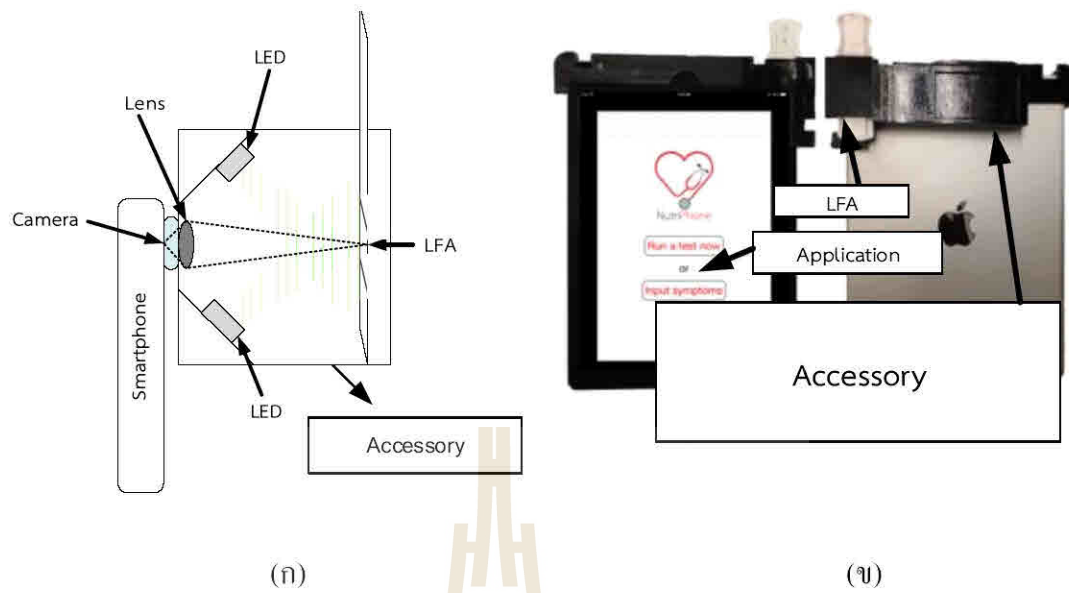
รูปที่ 2.6 (ก) เทคนิคการถ่ายภาพชุดทดสอบอย่างง่ายด้วยกล้อง CMOS ซึ่งประกอบไปด้วย แหล่งกำเนิดแสงไฟโอดเพลิงแสงสีเขียว จัดแสงให้กระจายตัวสม่ำเสมอครอบคลุมบริเวณแอบความคุณและแถบทดสอบ (Yang et al. 2015) และ (ข) กราฟค่าการสะท้อนหรือ Line profile สำหรับชุดทดสอบอย่างง่ายที่ความเข้มข้น 468 parasites/ μL (1X), 312 parasites/ μL (2X), 156 parasites/ μL (3X) (Mudanyali et al. 2012)

2.3.3 เทคนิคการการถ่ายภาพชุดทดสอบและคำนวณหาความเข้มแสงของแต่ละแอนสีด้วยกล้องโทรศัพท์แบบพกพา

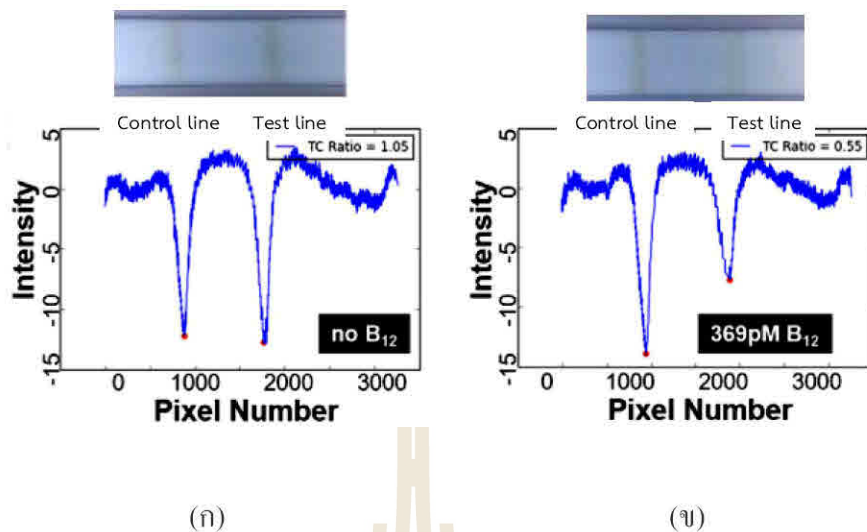
กลุ่มที่สาม ใช้กล้องโทรศัพท์แบบพกพาพัฒนาเครื่องอ่านแอนสีชุดทดสอบ (Jung et al. 2015; Kim et al. 2017; Lee et al. 2016; Scherr et al. 2016; Zangheri et al. 2015) ทำให้เครื่องอ่านมีขนาดเล็กกะทัดรัดสามารถพกพาได้ ซึ่งเทคนิคนี้ใช้กล้องโทรศัพท์เป็นอุปกรณ์ถ่ายภาพแอนสีชุดทดสอบ พร้อมทั้งติดตั้งอุปกรณ์เสริมเข้ากับกล้องโทรศัพท์ เช่น แหล่งกำเนิดแสงแบบไฟโอดิเปลี่ยงแสง เลนส์ เป็นต้น

ตัวอย่างงานวิจัยของ Lee และคณะ (2016) ออกแบบโทรศัพท์พกพาสำหรับถ่ายภาพชุดทดสอบ พร้อมติดตั้งอุปกรณ์เพิ่มเติมเข้าไปกับโทรศัพท์ แสดงในรูปที่ 2.7 ประกอบไปด้วยเลนส์ ($f = 12 \text{ mm}$) เพื่อบำบัดทดสอบและทำให้ขนาดของอุปกรณ์เล็กลง โดยตำแหน่งของเลนส์ตั้งกล่าวจะเป็นตำแหน่งเดียวกันกับเลนส์ของกล้องโทรศัพท์ ขณะเดียวกันผู้วิจัยจำเป็นต้องกำหนดตำแหน่งที่ใส่ชุดทดสอบอย่างยั่งยืนบนโทรศัพท์โดยตรงกับตำแหน่งของกล้อง จากนั้นวางแหล่งกำเนิดแสงแบบไฟโอดิเปลี่ยงแสงไว้ด้านข้างของเลนส์ และจัดความเข้มแสงของแหล่งกำเนิดแสงให้สม่ำเสมอเท่ากันทั้งชุดทดสอบ อุปกรณ์ดังกล่าวออกแบบมาสำหรับสวมเข้ากับโทรศัพท์แบบพกพา

การทดลองสำหรับงานวิจัยนี้ใช้ชุดทดสอบอย่างจ่ายแบบ Competitive assays สำหรับตรวจหาปริมาณวิตามินบี 12 ที่ความเข้มข้นตั้งแต่ $0 - 1107 \text{ pmol/L}$ จากนั้นนำชุดทดสอบดังกล่าวที่ต้องการวิเคราะห์ใส่เข้าเครื่องอ่านแอนสี เปิดแอปพลิเคชันที่ผู้วิจัยพัฒนาขึ้นบนระบบปฏิบัติการ iOS สำหรับอ่านค่าแอนสี ซึ่งซอฟต์แวร์ดังกล่าวจะถ่ายภาพชุดทดสอบ และคำนวณหาค่าการสะท้อนแสงแต่ละตำแหน่งบนชุดทดสอบแบบ Line profile แสดงในรูปที่ 2.8 การประมวลผลใช้ตำแหน่งค่าการสะท้อนแสงสูงสุดของแอนส์ทดสอบและแอนความคุณ นำค่าดังกล่าวมาหารอัตราส่วนระหว่างแอนส์ทดสอบต่อแอนความคุณ (T/C ratio) เพื่อใช้หาความสัมพันธ์เชิงเส้นกับปริมาณวิตามินบี 12 เนื่องจากปริมาณความเข้มข้นของแอนความคุณไม่เท่ากันในทุกความเข้มข้น การคำนวณหาอัตราส่วนของ T/C ratio ทำให้มีความเป็นเชิงเส้นดีกว่า ผลการทดสอบพบว่า Detection limit ของเครื่องอ่านอยู่ที่ความเข้มข้น 221 pmol/L ดีกว่า Detection limit ของการแปลงผลด้วยตาเปล่าถึง 1.7 เท่า



รูปที่ 2.7 (ก) หลักการออกแบบเครื่องอ่านแอลฟ์ชุดทดสอบด้วยกล้องโทรศัพท์แบบพกพา ประกอบไปด้วย เลนส์มูนซิ่งวางอยู่ที่หน้ากล้องของโทรศัพท์ มีแหล่งกำเนิดแสงแบบไฟโอดิเปลี่งแสงอยู่ด้านข้างของเลนส์ ควรให้ตำแหน่งชุดทดสอบตรงบริเวณเกิดandan ตีตระกับตำแหน่งของกล้อง และ (ข) ต้นแบบเครื่องอ่านแอลฟ์ชุดทดสอบด้วยกล้องโทรศัพท์แบบพกพา พร้อมหน้าจອหลักของแอปพลิเคชันที่ใช้ประมวลผลที่กลุ่มวิจัยของ Lee พัฒนาขึ้น (Lee et al. 2016)



รูปที่ 2.8 ค่าการสะท้อนแสงหรือ Line profile ที่อ่านได้แต่ละตำแหน่งบนชุดทดสอบสำหรับหาปริมาณวิตามินบี 12 (ก) ชุดทดสอบสำหรับตัวอย่างที่ไม่มีวิตามินบี 12 ค่าการสะท้อนแสงที่ลดลงที่ແຄนทดทดสอบและແຄนความคุณมีค่าใกล้เคียงกัน และค่า T/C ratio = 1.05 และ (ข) ชุดทดสอบสำหรับตัวอย่างที่ความเข้มข้น 369 pmol/L ค่าการสะท้อนแสงที่ลดลงที่ແຄนทดทดสอบมีค่าน้อยกว่าແຄนความคุณ และค่า T/C ratio = 0.55 (Lee et al. 2016)

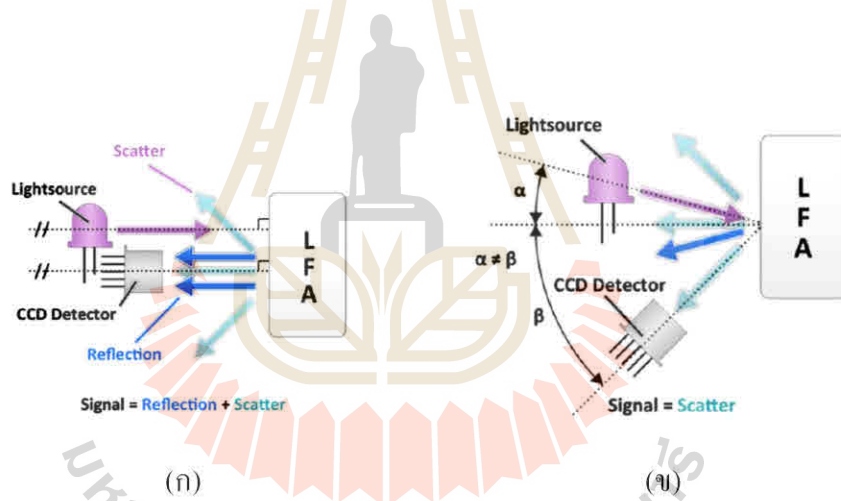
นอกจากที่กล่าวมาข้างต้นยังมีการศึกษาและพัฒนาเทคนิค อื่น ๆ เพื่อทำให้เครื่องอ่านແຄนสีชุดทดสอบสามารถวัดความเข้มข้นของตัวอย่างที่ต่ำลงได้ หรือมี Detection limit ดีกว่า การแปลงผลชุดทดสอบด้วยตาเปล่า

2.4 เทคนิคการเพิ่มความไว (Sensitivity) สำหรับเครื่องอ่านແຄนสีชุดทดสอบอย่างง่าย

2.4.1 เทคนิคกำหนดคุณสมบัติของแสงเพื่อลดแสงสะท้อนโดยตรงจากไนโตรเซลลูโลสเมมเบรนบนชุดทดสอบ

งานวิจัยของ You และคณะ (2013) ได้ศึกษาเทคนิคกำหนดคุณสมบัติของแสงเพื่อลดการสะท้อนแสงโดยตรงจากไนโตรเซลลูโลสเมมเบรนบนชุดทดสอบ หลักการออกแบบประกอบไปด้วย แหล่งกำเนิดแสงแบบไอดิโอดิเปล็ฟส์ ไฟโตเดิเกอร์ และชุดทดสอบอย่างง่าย

ซึ่งผู้วิจัยได้ทำการทดลองจัดตำแหน่งของแหล่งกำเนิดแสงและไฟโตดีเท็กเตอร์ทำมุมตั้งฉาก 90° กับชุดทดสอบ และดูในรูป 2.9 (ก) เปรียบเทียบกับการจัดตำแหน่งมุมของแหล่งกำเนิดแสงและไฟโตดีเท็กเตอร์ ซึ่งทำมุม (α) และทำมุม (β) กับชุดทดสอบตามลำดับ และดูในรูป 2.9 (ข) ถ้าจัดตำแหน่งอุปกรณ์ตามรูปที่ 2.9 (ก) ผู้วิจัยคาดว่าค่าที่ได้อ่าน ได้จากไฟโตดีเท็กเตอร์จะเป็นค่าการกระเจิงแสงของอนุภาคนาโนของทองบนบริเวณที่เกิดແสนสี รวมถึงรับค่าการสะท้อนจากแผ่น ในโตรเชลลูโลสเมมเบรน โดยตรง ซึ่งค่าการสะท้อนจากแผ่นในโตรเชลลูโลสเมมเบรนดังกล่าว เป็นสัญญาณรบกวนที่อยากรถกเลี่ยง เมื่อเทียบกับการจัดอุปกรณ์ในรูปที่ 2.9 (ข) ผู้วิจัยคาดว่า ค่าที่ไฟโตดีเท็กเตอร์อ่าน ได้ จะเป็นค่าการกระเจิงแสงของอนุภาคนาโนของทองบนแบบสีชุดทดสอบเป็นล้วนใหญ่ ซึ่งเทคนิคดังกล่าวเป็นการเพิ่มอัตราส่วนของสัญญาณระหว่างสัญญาณที่ต้องการต่อสัญญาณรบกวน (Signal to noise ratio) จากผลการทดลองพบว่ามุมที่เหมาะสมที่สุดในการจัดตำแหน่งอุปกรณ์ตามรูป 2.9 (ข) คือ α เท่ากับ 65° และ β เท่ากับ 110°



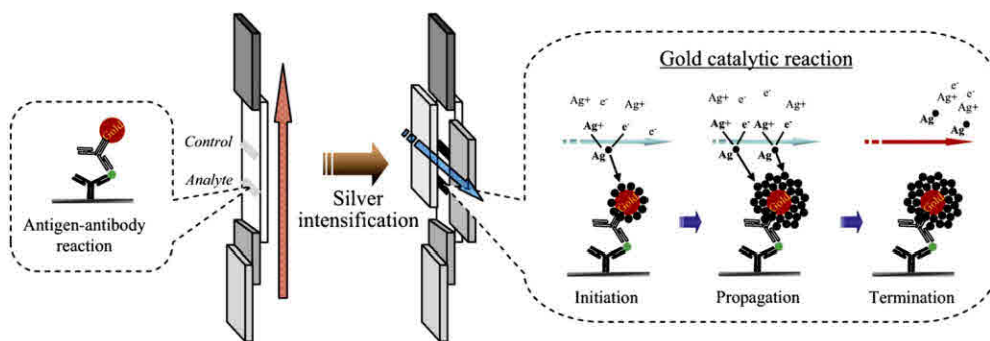
รูปที่ 2.9 (ก) จัดตำแหน่งของแหล่งกำเนิดแสงและไฟโตดีเท็กเตอร์ทำมุมตั้งฉาก 90° กับชุดทดสอบ ค่าที่ได้อ่าน ได้จากไฟโตดีเท็กเตอร์จะเป็นค่าการกระเจิงแสงของอนุภาคนาโนของทองบนบริเวณที่เกิดແสนสี รวมถึงรับค่าการสะท้อนจากแผ่นในโตรเชลลูโลสเมมเบรน โดยตรง และ (ข) จัดตำแหน่งของแหล่งกำเนิดแสงทำมุม (α) และตำแหน่งไฟโตดีเท็กเตอร์ทำมุม (β) กับชุดทดสอบเพื่อลดการรับค่าสะท้อนแสงโดยตรงจากในโตรเชลลูโลสเมมเบรนบนชุดทดสอบ (You et al. 2013)

เมื่อได้พารามิเตอร์ดังกล่าว ผู้วิจัยได้ออกแบบเครื่องอ่านแคนสีด้วยโทรศัพท์แบบพกพา ทำการทดลองกับชุดทดสอบอย่างง่ายสำหรับตรวจหาระดับฮอร์โมนไทรอยด์ในร่างกาย (Thyroid stimulating hormone, TSH) ผลการวิจัยพบว่า Detection limit ของเครื่องอ่านแคนสีอยู่ที่ความเข้มข้น 5 mIL/L ดีกว่าการแปลผลแบบสีชุดทดสอบด้วยตาเปล่า อよ่างไรก็ตามเมื่อทำการทดลองที่ความเข้มข้นสารตัวอย่างต่ำกว่า 5 mIL/L ไม่สามารถแยกความเข้มข้นได้

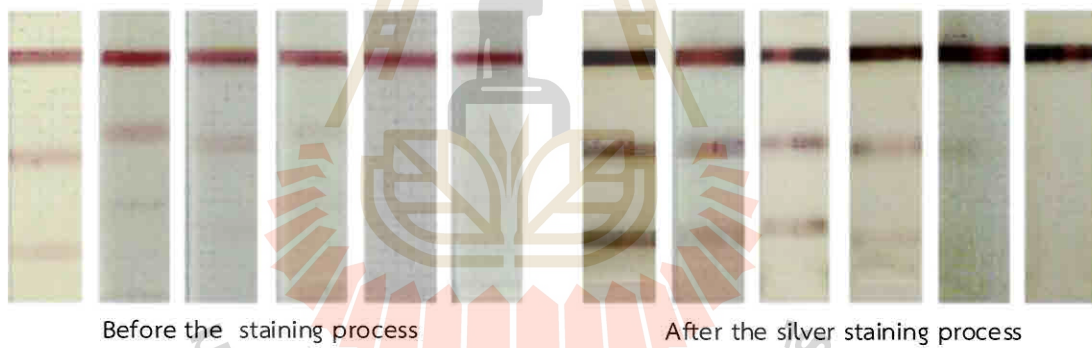
2.4.2 เทคนิค Silver staining enhancement

งานวิจัยของ Yu และคณะ (2015) ใช้การย้อมสีด้วยเทคนิค Silver staining ของชุดทดสอบอย่างง่ายหลังเกิดแคนสีแล้ว หลักการของเทคนิค Silver staining แสดงดังรูปที่ 2.10 โดยหยดสารละลาย Silver enhancer ลงบนชุดทดสอบอย่างงบนบวมแคนสี อนุภาคนาโนของทองที่แคนสีจะเป็นตัวเร่งปฏิกิริยาของการถ่ายโอนอิเล็กตรอน จากสารละลาย Silver enhancer มีการเสียอิเล็กตรอน ทำให้อิオอนเงิน (Ag^+) ไปจับที่ผิวนanosilver ของทอง เมื่อเวลาผ่านไปอิオอนดังกล่าวที่สะสมอยู่บนผิวนanosilver เป็นโลหะเงินที่มีขนาดใหญ่ขึ้น แคนสีบนชุดทดสอบจะเปลี่ยนเป็นสีเข้มทำให้เห็นแคนสีชัดเจนขึ้นเมื่อเทียบกับพื้นหลังสีขาวบนแผ่นไนโตรเซลลูโลสเมมเบรน

ใช้เทคนิคที่กล่าวมาข้างต้นกับชุดทดสอบอย่างง่าย สำหรับตรวจหาเชื้อรากูโนนิชิน บี1 (Fumonisins B1) ตั้งแต่ความเข้มข้น 0 – 100 $\mu\text{g}/\text{kg}$ แสดงในรูปที่ 2.11 เมื่อแปลผลแบบสีชุดทดสอบด้วยตาเปล่า พบว่า Detection limit ของเทคนิค Silver staining อยู่ที่ความเข้มข้น 20 $\mu\text{g}/\text{kg}$ ดีกว่าการแปลผลแบบสีชุดทดสอบจากอนุภาคนาโนของทองด้วยตาเปล่าถึง 2.5 เท่า อよ่างไรก็ตามที่ความเข้มข้นต่ำกว่า 20 $\mu\text{g}/\text{kg}$ ยังไม่สามารถแยกออกได้ว่าเกิดแคนสีที่ตำแหน่ง哪แคนทดสอบหรือไม่ เพื่อให้สามารถวิเคราะห์ผลที่ความเข้มข้นต่ำๆ ได้ ต้องพัฒนาเครื่องอ่านแคนสีชุดทดสอบโดยใช้เทคนิคที่กล่าวมาก่อนหน้าใช้คู่กับเทคนิค Silver staining



รูปที่ 2.10 (ก) หลักการของ Silver staining enhancement สำหรับวิเคราะห์ชุดทดสอบอย่างง่าย เมื่อสารละลาย Silver enhancer ทำปฏิกิริยากับอนุภาคนาโนของทอง ส่งผลให้ไอออนของเงินเข้าดัดกันที่ผิวอนุภาคนาโนของทองจะสมบุกคลายเป็นโลหะเงิน ทำให้เห็นแอบสีชัดขึ้น (Cho et al. 2010)



รูปที่ 2.11 ผลการทดสอบของชุดทดสอบสำหรับตรวจหาเชื้อรำพูโนมนิชน บี ภาพทางซ้ายมือแสดงผลก่อนการทำ Silver staining ส่วนภาพทางขวามือแสดงผลหลังทำ Silver staining ที่ชุดทดสอบความเข้มข้นตั้งแต่ 0, 0.5, 1, 1.5, 2, 2.5 ng/mL ตามลำดับ (Yu et al. 2015)

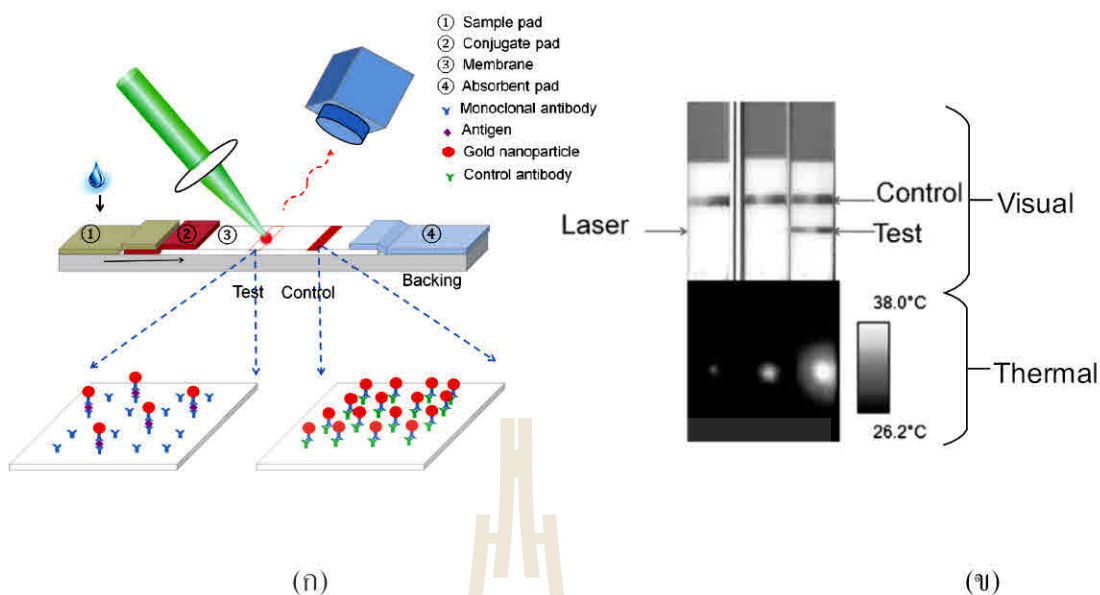
2.4.3 เทคนิคไฟโตเทอร์มัลแบบไม่สัมผัส

Qin และคณะ (2012) ได้ศึกษาเทคนิคไฟโตเทอร์มัลแบบไม่สัมผัสสำหรับวิเคราะห์แอบสีชุดทดสอบ หลักการของเทคนิคแสดงดังรูปที่ 2.12 (ก) ใช้เลเซอร์ไอดิโอดสีเขียว (0.5 W, ความยาวคลื่น 532 nm) กำลังงานสูงถาวรไปบนบริเวณตำแหน่งแอบสีที่ชุดทดสอบ เมื่อแสงตก

กระบวนการที่อนุภาคนาโนของทอง อนุภาคนาโนจะดูดกลืนแสงและเกิดเป็นความร้อนขึ้น อุณหภูมิจากความร้อนที่เพิ่มนั้น ขึ้นอยู่กับจำนวนอนุภาคนาโนของทองบนແບບสีชุดทดสอบ ถ้าอนุภาคนาโนของทองมีจำนวนมาก ส่งผลให้อุณหภูมิที่เกิดขึ้นบนตำแหน่งແບບสีที่มากขึ้นตามไปด้วย การเปลี่ยนแปลงของความร้อนที่เกิดขึ้นบนชุดทดสอบถูกวัดด้วยกล้องไฟโตเทอร์มัลแบบอินฟราเรด

จากการศึกษาเบื้องต้นผู้วิจัยลองเปรียบเทียบการแปลผลด้วยเทคนิคไฟโตเทอร์มัล กับการแปลผลด้วยตาเปล่า โดยการหยดตัวอย่างสารละลายอนุภาคนาโนของทองปริมาตร $10 \mu\text{L}$ ลงบนสไลด์ ถ่ายภาพดังกล่าวด้วยกล้องดิจิตอลใช้ในการแปลผลด้วยตาเปล่า และใช้เทคนิคไฟโตเทอร์มัล เริ่มจากยิงแสงเลเซอร์ไอดิโอดลงไปบริเวณสารละลาย ดูการเปลี่ยนแปลงความร้อนด้วยกล้องไฟโตเทอร์มัลแบบอินฟราเรด พนวจว่าที่ความเข้มข้นของสารตัวอย่างที่ $2.5 \times 10^9 \text{ GNP/mL}$ เทคนิคไฟโตเทอร์มัลยังสามารถเดินการเปลี่ยนแปลงของอุณหภูมิที่เพิ่มขึ้น เมื่อเทียบกับตัวอย่างที่ไม่มีอนุภาคนาโนของทอง แต่การแปลผลด้วยตาเปล่า Detection limit อยู่ที่ $2.5 \times 10^{11} \text{ GNP/mL}$ แสดงให้เห็นว่าเทคนิคดังกล่าวมี Detection limit ดีกว่าการแปลผลด้วยตาเปล่า 100 เท่า ด้วยเหตุผลนี้ จึงทำให้ผู้วิจัยนำเทคนิคไฟโตเทอร์มัลมาใช้งานกับชุดทดสอบอย่างง่าย ที่ต้องการวิเคราะห์ตัวอย่างที่มีความเข้มข้นต่ำ ๆ

เมื่อทดลองใช้เทคนิคไฟโตเทอร์มัลแบบไม่สัมผัสกับชุดทดสอบอย่างง่ายสำหรับวิเคราะห์โรคเยื่อหุ้มสมองอักเสบจากเชื้อรา Cryptococcal (CrAg) โดยการฉายแสงเลเซอร์ไอดิโอด (0.01 W , ความยาวคลื่น 532 nm) ลงบนตำแหน่งແບບทดสอบ ใช้กล้องไฟโตเทอร์มัลแบบอินฟราเรด ดูการเปลี่ยนแปลงของอุณหภูมิที่ตำแหน่งดังกล่าว และดังรูป 2.12 (ข) จากผลการทดลองพบว่า Detection limit ของเทคนิคไฟโตเทอร์มัลอยู่ที่ความเข้มข้น 1:1024 CrAg titer ดีกว่าการแปลผลด้วยตาเปล่า 32 เท่า อย่างไรก็ตามเทคนิคดังกล่าวใช้อุปกรณ์ที่มีราคาสูง



รูปที่ 2.12 (ก) หลักการของเทคนิคโฟโตเทอร์มัลแบบไม่สัมผัสสำหรับใช้งานกับชุดทดสอบอย่างง่าย ประกอบไปด้วย เดเซอร์ไอดิโอดซึ่งแสงลงบนแผ่นสี ทำให้อุณหภูมานอนที่แผ่นดังกล่าวร้อนขึ้น และคุณการเปลี่ยนแปลงอุณหภูมิด้วยกล้องโฟโตเทอร์มัล และ (ข) ตัวอย่างภาพถ่ายชุดทดสอบเชื้อรา CrAg ภาพบนจากกล้องดิจิตอล และภาพล่างจากกล้องโฟโตเทอร์มัลแบบอินฟราเรดที่ความเข้มข้น 0, 1:1024, 1:2048 CrAg titer (Qin et al. 2012)

2.4.4 เทคนิคประมวลผลภาพชุดทดสอบอย่างง่าย

การพัฒนาเครื่องอ่านแบบสีชุดทดสอบด้วยการใช้กล้อง CCD หรือ กล้อง CMOS เป็นอุปกรณ์ถ่ายภาพชุดทดสอบ ให้สามารถวิเคราะห์แผ่นสีที่ความเข้มข้นต่างๆ ได้ดี นั่น มีงานวิจัยที่ศึกษาและพัฒนาเทคนิคประมวลผลภาพชุดทดสอบอย่างง่าย (Gui et al. 2014; Jakoby et al. 2010; Lee et al. 2016; Scherr et al. 2016) โดยออกแบบซอฟต์แวร์ให้มีความสามารถในการตรวจสอบสามารถทำงานผ่านแอปพลิเคชัน Android และ iOS

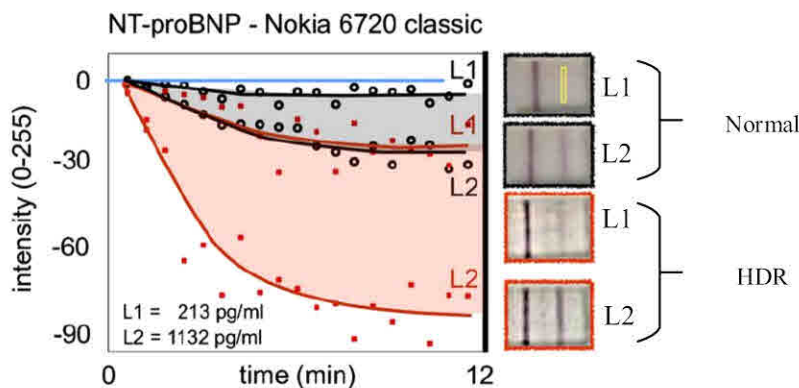
ตัวอย่างเช่น งานวิจัยของ Jakoby และคณะ (2010) พัฒนาซอฟต์แวร์ประมวลผลภาพชุดทดสอบด้วยเทคนิค High Dynamic Range (HDR) คือการขยายช่วงไดนามิกของภาพระหว่างภาพที่มีแสงสว่างมากที่สุดกับภาพที่มีค่าที่สุด ให้อยู่ในภาพเดียวกันเพื่อให้ได้ภาพที่มีรายละเอียดครบถ้วน เช่น ถ้าเราจะถ่ายภาพให้มองเห็นในจุดสว่างคมชัด ภาพในส่วนที่มีค่าที่สุด

สนิท แต่ถ้าเราต้องการถ่ายให้ส่วนที่มีค่ามีชัด ภาพในส่วนสว่างก็จะสว่างจนเกินไป ทำให้ไม่เห็นรายละเอียดเลข ปัญหาดังกล่าวแก้ไขได้ด้วยเทคนิค HDR

งานวิจัยนี้ผู้วิจัยได้ทำการถ่ายภาพชุดทดสอบสำหรับตรวจหาโปรตีน NT-proBNP ของผู้ป่วยที่มีภาวะเตี่ยงเป็นโรคหัวใจขาดเลือด ด้วยครื่องอ่านแอบลีชุดทดสอบที่พัฒนาขึ้นโดยใช้กล้องโทรศัพท์แบบพกพา (Nokia 6720) เป็นอุปกรณ์ถ่ายภาพ ประยุกต์ใช้หน้าจอแสดงผลของโทรศัพท์เป็นแหล่งกำเนิดแสง ซึ่งพัฒนาซอฟต์แวร์บนมือถือให้สามารถควบคุมความสว่างหน้าจอเบริญสมีอนกับตั้งค่าเวลาในการรับแสง (Exposure time) ของกล้อง เพื่อถ่ายภาพทั้ง 3 ช่วงความสว่าง แสดงดังรูปที่ 2.13 ประกอบไปด้วยภาพของค่า Exposure time น้อย (Under exposure) ภาพของค่า Exposure time ที่เหมาะสม (Normal exposure) และภาพของค่า Exposure time สูง (Over exposure) ต่อภาพที่ถ่ายทั้งหมดมาประมาณผลที่คอมพิวเตอร์ จากนั้นทำการรวมภาพของ Exposure time ทั้ง 3 ภาพเข้าด้วยกันด้วยเทคนิคประมาณสีขั้นบนชุดทดสอบเป็นเวลา 12 นาที จากผลการทดลองพบว่าภาพ HDR ของชุดทดสอบอย่างง่ายทำให้แอบลีชุดทดสอบเป็นเวลา 12 นาที จากผลการทดลองพบว่าภาพ HDR ของชุดทดสอบอย่างง่ายทำให้แอบลีชุดขึ้นเมื่อถูกดูด้วยตาเปล่า จากภาพดังกล่าวทำ การคำนวณหาค่าการสะท้อนแสงที่คล่องตามเวลาของแอบลีชุดทดสอบ แสดงดังรูปที่ 2.14 พบว่า Detection limit ของเทคนิคดังกล่าวอยู่ที่ความเข้มข้น 213 pg/mL ดีกว่าการแปลงชุดทดสอบด้วยตาเปล่า 2 เท่า



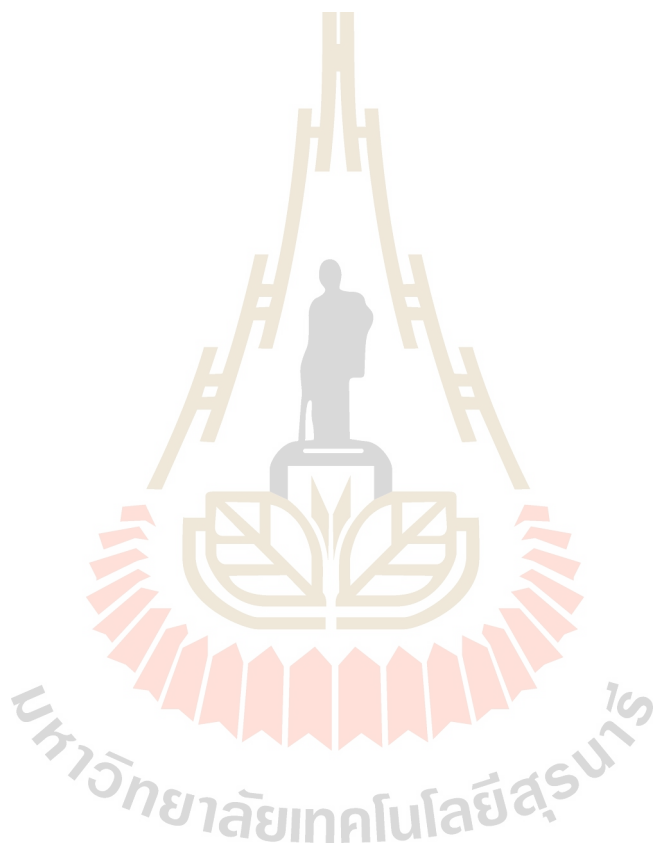
รูปที่ 2.13 ภาพถ่ายแอบลีชุดทดสอบสำหรับตรวจหาโปรตีน NT-proBNP ทั้ง 3 ช่วงความสว่าง ได้แก่ ค่า Exposure time น้อย (Under exposure) ค่า Exposure time ที่เหมาะสม (Normal exposure) และค่า Exposure time สูง (Over exposure) จากนั้นทำการรวมภาพทั้ง 3 ช่วง ด้วยเทคนิคการรวมภาพที่เรียกว่า HDR จะได้ภาพแอบลีชุดทดสอบที่ชัดเจนขึ้น ดังรูปขวามือ (Jakoby et al. 2010)



รูปที่ 2.14 กราฟค่าการสะท้อนแสงที่ลดลงตามเวลา ตั้งแต่ภาพชุดทดสอบซึ่งไม่ปรากฏบนสี จนกระทั่งเกิดແຄนสีบนชุดทดสอบตรวจหาโปรตีน NT-proBNP เส้นสีดำในกราฟเป็นค่า การสะท้อนแสงของภาพปกติ ส่วนเส้นสีแดงในกราฟเป็นค่าการสะท้อนแสงของภาพ HDR ที่ความเข้มข้น L1 เท่ากับ 213 pg/mL และ L2 เท่ากับ 1132 pg/mL (Jakoby et al. 2010)

ผลจากการศึกษาเทคนิคการเพิ่มความไวของเครื่องอ่านແຄนสีชุดทดสอบอย่างจ่ายดังที่กล่าวมาแล้ว จากผลการทดสอบพบว่าเครื่องอ่านແຄนสีที่พัฒนาขึ้นมี Detection limit ดีกว่าการแปลผลด้วยตาเปล่า ยกตัวอย่างเช่น เทคนิคไฟโตเทอร์มัลแบบไม่มีสัมผัสเหมาะสมสำหรับใช้งานกับชุดทดสอบที่ต้องการวิเคราะห์ความเข้มข้นของสารตัวอย่างที่มีความเข้มข้นต่ำ ๆ ได้ เนื่องจากเป็นเทคนิคการวัดที่มีความละเอียดสูง อย่างไรก็ตามอุปกรณ์ที่ใช้สำหรับเทคนิคดังกล่าวยังมีราคาสูงที่มาก ส่วนการประมวลผลภาพชุดทดสอบอย่างจ่ายด้วยเทคนิค HDR ทำให้ได้ภาพແຄนสีชุดทดสอบที่ชัดเจนขึ้น อย่างไรก็ตามเทคนิคดังกล่าวสามารถในการรวมภาพ HDR ที่ยากและซับซ้อน ถ้านำมาพัฒนาเป็นแอปพลิเคชันบนเครื่องอ่านແຄนสีชุดทดสอบด้วยโทรศัพท์แบบพกพา อาจใช้เวลาในการประมวลและแสดงผลภาพเป็นเวลานาน ดังนั้นงานวิจัยจะประยุกต์ใช้เทคนิคการการถ่ายภาพชุดทดสอบและคำนวณความเข้มแสงของแต่ละແຄนสีด้วยกล้อง CMOS กำหนดคุณสมบัติของแสงเพื่อลดแสงสะท้อน โดยตรงจากไนโตรเรซลูโลสเมมเบรนบนชุดทดสอบ พัฒนาเครื่องอ่านແຄนสีสำหรับชุดทดสอบชนิดต่าง ๆ ที่มีการพัฒนาขึ้นใช้งานเองในประเทศไทย ราคาไม่แพง ทั้งนี้เครื่องมือวัดดังกล่าวยังสามารถศึกษาผลการตรวจการปรับค่าพารามิเตอร์ต่าง ๆ บนกล้องได้ เช่น Contrast

Exposure time เป็นต้น เนื่องจากยังไม่ได้มีการศึกษามาก่อนหน้าถึงการปรับค่าพารามิเตอร์ดังกล่าว ว่าส่งผลต่อการวัดค่าการสะท้อนบนชุดทดสอบหรือไม่



บทที่ 3

การออกแบบเครื่องอ่านแอบสีชุดทดสอบอย่างง่ายแบบแอลเอฟเอ

เครื่องอ่านแอบสีชุดทดสอบ ได้รับความสนใจและได้รับการพัฒนาอย่างต่อเนื่อง ปัจจุบันมีผู้ผลิตจำนวนมากที่มุ่งเน้นการพัฒนาเครื่องอ่านแอบสีในเชิงพาณิชย์เป็นจำนวนมาก (Baugh and Murphy 2013; Kaylor et al. 2013; Ozcan et al. 2014; Pawlak et al. 1998; Vail et al. 2005) แต่ยังไม่พบข้อมูลระบุชัดเจนจากผู้ผลิตรายใดว่า เครื่องอ่านแอบสีสามารถใช้ตรวจสอบสารตัวอย่างที่ความเข้มข้นต่ำกว่า การระบุแอบสีด้วยตาเปล่า นอกจากการระบุเพียงแต่ว่าการใช้เครื่องอ่านแอบสีชุดทดสอบสามารถระบุความเข้มข้นของสารที่วัดได้ในเชิงปริมาณ หรืออาจเพียงทราบผลความเข้มข้นเป็นตัวเลขเท่านั้นที่ทำให้เครื่องอ่านได้รับความน่าเชื่อถือในการอ่านค่าความเข้มข้นให้กับชุดทดสอบนั้น ๆ งานวิจัยนี้จึงมีเป้าหมายที่จะพัฒนาเครื่องอ่านแอบสีที่ให้ค่า Detection limit ดีกว่าการดูด้วยตาเปล่า โดยได้ออกแบบเครื่องอ่านแอบสีชุดทดสอบ 2 รูปแบบ คือ แบบแรกใช้กล้องเว็บแคมในการบันทึกภาพแอบสี และใช้แหล่งกำเนิดแสงเป็นไฟโดยเปลี่ยนแสง การใช้กล้องเว็บแคมทำให้สามารถศึกษาผลกระทบจากการปรับค่าพารามิเตอร์ต่าง ๆ ของกล้องทำได้ง่าย เช่น Contrast, Exposure time เป็นต้น เมื่อได้พารามิเตอร์ในการตั้งค่ากล้องที่เหมาะสมแล้ว จึงได้พัฒนาเครื่องอ่านแอบสีชุดทดสอบแบบที่สองใช้เทคนิคเดียวกัน โดยใช้กล้องของโทรศัพท์มือถือแบบพกพาในการบันทึกภาพแอบสี

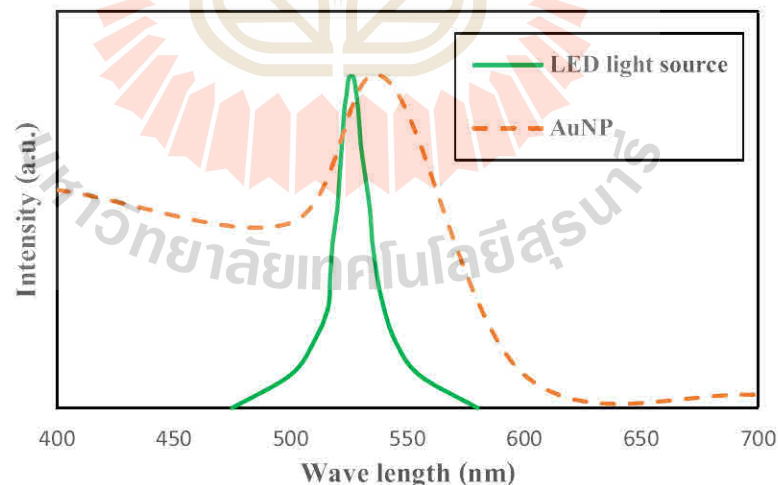
3.1 การออกแบบเครื่องอ่านแอบสีชุดทดสอบโดยใช้กล้องเว็บแคมเป็นอุปกรณ์รับภาพ

ต้นแบบภาคสนามของเครื่องอ่านแอบสีชุดทดสอบที่ผู้วิจัยได้พัฒนาขึ้นนี้ ใช้กล้องเว็บแคม (Logitech HD C525, ราคาประมาณ 1,500 บาท) เป็นอุปกรณ์รับภาพ ซึ่งกล้องเว็บแคมรุ่นนี้ผู้ใช้สามารถตั้งค่าพารามิเตอร์ต่าง ๆ ในการรับภาพของกล้องได้ เช่น Exposure time, Gain หรือ Contrast เป็นต้น ทำให้สะดวกสำหรับทำการวิจัยและพัฒนาที่ต้องการศึกษาผลกระทบของพารามิเตอร์ ข้างต้น ว่าส่งผลต่อการวัดความเข้มแสงของแอบสีชุดทดสอบหรือไม่ กล้องเว็บแคมรุ่นอื่น ๆ

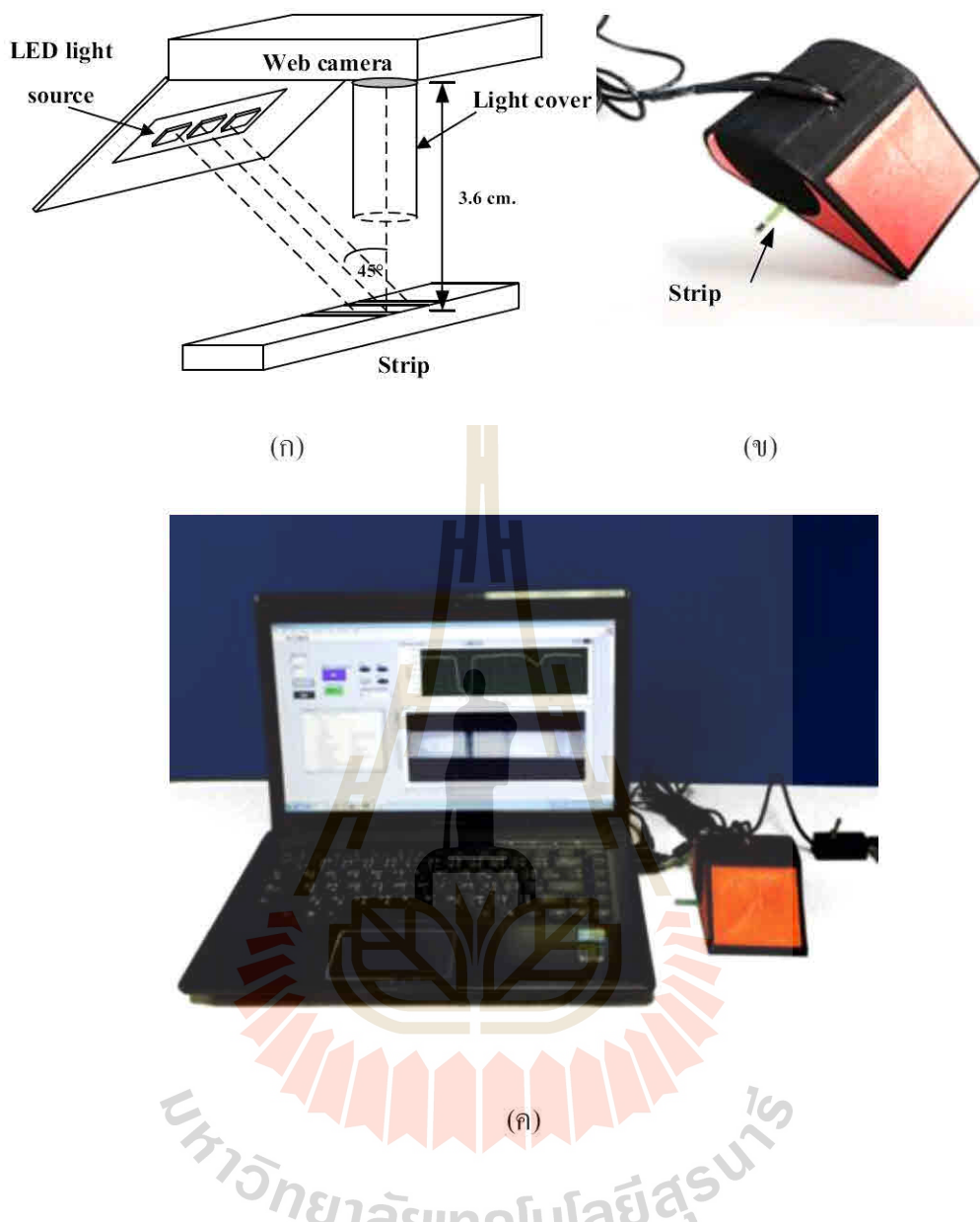
สามารถนำมาใช้งานได้ เช่นเดียวกัน แต่ต้องเป็นรุ่นที่ผู้ผลิตอนุญาตให้ผู้ใช้ปรับค่าพารามิเตอร์ในการถ่ายภาพได้

เครื่องอ่านแอบสีจะประกอบไปด้วยแหล่งกำเนิดแสงเป็นไอดิโอดเปล่งแสงสีเขียวจำนวน 6 ตัว (0.48 W) จัดแสดงในรูปเส้นตรง (Line light) และจัดมุมตอกกระทบ 45° เทียบกับระนาบของชุดทดสอบ โดยมีกล้องเว็บแคมอยู่ต่อหงาย การใช้แหล่งกำเนิดแสงสีเขียวสอดคล้องกับสเปกตรัมการกระเจิงแสงและการดูดกลืนแสงของอนุภาคนาโนของทอง Huang และคณะ (2010) ดังรูปที่ 3.1 และการจัดมุมตอกกระทบ 45° น่าจะลดแสงสะท้อนโดยตรงจากพื้นสีขาวของชุดทดสอบได้ ด้านบนดังกล่าวจะเชื่อมต่อกับคอมพิวเตอร์ผ่านพอร์ต USB เพื่อประมวลผลและแสดงผล

สำหรับการออกแบบกล้องเครื่องอ่านแอบสีชุดทดสอบ ผู้วิจัยใช้ 3D Printer ขึ้นรูป แสดงในรูปที่ 3.2 โดยออกแบบให้กล้องรับภาพอยู่บริเวณตรงกลางกล้องโดยกั้นกับตำแหน่งแอบสีของชุดทดสอบอย่างง่าย ระยะของเลนส์กล้องห่างจากชุดทดสอบประมาณ 3.6 cm ซึ่งเป็นระยะที่กล้องไฟฟ้าสภาพแอบสีชุดทดสอบชัดเจน บริเวณด้านข้างของกล้องออกแบบที่ยึดกับแหล่งกำเนิดแสงทำมุม 45° กับชุดทดสอบ วาง Diffuser ไว้ที่หน้าแหล่งกำเนิดแสง เพื่อให้แสงนวลและกระจายตัวอย่างสม่ำเสมอ ส่วนบริเวณหน้าเลนส์ของกล้องจะสวมอุปกรณ์ป้องกันแสง เพื่อลดแสงสะท้อนที่เกิดจาก การสะท้อนภายในกล้องของเครื่องอ่านแอบสีชุดทดสอบ

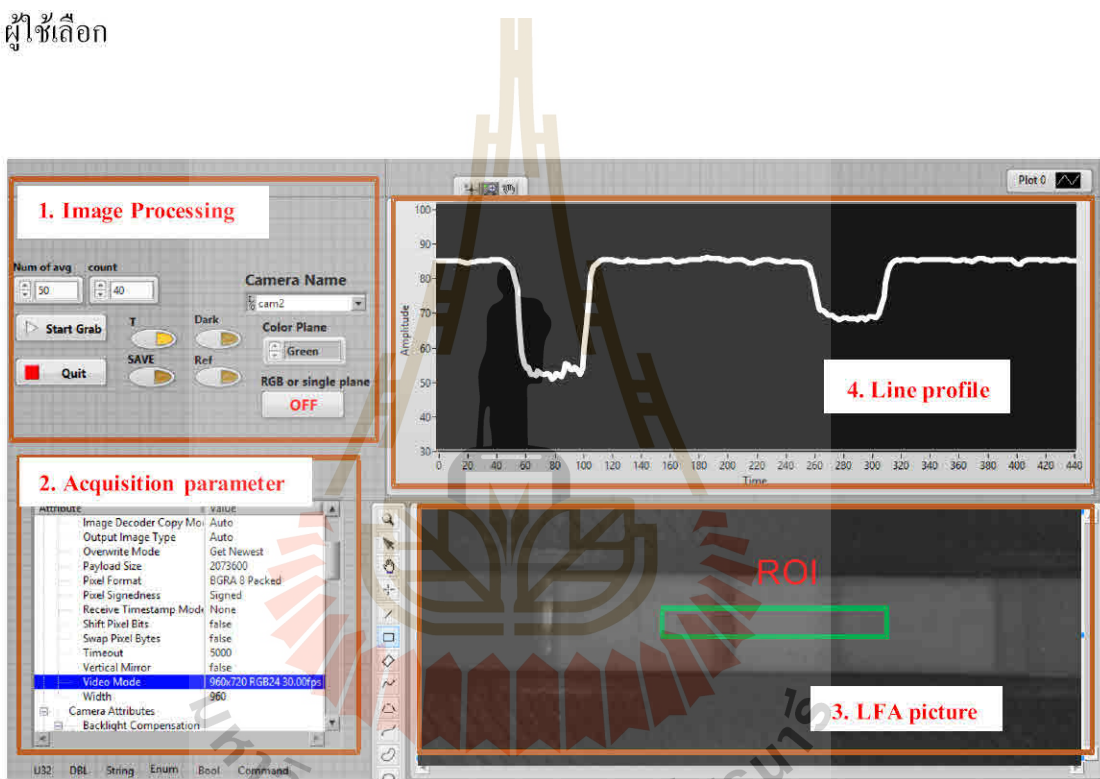


รูปที่ 3.1 สเปกตรัมการส่องสว่างของแหล่งกำเนิดแสงแบบไอดิโอดเปล่งแสงสีเขียว (เส้นสีเขียว) สอดคล้องกับสเปกตรัมการกระเจิงแสงของอนุภาคนาโนของทองขนาด 40 nm (เส้นสีแดง) (ดัดแปลงจาก Huang et al. 2010)



รูปที่ 3.2 (ก) การจัดอุปกรณ์ของเครื่องอ่านແນບສีชุดทดสอบโดยใช้กล้องเว็บแคมเป็นอุปกรณ์รับภาพ ประกอบด้วย กล้องรับภาพ ไดโอดเปล่งแสงสีเขียวแบบแคลวาว (Line lights source) และช่องใส่ชุดทดสอบ (ข) ภาพต้นแบบภาคสนามเครื่องอ่านແນບສีชุดทดสอบ โดยใช้กล้องเว็บแคม และ (ค) รูปภาพต้นแบบพร้อมด้วยคอมพิวเตอร์ประมวลผล

การประมวลผลภาพ การประมวลผลข้อมูล และการแสดงผลของเครื่องต้นแบบนี้จะเขียนบนโปรแกรม LabVIEW 2013 (National Instrument) หน้าจอประมวลผลสามารถปรับเปลี่ยนค่าพารามิเตอร์ต่าง ๆ ของกล้องเว็บแคม ได้สะดวกและจัดเก็บข้อมูลง่าย หน้าจอประมวลผลประกอบไปด้วย 4 ส่วน ดังรูปที่ 3.3 4 ส่วนแรกคือชุดค่าสั่งประมวลผลภาพเบื้องต้น ส่วนที่สองคือการตั้งค่าพารามิเตอร์ในการรับภาพของกล้องเว็บแคม ซึ่งจะขึ้นอยู่กับคุณสมบัติทางเทคนิคของกล้องรุ่นนี้ ๆ ส่วนที่สามคือส่วนแสดงภาพชุดทดสอบ และส่วนสุดท้ายคือส่วนแสดงกราฟ Line profile ซึ่งจะแสดงค่าความเข้มแสงตามแนวแกนของชุดทดสอบ จากบริเวณ ROI (Region of interest) ที่ผู้ใช้เลือก



รูปที่ 3.3 หน้าจอประมวลผลของเครื่องอ่านแคนสีชุดทดสอบ หน้าจอแสดงผลประกอบไปด้วย ส่วนการตั้งค่าพารามิเตอร์ในการประมวลผลภาพ ส่วนการตั้งค่ากล้องรับภาพ ส่วนของหน้าจอแสดงภาพชุดทดสอบ และส่วนหน้าจอแสดงค่า Line profile

3.2 กราฟ Line profile

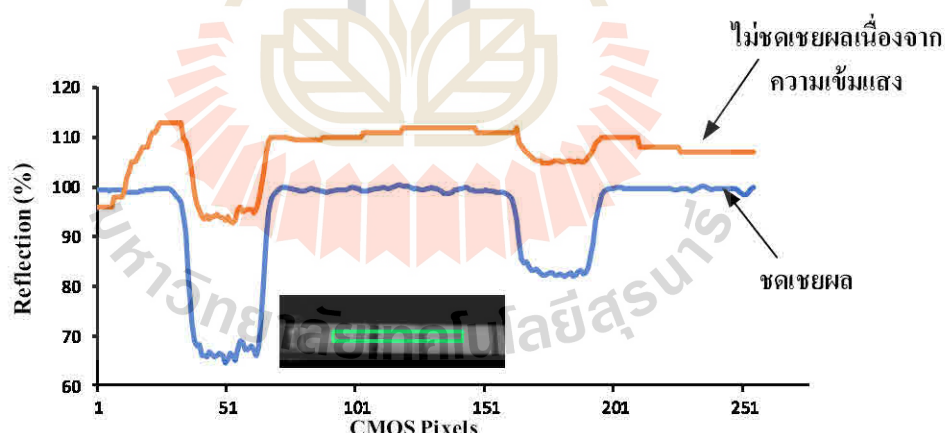
กราฟ Line profile หาได้จากการพลีอตค่าการสะท้อนแสงจากแต่ละตำแหน่งบนชุดทดสอบ ($I_R(x)$) กับระยะตามแนวยาวของชุดทดสอบ แสดงจากแหล่งกำเนิดแสงที่ตอกกระแทกชุด

ทดสอบอาจมีความเข้มแสงไม่เท่ากันทั้งภาพ เพื่อชดเชยผลเนื่องจากความเข้มแสงไม่สม่ำเสมอของความเข้มแสงต่อกระหนบแต่ละจุดบริเวณชุดทดสอบไม่เท่ากัน จำเป็นต้องใช้ความเข้มแสงจากภาพอ้างอิง (I_{Ref}) หารด้วยความเข้มแสงที่อ่านค่าได้ (I) ภาพอ้างอิงในกรณีนี้คือภาพที่ได้จากชุดทดสอบสีขาวที่ยังไม่เกิดสีหรือยังไม่ได้ใช้งาน ค่าความเข้มแสง $I_R(x)$ ที่คำนวณ x ได้ ๆ บนชุดทดสอบหาได้จาก

$$I_R(x) = \frac{I(x) - I_d(x)}{I_{Ref} - I_d(x)}$$

เมื่อ $I(x)$ คือความเข้มแสงที่อ่านได้จากกล้องรับภาพที่ตำแหน่ง x ส่วน $I_d(x)$ คือความเข้มแสงที่อ่านได้ที่ตำแหน่ง x เมื่อปิดแหล่งกำเนิดแสง และ $I_{Ref}(x)$ คือความเข้มแสงที่อ่านได้ตำแหน่ง x เมื่อใช้ชุดทดสอบที่ยังไม่ได้ใช้งาน โดยเลือกบริเวณสีขาว

รูปที่ 3.4 แสดงกราฟ Line profile จากชุดทดสอบ เมื่อชดเชยผลเนื่องจากความเข้มแสงที่ไม่สม่ำเสมอแล้ว จะพบว่าบริเวณพื้นดินขาวของชุดทดสอบจะมีค่าค่อนข้างคงที่



รูปที่ 3.4 กราฟ Line profile จากชุดทดสอบเปรียบเทียบระหว่างไม่ชดเชยผลเนื่องจากความเข้มแสงกับชดเชยผลเนื่องจากความเข้มแสง

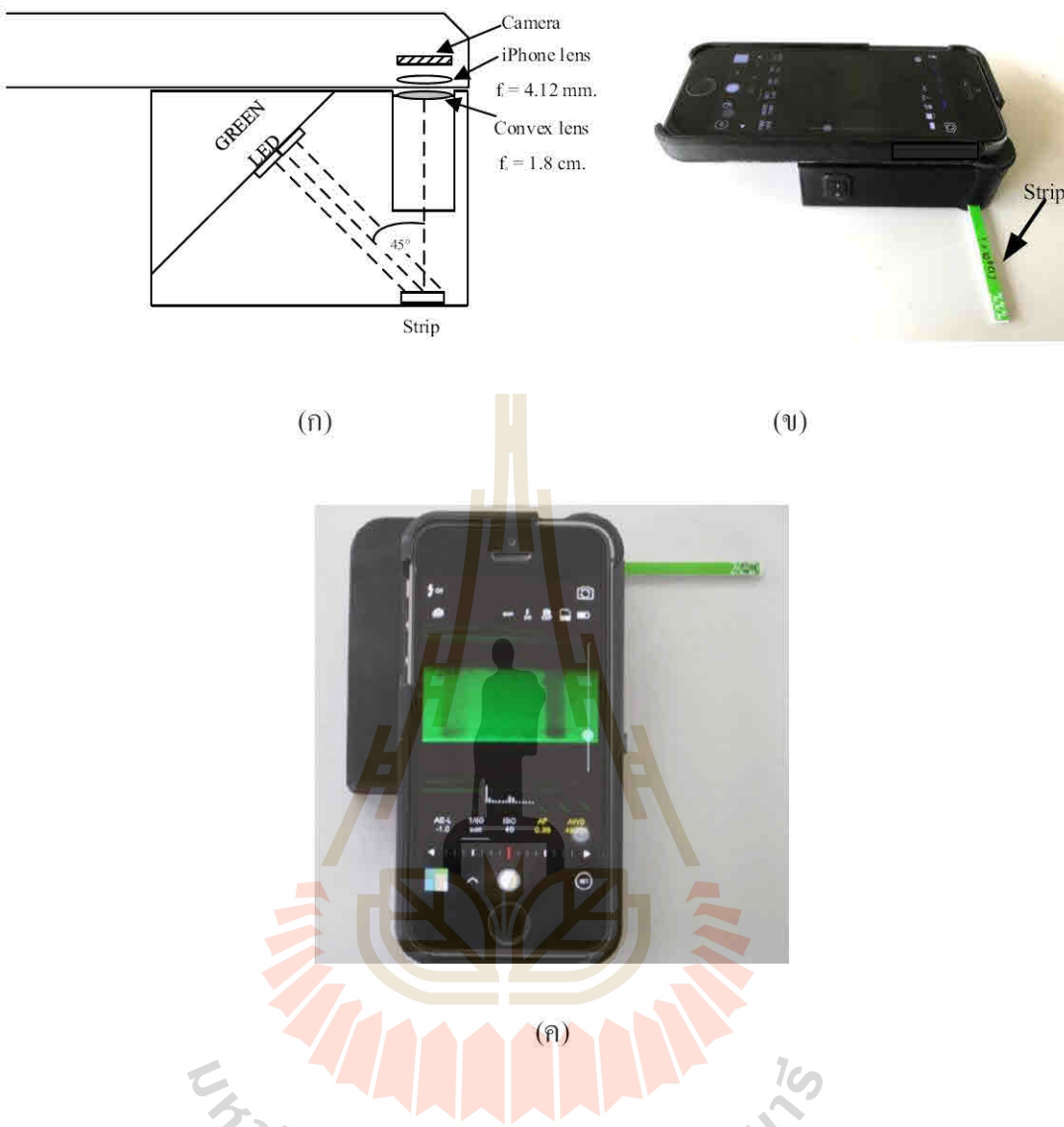
กราฟ Line profile จากชุดทดสอบจะเป็นข้อมูลหลักที่จะนำไปประเมินผล เพื่อหาค่าความเข้มแสงบริเวณแถบทดสอบ (Test line) ซึ่งจะได้อธิบายต่อไปในหัวข้อ 3.4

3.3 การออกแบบเครื่องอ่านແຄบสีชุดทดสอบ โดยใช้กล้องโทรศัพท์แบบพกพาเป็นอุปกรณ์รับภาพ

เครื่องอ่านແຄบสีชุดทดสอบแอลเอฟเอรูปแบบที่สอง จะใช้กล้องโทรศัพท์แบบพกพา (iPhone 5S) ใน การอ่านค่าແຄบสี ใช้แหล่งกำเนิดแสงแบบไอดีโอดีเพลิงแสงสีเขียว 6 ตัว (0.48 W) จัดแสงในรูปเส้นตรง (Line light) แบ่งเป็น 2 แอว และจัดให้มีมุมตั้งกระทน 45° เทียบกับระนาบของชุดทดสอบ ออกรูปแบบเชิงแสงโดยใช้เลนส์มูนความยาวไฟฟ้า (f_o) เท่ากับ 1.8 cm. และเลนส์ของกล้อง iPhone 5S ความยาวไฟฟ้า (f_i) เท่ากับ 4.12 mm. เพื่อย้ายภาพແຄบสีชุดทดสอบที่อัตราการขยายภาพประมาณ 4.5 เท่า วางแผนส์มูนให้มีระยะห่างจากชุดทดสอบที่ 2 cm. จึงจะได้ภาพແຄบสีชุดทดสอบชัด แสดงดังรูปที่ 3.5 (ก)

การออกแบบกล้องเครื่องอ่านແຄบสีชุดทดสอบขึ้นรูปด้วย 3D Printer ดังรูปที่ 3.5 (ข) โดยมีตำแหน่งยึดเลนส์มูนให้อยู่ในตำแหน่งที่พอดีกับกล้องโทรศัพท์ และสร้างอุปกรณ์ป้องกันแสงสว่างเข้าไปที่เลนส์มูนยาวประมาณ 0.7 cm. เพื่อลดก้อนแสงรบกวนที่เกิดจากการสะท้อนภายในกล้องเครื่องอ่าน ออกรูปแบบช่องใส่ชุดทดสอบให้บริเวณແຄบสีอยู่ตำแหน่งเดียวกับเลนส์มูน ส่วนบริเวณด้านข้างของกล้องออกแบบที่ยึดกับแหล่งกำเนิดแสงทำมุม 45° กับระนาบชุดทดสอบ วาง Diffuser ไว้ที่หน้าแหล่งกำเนิดแสง เพื่อให้แสงนุ่มและกระจายตัวอย่างสม่ำเสมอ

เนื่องจากแอปพลิเคชันถ่ายภาพของกล้องโทรศัพท์บนระบบปฏิบัติการ iOS ไม่สามารถตั้งค่า参数มิเตอร์ต่าง ๆ ในการถ่ายภาพได้ ผู้วิจัยจึงเลือกใช้แอปพลิเคชัน ProCam3 เป็นแอปพลิเคชันในการถ่ายภาพ ซึ่งแอปพลิเคชันดังกล่าวสามารถตั้งค่า参数มิเตอร์ในการรับภาพของกล้องได้ เช่น Exposure time, Focus, White balance เป็นต้น



รูปที่ 3.5 (ก) การจัดอุปกรณ์ของเครื่องอ่านແฉบสีชุดทดสอบโดยใช้กล้องโทรศัพท์แบบพกพาเป็นอุปกรณ์รับภาพ อุปกรณ์ที่ใช้ประกอบด้วย กล้องรับภาพ ไดโอดเปล่งแสงสีเขียวแบบแคลyahaw (Line light source) และช่องใส่ชุดทดสอบ (ล) ต้นแบบภาคสนามของเครื่องอ่านແฉบสีชุดทดสอบ และ (ก) หน้าจอแสดงภาพແฉบสีชุดทดสอบ โดยใช้เครื่องอ่านແฉบสีจากกล้องโทรศัพท์แบบพกพา

เมื่อต้องการอ่านค่าແฉบสี จะใช้ต้นแบบที่พัฒนาขึ้นถ่ายภาพอ้างอิง ภาพเมื่อปิดแหล่งกำเนิดแสง และภาพเมื่อเกิดແฉบสีชุดทดสอบ ส่างข้อมูลภาพดังกล่าวไว้ไปที่คอมพิวเตอร์เพื่อประมวลผลภาพของเครื่องต้นแบบใช้โทรศัพท์แบบพกพาเป็นอุปกรณ์ถ่ายภาพ จะใช้โปรแกรมคอมพิวเตอร์ที่เขียน

ขึ้นโดยใช้ LabVIEW 2013 ในการประมวลผลเช่นเดียวกับต้นแบบในหัวข้อที่ 3.1 ในอนาคตสามารถเขียนแอปพลิเคชันสำหรับประมวลผลภาพได้โดยตรง โดยไม่ต้องนำภาพที่ได้จากโทรศัพท์ไปประมวลผลด้วยคอมพิวเตอร์ และกราฟ Line profile หาได้จากการเพล็อกค่าการสะท้อนแสงจากตำแหน่งบนชุดทดสอบแสดงดังสมการที่ 3-1

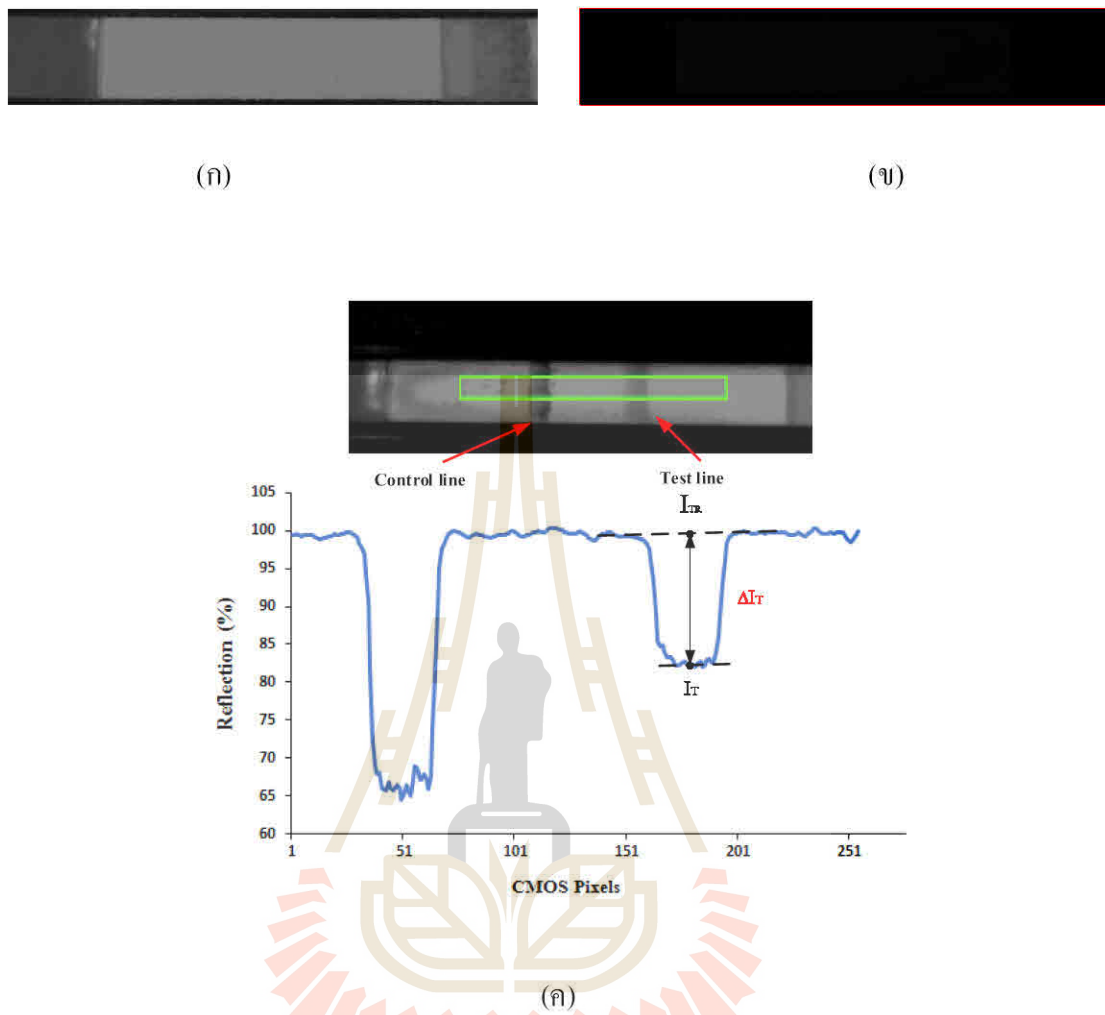
3.4 การคำนวณค่าการสะท้อนแสงแบบ Line profile

กราฟ Line profile เป็นค่าการสะท้อนแสงที่ตำแหน่งต่าง ๆ บนชุดทดสอบ หาได้จากขั้นตอนต่อไปนี้

ขั้นตอนแรกใส่ชุดทดสอบที่ยังไม่ได้ใช้งานเข้าไปในเครื่องอ่านແൺสี ทำการสร้าง Region of interest (ROI) ขนาด 33×334 พิกเซล บนบริเวณกึ่งกลางชุดทดสอบ โดยให้ครอบคลุมบริเวณที่จะเกิดแอบสีทึบสอง เมื่อใส่ชุดทดสอบที่ยังไม่ได้ใช้งานเข้าไปในเครื่อง บันทึกค่าภาพอ้างอิง (Reference image) และบันทึกภาพเมื่อปิดแหล่งกำเนิดแสง (Dark image)

ใส่ชุดทดสอบที่ต้องการวิเคราะห์เข้าไปในช่องเสียงชุดทดสอบ จัดตำแหน่งให้ครบ ควบคุมและແນບทดสอบอยู่ตรงกลาง และจัดให้ ROI ที่สร้างก่อนหน้าให้ครอบคลุมแอบสีทึบสอง กราฟ Line profile จะปรากฏขึ้นที่หน้าจอแสดงผล ซึ่งแสดงค่าการสะท้อนแสงที่ตำแหน่งต่าง ๆ บนชุดทดสอบที่ได้จากสมการที่ (3-1) จากนั้นบันทึกค่ากราฟ Line profile เพื่อนำข้อมูลไปวิเคราะห์ต่อ

เมื่อได้กราฟค่า Line profile แล้ว ขั้นตอนต่อไปคือการคำนวณหาค่าการสะท้อนแสงที่ลดลงที่ແນບทดสอบ (ΔI_T) ซึ่งค่าการสะท้อนแสงดังกล่าวจะสัมพันธ์กับความเข้มข้นของสารที่ต้องการวัดในสาร ค่า ΔI_T คำนวณจากผลต่างระหว่างความเข้มแสงอ้างอิงที่ตำแหน่งต่างๆ บนชุดทดสอบ ($I_{TR}(x)$) กับความเข้มแสงที่อุดลูมเมื่อเกิดແນບสี ($I_T(x)$) ดังรูปที่ 3.6 จากราคาการทดลองที่ผ่านมาผู้วิจัยพบว่า ลักษณะเด่นกราฟ Line profile บริเวณที่ไม่เกิดเคนสีบางครั้งจะเอียงจากซ้ายไปขวา หรือจากขวาไปซ้าย ซึ่งเป็นผลเนื่องมาจากการที่วัสดุทั่วไปอย่างพืชสีเขียวติดตัวอยู่ในชุดทดสอบ



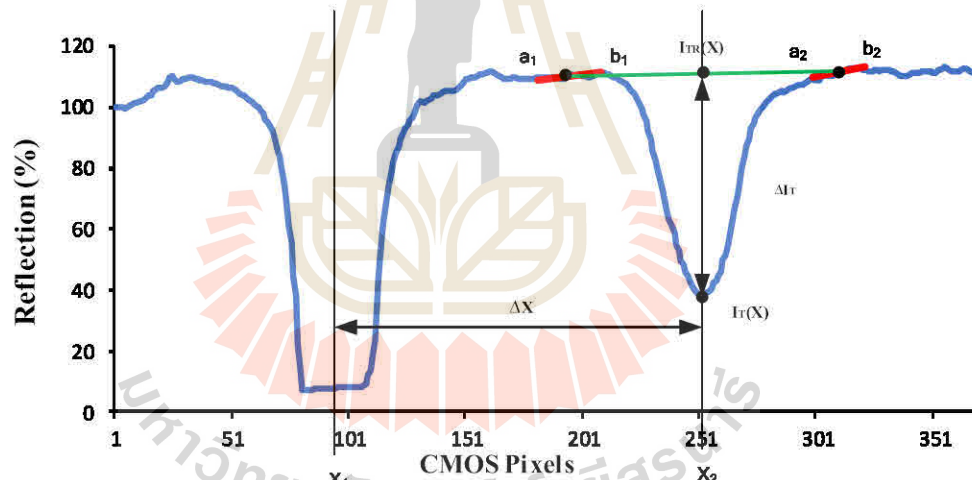
รูปที่ 3.6 (η) ภาพอ้างอิง (ψ) ภาพเมื่อปิดแหล่งกำเนิดแสง และ (κ) กราฟ Line profile ค่าการสะท้อนแสงที่ลดลงที่ตำแหน่งแนบทดสอบ (ΔI_T) โดยวัดเทียบกับเส้นอ้างอิงคือ ค่าการสะท้อนแสงที่ตำแหน่งเมื่อไม่เกิดแอบสี สัมพันธ์กับความเข้มข้นของสารตัวอย่างที่ต้องการวัด

3.5 โปรแกรมคอมพิวเตอร์สำหรับคำนวณหาตำแหน่งแนบทดสอบและค่า ΔI_T
 การประมวลผลภาพจากภาพถ่ายชุดทดสอบแบบออโต้โฟกัสเพื่อหาตำแหน่งแนบทดสอบ และค่า ΔI_T ได้เขียนโปรแกรมคอมพิวเตอร์เพื่อให้การคำนวณค่าการสะท้อนแสงที่ลดลงที่แนบทดสอบทำได้อัตโนมัติ

รูปที่ 3.7 เป็นการคำนวณหาค่า ΔI_T ที่ແນບทดสอบจากกราฟ Line profile เนื่องจาก $\Delta I_T = I_{TR}(x) - I_T(x)$ การหาค่าดังกล่าวโปรแกรมต้องทราบตำแหน่งของແນບทดสอบ (X_1) สำหรับชุดทดสอบแต่ละชุดระยะห่างระหว่างตำแหน่งของແນບความคุณ (X_1) กับตำแหน่งແນບทดสอบจะมีค่าเท่าเดิม (ΔX) ซึ่งค่าระยะห่างระหว่างແນບสามารถหาได้จาก การวัดระยะห่างระหว่างແນບความคุณ และແນບทดสอบจากชุดทดสอบที่ปรากฏบนสีชัดเจนหลายๆ ชุด นำมาหาค่าเฉลี่ย (กรณีชุดทดสอบซึ่งแบนค์ที่เรียก Aac ที่ใช้ในงานวิจัยนี้ $\Delta X = 0.6 \pm 0.2$ cm. หรือเทียบเท่ากับ $\Delta X = 155 \pm 1.5$ พิกเซล)

การหาตำแหน่งของແນບทดสอบ เริ่มจากการหาตำแหน่งແນບความคุณก่อน เนื่องจากແນບความคุณจะเกิดขึ้นทุกครั้งและมีແບນสีชัดเจน ถ้าชุดทดสอบยังใช้งานได้ปกติ เมื่อทราบตำแหน่งແນບความคุณแล้ว สามารถหาตำแหน่งของແນບทดสอบได้จาก $X_2 = X_1 + \Delta X$

ขั้นตอนการคำนวณหาค่าตำแหน่งของແນບทดสอบ และ ΔI_T แสดงดังรูปที่ 3.8

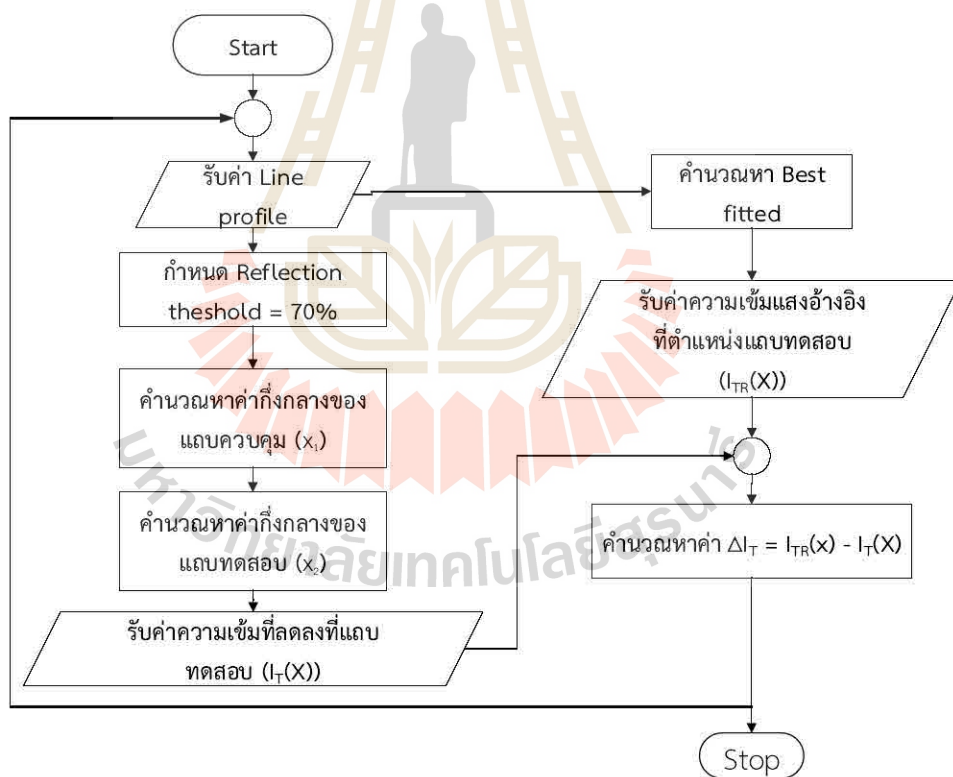


รูปที่ 3.7 การหาตำแหน่งของແນບทดสอบ และค่า ΔI_T ที่ແນບทดสอบอัตโนมัติ

กำหนด $\text{Reflection threshold} = 70\%$ ในการหาตำแหน่งແນບความคุณ คำนวณหาตำแหน่งกึ่งกลางของແນບความคุณ (X_1) โดยคำนวณหาค่ากึ่งกลางระหว่าง Threshold ที่เลือกไว้ ต่อมา คำนวณหาตำแหน่งกึ่งกลางແນບทดสอบ (X_2) กำหนดเป็น $X_2 = X_1 + \Delta X$ ซึ่งค่า ΔX คือระยะห่างระหว่างແນบที่ได้ทำการวัดมาก่อนหน้า กำหนดช่วงบริเวณรอบ ๆ ແນບทดสอบ ช่วงบริเวณ a_1 ถึง b_1

และช่วง a_2 ถึง b_2 (รูปที่ 3.7) ซึ่งแต่ละช่วงกว้างประมาณ 30 pixels โดยเลือกจากบริเวณที่ไม่เกิดແນບສີ เมื่อได้ระบบท่าง ๆ ดังที่กล่าวมาแล้วคำนวณหาเส้นตรงที่ดีที่สุด (Best fitted) โดยใช้ข้อมูลในช่วง a_1 ถึง b_1 และ a_2 ถึง b_2 เส้น Best fitted ดังกล่าวหมายถึงค่าการสะท้อนแสงเมื่อไม่เกิดສີที่ແນບทดสอบ จากเส้นตรงดังกล่าวคำนวณหาค่าการสะท้อนแสงเมื่อไม่เกิดແນບສີที่ແນບทดสอบ ($I_{TR}(x)$) ที่บริเวณ กึ่งกลางของແນບทดสอบ ($X = X_2$) แล้วคำนวณหาค่าการสะท้อนแสงที่วัดได้ที่ແນບทดสอบ ($I_T(x)$) ที่ตำแหน่ง $X = X_2$ คำนวณหาค่า ΔI_T ที่ແນບทดสอบจากสมการ $\Delta I_T = I_{TR}(X) - I_T(X)$

เมื่อได้ค่าระบบท่าง ๆ ดังที่กล่าวมาแล้ว ก็สามารถนำไปวิเคราะห์กับชุดทดสอบที่ต้องการ วิเคราะห์ เทคนิคการประมวลผลข้อมูลที่พัฒนาขึ้นนี้ดังรูปที่ 3.8 สามารถลดความไม่แน่นอนในการ หาค่า ΔI_T ซึ่งเป็นผลเนื่องมาจากการน้ำตัวอย่างพืชสีเขียวติดค้างอยู่ในชุดทดสอบ ทำให้ลักษณะ เส้นกราฟบริเวณที่ไม่เกิดແນບສີบางครั้งจะเอียงจากซ้ายไปขวา หรือเอียงจากขวาไปซ้ายได้



รูปที่ 3.8 Flow chart การทำงานของโปรแกรมหาตำแหน่งของແນບทดสอบ และค่า ΔI_T ที่ແນບทดสอบอัตโนมัติ

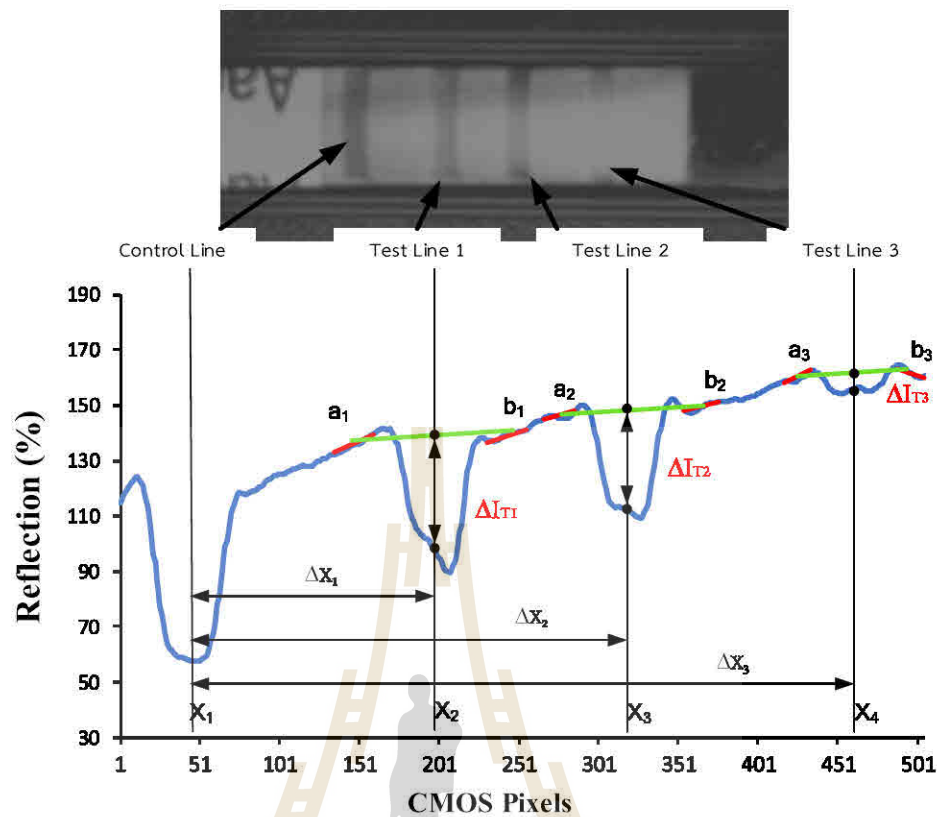
3.6 การพัฒนาเครื่องอ่านแอบสีแบบ Multiplex

ปัจจุบันได้มีการพัฒนาชุดทดสอบอย่างง่ายแบบหดเหลว (Multiplex lateral flow immunochromatographic assays) เพื่อให้สามารถตรวจได้หลายสารพร้อมกัน (Chen et al. 2016; Sajid et al. 2015) รวมทั้งชุดตรวจสอบโรคพืชที่พัฒนาโดย ดร. อรประไพบูลย์ คงนนท์ และคณะ ศูนย์ พันธุ์วิศวกรรมและเทคโนโลยีชีวภาพ สามารถตรวจเชือบแอบสีที่เรียกว่า “Multiplex lateral flow immunochromatographic assays” ซึ่งทำให้แอบสีที่เกิดขึ้นมีมากกว่า 2 แอบสี จากการทดสอบพบว่า เครื่องอ่านแอบสีชุดทดสอบที่พัฒนามาถูกออกแบบมาเพื่อให้สามารถใช้กับชุดทดสอบแบบ Multiplex ได้ แต่ ต้องพัฒนาโปรแกรมที่ใช้ในการคำนวณหาตำแหน่งแอบสีของชุดทดสอบและค่า ΔI_T แบบหดเหลวแอบสี ซึ่งเพื่อให้การคำนวณค่าการสะท้อนแสงที่ลดลงที่แอบสีของชุดทดสอบทำอัตโนมัติ และเพื่อสะดวกในการใช้งาน

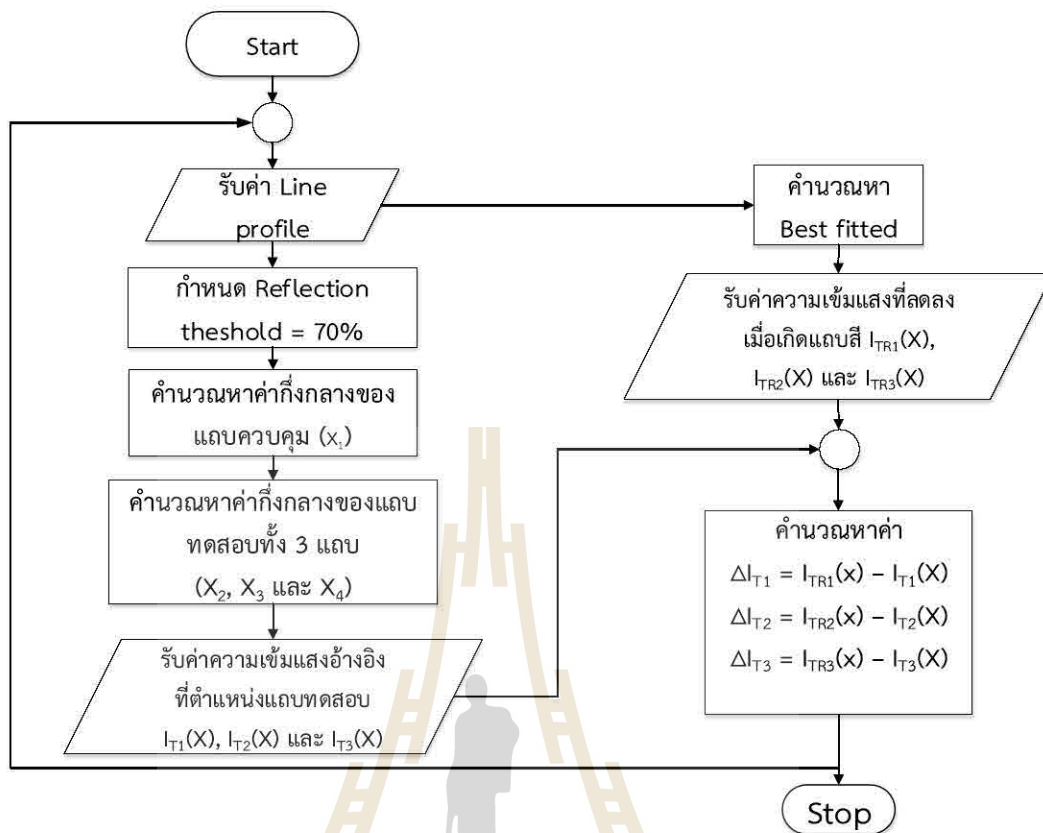
กราฟ Line profile ที่อ่านได้จากชุดทดสอบแบบ Multiplex ซึ่งชุดทดสอบดังกล่าวจะมี 4 แอบสี ประกอบด้วย แอบสีควบคุม 1 แอบสี และแอบสีควบคุมอีก 3 แอบสี

การหาตำแหน่งแอบสีของชุดทดสอบทั้ง 3 แอบสี (X_2, X_3, X_4) รวมทั้งตำแหน่งของแอบสีควบคุม (X_1) จะใช้หลักการเดียวกันกับการวัดระยะห่างแอบสีที่มี 2 แอบสี ทั้งนี้ต้องวัดระยะห่างแอบสีควบคุมกับแอบสีที่ 1 (ΔX_1) ระยะห่างแอบสีควบคุมกับแอบสีที่ 2 (ΔX_2) และระยะห่างแอบสีควบคุมกับแอบสีที่ 3 (ΔX_3) กรณีชุดทดสอบที่ใช้ในงานวิจัยนี้พบว่า $\Delta X_1 = 3.3 \text{ mm}$. หรือ เทียบเท่ากับ $\Delta X_1 = 155 \text{ พิกเซล}$, $\Delta X_2 = 6.3 \text{ mm}$. หรือเทียบเท่ากับ $\Delta X_2 = 275 \text{ พิกเซล}$ และ $\Delta X_3 = 9.5 \text{ mm}$. หรือเทียบเท่ากับ $\Delta X_3 = 420 \text{ พิกเซล}$ ดังรูปที่ 3.9

เมื่อได้ค่าระยะต่าง ๆ ดังที่กล่าวมาแล้ว นำไปวิเคราะห์กับชุดทดสอบที่แบบ Multiplex ซึ่ง เทคนิคการประมวลผลข้อมูลที่พัฒนาขึ้นนี้ ขั้นตอนการคำนวณหาค่าตำแหน่งแอบสีของชุดทดสอบ และ ΔI_T แสดงดังรูปที่ 3.10



รูปที่ 3.9 การหาตำแหน่งของเดินทดสอบ และค่า ΔI_T ที่แยกทดสอบอัตโนมัติ สำหรับชุดทดสอบ Multiplex



รูปที่ 3.10 Flow chart การทำงานของปั๊มแกรมมาทำแบบหานองของแคบทดสอบ และค่า ΔI_T ที่แยกทดสอบ
อัตโนมัติ

111112-4

การทดสอบและผลการทดสอบ

การทดลองของเครื่องอ่านแคนสีชุดทดสอบที่ผู้วิจัยพัฒนาขึ้นมาในบทที่ 3 จะใช้งานกับชุดทดสอบอย่างง่ายๆ รวดเร็ว ก่อโรคพืชในกลุ่มแตง ชุดตรวจสอบดังกล่าวพัฒนาโดย ดร. อรประไพบูลย์ คงนันท์ และคณะ สูญญพันธุ์วิศวกรรมและเทคโนโลยีชีวภาพ ผลการทดสอบพบว่าเครื่องอ่านแคนสีชุดทดสอบที่พัฒนาขึ้นมีประสิทธิภาพเดียวกับตาเปล่า และสามารถนำไปใช้งานจริงได้ นอกจากนี้ยังได้วิเคราะห์ถึงผลกระทบพารามิเตอร์ต่าง ๆ ของกล้อง เช่น Contrast, Exposure time หรือ Gain เป็นต้น เนื่องจากยังไม่ได้มีการศึกษามาก่อนหน้านี้ถึงการปรับค่าพารามิเตอร์ดังกล่าวว่าส่งผลกระทบต่อการวัดความเข้มแสงหรือไม่ ดังนั้นในบทนี้จะทำการทดสอบเพื่อเป็นการยืนยันผลความยาวคลื่นและมุมตากกระทบของแหล่งกำเนิดแสง และผลกระทบจากการปรับค่าพารามิเตอร์ต่าง ๆ ของกล้อง

4.1 ตัวอย่างที่ใช้ในการทดลอง

4.1.1 ชุดตรวจโรคผลไม้เบكنيเรียที่เกิดจากเชื้อ *Acidovorax avenae* subsp.*citrulli*

การพัฒนาเครื่องมืออ่านແລນສີ ສໍາຫວັນງານວິຊຍືນນີ້ ຈະອອກແບບສໍາຫວັນໃຫ້ງານກັນຫຼຸດ
ตรวจໂຄຜລເນຳແບບຄືທີ່ເຮັດວຽກພົມຕະກູລແຕ່ງເປັນຫຼຸດຕຽບແບບຍ່າຍໃນຮູ້ປ່າເນັນ

Immuno chromatographic strip test ใช้ตรวจเชื้อแบคทีเรีย *Acidovorax avenae* subsp.*citrulli* (*Aac*) ที่เป็นสาเหตุของโรคผลเน่นเบกท์เรียของพืชตระกูลแตง ซึ่งเป็นปัจจัยสำคัญในการผลิตและส่งออกเมล็ดพันธุ์ของพืชในกลุ่มนี้ ชุดตรวจนี้มีความจำเพาะสูง แม่นยำ ใช้เวลาตรวจเร็วภายใน 5-10 นาที

ชุดตรวจสอบดังกล่าวพัฒนาโดย ดร. อรประไฟ คงนันท์ และคณะ ศูนย์พันธุ์
วิศวกรรมและเทคโนโลยีชีวภาพ สามารถตรวจหาเชื้อสาเหตุได้จากตัวอย่างใน ต้นกล้า และเปลือก
ของผล ใช้ตรวจคัดกรองโพรตอลเน่าแบคทีเรียในพืชตระกูลแตงเช่น แตงโม เมล่อน ถั่วอ้อช แคนดา
ลุป แตงกวา และฟักทอง เป็นต้น

การตรวจโรคมีประโภชน์ในด้านการศึกษาด้านระบบวิทยา การจัดการควบคุมโรค และการตรวจคัดกรองโรคผลเน่าแบนคือเรียเพื่อรับรองความปลอดเชื้อเมื่อมีการส่งออกเมล็ดพันธุ์พืชตระกูลแตง ชุดตรวจสอบนี้พัฒนาโดยศูนย์พันธุ์วิศวกรรมและเทคโนโลยีชีวภาพแห่งชาติ กรมวิชาการเกษตร และมหาวิทยาลัยขอนแก่น ผลการทดสอบเมื่อสารตัวอย่างมีเชื้อแบคทีเรีย Aac แสดงดังรูปที่ 4.1 (ค) ซึ่งจะพบว่าเกิดแคนส์ 2 แคน การเตรียมตัวอย่างเชื้อแบคทีเรียสำหรับทดสอบได้รับความอนุเคราะห์ จาก ดร. อรวรรษ พิมานันโน ศูนย์พันธุ์วิศวกรรมและเทคโนโลยีชีวภาพ



(ก)



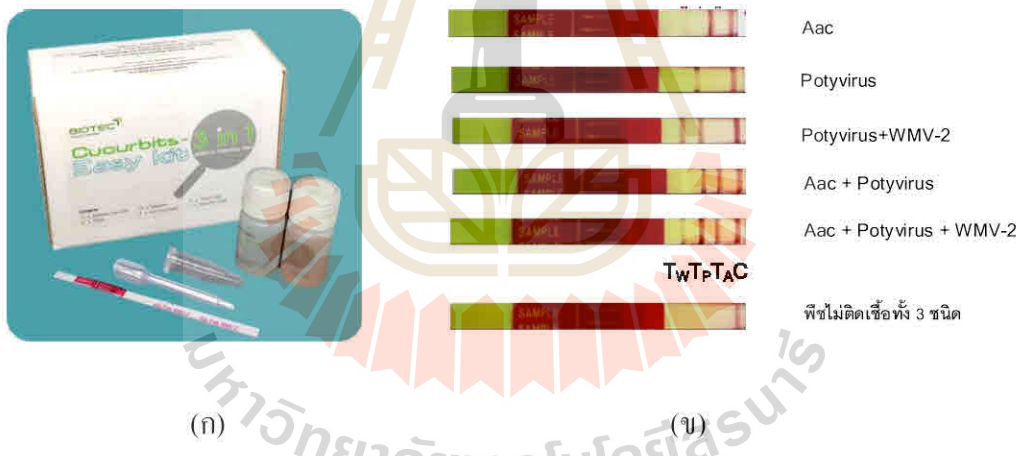
(ข)

(ค)

รูปที่ 4.1 (ก) ชุดตรวจสอบโรคผลเน่าแบนคือที่เกิดจากเชื้อ *Acidovorax avenae* subsp.*citrulli* (Aac) (ข) ชุดทดสอบยังไม่ได้ใช้งาน และ (ค) ชุดทดสอบที่มีการใช้งานแล้ว (ศูนย์พันธุ์วิศวกรรมและเทคโนโลยีชีวภาพแห่งชาติ)

4.1.2 ชุดตรวจโรคผลไม้เบรคทีเรียแบบตรวจวัดพร้อมกัน (Multiplex detection)

การพัฒนาต้นแบบชุดตรวจแบบรวดเร็วในรูปแบบ Immunochromatographic strip test เพื่อตรวจเชื้อก่อโรคพืชในกลุ่มแตง 3 ชนิดให้ได้ในคราวเดียวกัน (Multiplex detection) ได้แก่ เชื้อ Watermelon mosaic virus-2 (WMV-2) เชื้อ Potyvirus และ เชื้อ Acidovorax avenae subsp. *citrulli* (*Aac*) ชุดตรวจนี้วินิจฉัยเชื้อก่อโรคพืชที่มีความแม่นยำสูง และสามารถตรวจโรคหลายๆ ชนิดในคราวเดียวกัน โดยชุดตรวจที่พัฒนาขึ้นมีความจำเพาะเจาะจงต่อเชื้อ Potyvirus, WMV-2 และ *Aac* ซึ่งจะไม่ทำปฏิกิริยาข้ามกัน และไม่ทำปฏิกิริยาข้ามเชื้อไวรัสหรือแบคทีเรียก่อโรคพืชชนิดอื่น ๆ มีความไวเพียงพอในการตรวจเชื้อในตัวอย่างพืชเป็นโรค (ข้อมูลจาก ดร.อรวรรษ พิมานัน โภ) รู้ผลภายใน 10 นาที ชุดตรวจสอบดังกล่าวพัฒนาโดย ดร. อรประไพบูลย์ พันธุ์และคณะ สูนย์พันธุวิศวกรรมและเทคโนโลยีชีวภาพ ผลการทดสอบเมื่อสารตัวอย่างเชื้อก่อโรคพืชในกลุ่มแตง แสดงดังรูปที่ 4.2



รูปที่ 4.2 (ก) ชุดตรวจแบบรวดเร็วสำหรับตรวจเชื้อก่อโรคในพืชตระกูลแตง 3 ชนิด ได้ในคราวเดียวกัน และ (ข) ตัวอย่างชุดทดสอบที่มีการใช้งานแล้ว แบบ T_A หมายถึงเชื้อ *Acidovorax avenae* subsp. *Citrulli*, แบบ T_p หมายถึงเชื้อ *Potyvirus*, และ T_w หมายถึง *Watermelon mosaic virus-2* และ Control line (สูนย์พันธุวิศวกรรมและเทคโนโลยีชีวภาพแห่งชาติ)

4.2 วิธีการทดสอบ

เมื่อผู้ใช้ได้ทำการทดสอบชุดทดสอบแบบแอลเอฟເອເທີ່ຕ້ອງວິເຄຣະຫົວເລີ່ມຮ້ອຍແລ້ວ¹ หลังจากรอให้เกิดແຜນສີປະມາມ 15 ນາທີທີ່ແຜນຄວນຄຸມແລະແຜນທົດສອນ ທຶ່ງຈຸດທົດສອນໄວ້ປະມາມ 2-5 ນາທີ ຈາກນີ້ໃຊ້ເຄື່ອງອ່ານແຜນສີວິເຄຣະຫົວໜີ ທີ່ຈະສາມາດທຳຕາມໄດ້ຈາກບັນຫຼອນຕໍ່ໄປນີ້

- ขั้นตอนที่ 1 ใส่ชุดทดสอบที่ยังไม่ได้ใช้งานเข้าไปในเครื่องอ่านແຄบสี สร้าง ROI วางไว้กึ่งกลางชุดทดสอบ

ขั้นตอนที่ 2 บันทึกค่าภาพอ้างอิง (Reference image) ทำการปิดแหล่งกำเนิดแสง และบันทึกค่าภาพเมื่อปิดแหล่งกำเนิดแสง (Dark image)

ขั้นตอนที่ 3 ใส่ชุดทดสอบที่ต้องการวิเคราะห์เข้าไปในช่องเสียบชุดทดสอบ จัดตำแหน่งให้ແຄบความคุณและແຄบทดสอบอยู่กึ่งกลาง ROI ที่สร้างขึ้นมา ก่อนหน้า

ขั้นตอนที่ 4 กราฟ Line profile ซึ่งแสดงค่าการสะท้อนแสงที่ตำแหน่งต่าง ๆ บนชุดทดสอบค่าการสะท้อนแสงที่อ่านได้ในขั้นตอนนี้เป็นค่าที่คำนวณจากสมการที่ (3-1) และการคำนวณค่าการสะท้อนแสงที่ลดลงที่ตำแหน่งแยกทดสอบ (ΔL_p) จะปรากฏขึ้นที่หน้าจอ

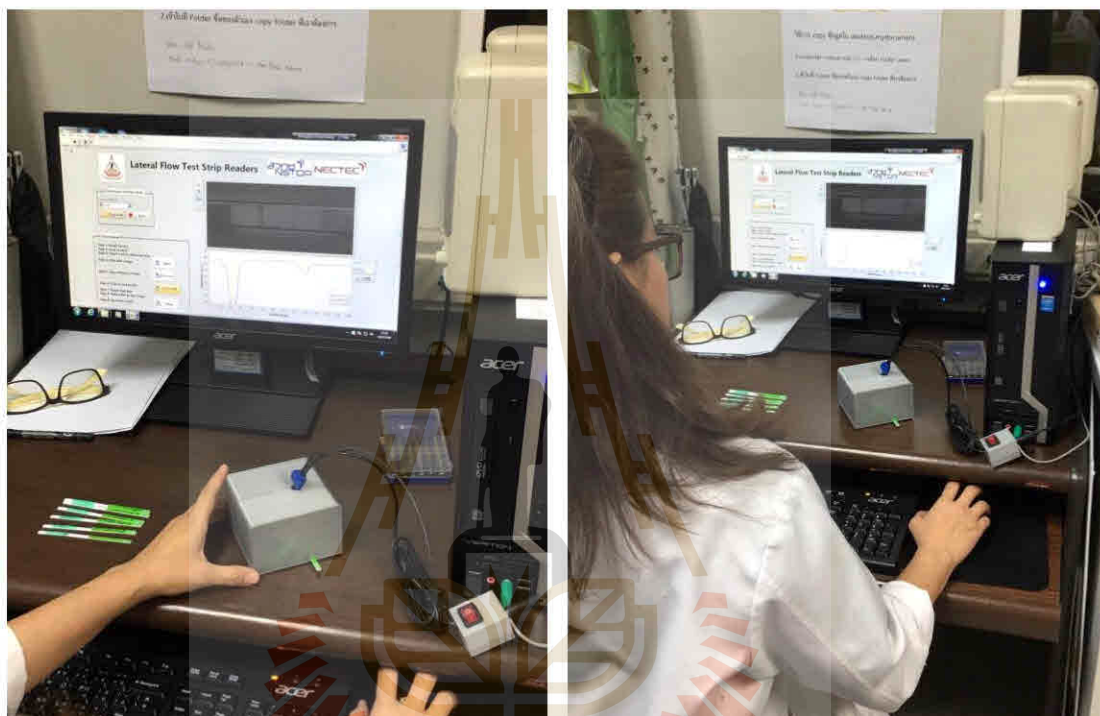
ขั้นตอนที่ 5 บันทึกค่ากราฟ Line profile เพื่อนำข้อมูลไปวิเคราะห์

การทดลองสำหรับเครื่องอ่านโดยใช้โทรศัพท์แบบพกพาเป็นอุปกรณ์รับภาพ มีขั้นตอนการทดลองเหมือนกับการทดลองที่กล่าวมาข้างต้น ต่างกันเล็กน้อยตรงที่ เมื่อใช้เครื่องอ่านบันทึกภาพ ถนนสีจะทดสอบแล้ว ต้องส่งข้อมูลภาพไปประมวลผลต่อที่คอมพิวเตอร์

4.3 การคำนวณหาค่าความเข้มข้นต่ำสุดที่วัดได้ (Detection limit)

ในงานวิจัยนี้ใช้ตัวอย่างชุดทดสอบโรคพีชจำนวน 6 ความเข้มข้น ที่มีความเข้มข้น เท่ากับ 1×10^5 , 5×10^5 , 1×10^6 , 5×10^6 , 1×10^7 และตัวอย่างพืชที่ไม่เป็นโรค (*Healthy*) ขั้นตอนการใช้ชุดทดสอบ ขั้นแรกเตรียมใบพีชใส่ลงในถุง และคุณบัพเฟอร์ให้เต็มหลอดคุณที่เตรียมให้ ใส่ลงในถุง 2 ครั้ง (ประมาณ 2.5 ml) บดใบพีชจนละเอียดและใช้หลอดคุณเคลพะส่วนน้ำใส ควรระวังไม่ให้กาก

ใบพืชปนมาด้วย จากนั้นนำน้ำคืนใบพืชใส่ลงในหลอดที่เตรียมไว้ให้ (ประมาณ 0.25 ml) อย่าให้เกินขีดขาวของหลอดทดลอง แล้วนำชุดตรวจจุ่มลงในน้ำคืนใบพืชแล้วทิ้งไว้ 5 – 10 นาที และอ่านผลทดสอบโดยใช้ชุดทดสอบลงในเครื่องอ่านແຄบสีที่พัฒนาขึ้นเพื่ออ่านค่าແຄบสี ทำการทดลองซ้ำ 5 ครั้ง ดังรูป 4.3



รูปที่ 4.3 การใช้งานเครื่องอ่านແຄบสีชุดทดสอบที่ผู้วิจัยพัฒนาขึ้น สำหรับชุดตรวจโรคผลเน้าแบนค์ที่เรียบง่ายพื้นฐาน ณ ศูนย์พันธุวิศวกรรม และเทคโนโลยีชีวภาพแห่งชาติในการอ่านค่าແຄบสีที่เกิดบนชุดทดสอบ ผู้ใช้ต้องกำหนด ROI ให้ครอบคลุมແคนความคุณและແຄบทดสอบ

เมื่อพล็อตกราฟระหว่างค่าเฉลี่ยความเข้มแสงภายใน ROI กับระยะทางตามแนวของชุดทดสอบจะได้กราฟ Line profile วัดค่าความเข้มแสงที่ลดลงที่บริเวณกึ่งกลางແຄบทดสอบ (ΔI_T) สำหรับแต่ละความเข้มข้น คำนวณหาค่าเฉลี่ยของความเข้มแสงที่ลดลงขณะค่าเบี่ยงเบนมาตรฐานจากการทดลอง 5 ครั้ง หากค่าความเข้มข้นของสารตัวอย่างน้อยที่สุดที่สามารถวัดได้ด้วยเครื่องมือนี้

(Detection limit) โดยใช้ ниยามเท่ากับค่าการสะท้อนแสงที่วัดได้จากตัวอย่างพืชที่ไม่เป็นโรค vulgar กับ 3σ เท่าของค่าเบี่ยงเบนมาตรฐาน (σ) ที่วัดได้จากตัวอย่างพืชที่ไม่เป็นโรค ($\Delta I_{Tmin} = \Delta I_{THealthy} + 3\sigma$)

4.4 การปรับเวลาในการรับภาพของกล้อง (Exposure time)

การทดลองศึกษาผลการปรับพารามิเตอร์ของกล้อง ต่อค่าการสะท้อนแสงที่แอบทดสอบในช่วงแรกของการศึกษาจะตั้งค่าพารามิเตอร์ต่าง ๆ บนซอฟต์แวร์ของกล้องเว็บแคม (Logitech webcam software) และซอฟต์แวร์ของกล้องโทรศัพท์แบบพกพา (ProCam app) ให้คงที่ แต่จะทำการปรับค่า Exposure time ของกล้องตั้งแต่น้อยไปมาก เมื่อได้ข้อสรุปที่ชัดเจนแล้ว จึงจะนำผลการศึกษาที่ได้ไปปรับใช้กับเครื่องอ่านแคนถี การกำหนดค่าพารามิเตอร์ต่าง ๆ ของกล้องกำหนดดังต่อไปนี้

การตั้งค่าพารามิเตอร์ของกล้องเว็บแคม:

- Gain = 16
- Brightness = 50%
- Contrast = 15%
- Exposure times = 0.015, 0.031, 0.0625, 0.125 และ 0.25 s

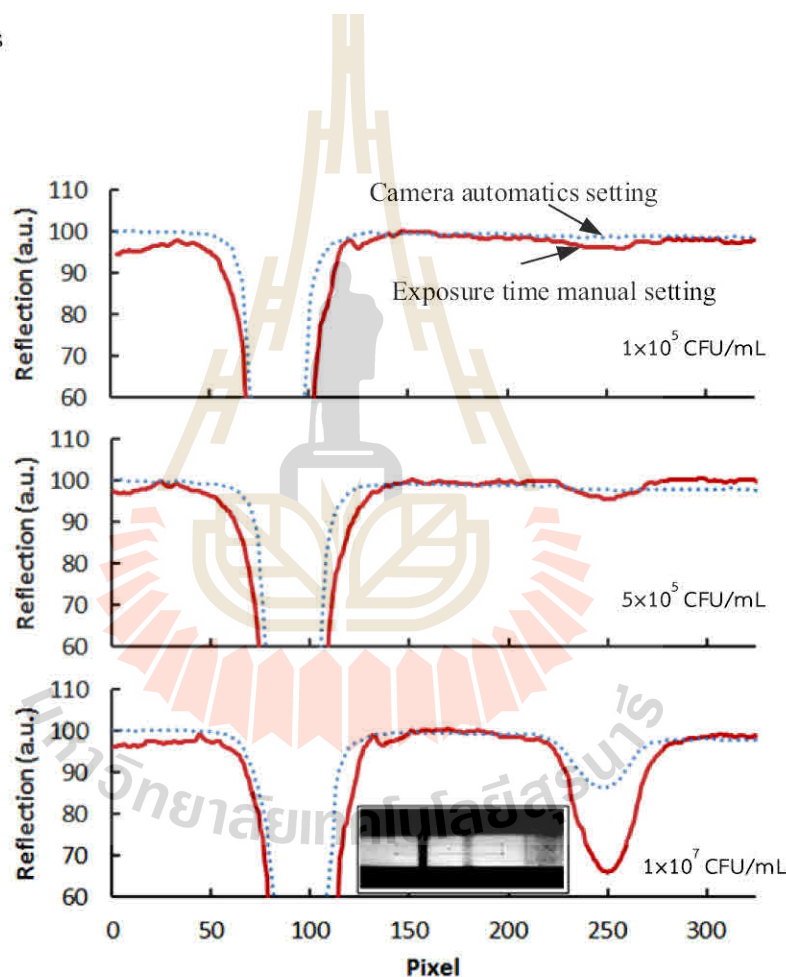
การตั้งค่าพารามิเตอร์ของกล้องโทรศัพท์แบบพกพา:

- ISO = 100
- Focus = 0.96
- White balance = 5200 K
- Exposure time = 0.004, 0.008, 0.0167, 0.022, 0.067 s

กล้องแต่ละตัวจะทำการปรับค่าพารามิเตอร์ได้ไม่เหมือนกัน หันนี้ขึ้นอยู่กับประสิทธิภาพของกล้องที่ใช้

4.5 ผลการทดลองเบื้องต้น

ในช่วงแรกของการพัฒนาเครื่องอ่านแคนบีชุดทดสอบอย่างง่าย พนวจเมื่อตั้งค่า Exposure time หรือเวลาในการรับแสงของกล้องรับภาพ ให้สั้นกว่าค่าที่ซอฟต์แวร์ของกล้องเลือกให้ (Automatic setting) จะทำให้ภาพแคนบีชุดทดสอบมีคลัง แต่ให้ความเข้มแสงที่ ΔI_T ที่แคนบีชุดทดสอบกลับให้ผลลัพธ์ที่ดีกว่าค่าที่ซอฟต์แวร์เลือกให้ ดังรูปที่ 4.4 ซึ่งการตั้งค่า Exposure time ของกล้องมีคลังกว่าปกติในการถ่ายภาพที่เรียกว่า Under exposure นั้นอาจทำให้ได้ค่า Detection limit ดีกว่า ทั้งนี้ซอฟต์แวร์ของกล้องรับภาพจะเลือกค่า Exposure time ที่ทำให้ภาพมีความชัดเจน หรือเรียกว่าภาพแบบ Midtones



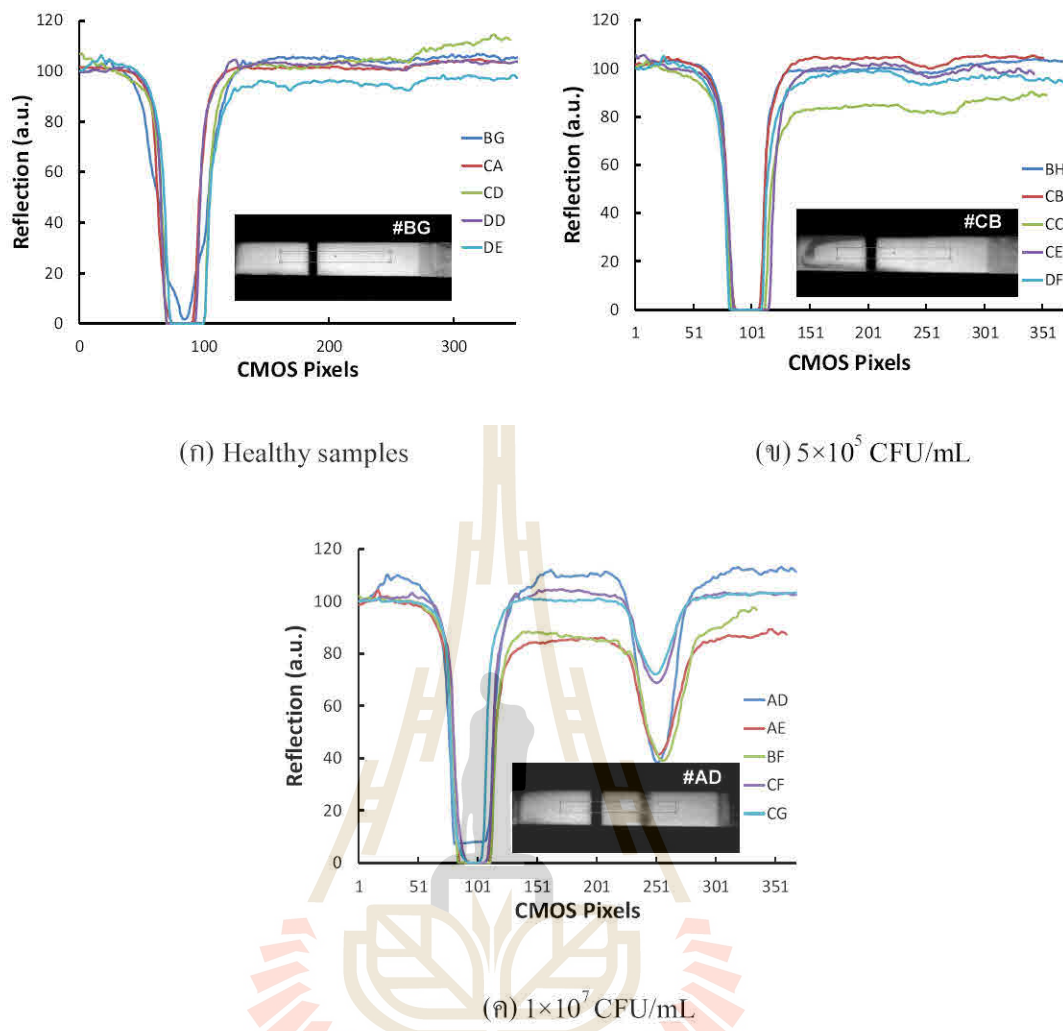
รูปที่ 4.4 Line profile ของภาพถ่ายแคนบีชุดทดสอบเปรียบเทียบระหว่างภาพที่ตั้งค่า Exposure time แบบ Under exposure กับภาพ Automatic settings ของชุดทดสอบเชื้อ Aac ที่ความเข้มข้น 1×10^5 CFU/mL, 5×10^5 CFU/mL และ 1×10^7 CFU/mL ตามลำดับ

แม้ว่าจะยังไม่ทราบเหตุผลที่ชัดเจนว่าทำไหในการตั้งค่า Exposure time แบบ Under exposure ให้ผลการวัดค่าความเข้มแสงจากแอบนทดสอบดีกว่า ผู้วิจัยจะใช้การตั้งค่ากล้องรับภาพดังกล่าวในการหาค่า Detection limit ของเครื่องอ่านแอบนสีชุดทดสอบที่พัฒนาขึ้นเมื่อใช้กับชุดทดสอบ เพื่อนำไปเปรียบเทียบกับผลการวัดด้วยตาเปล่า

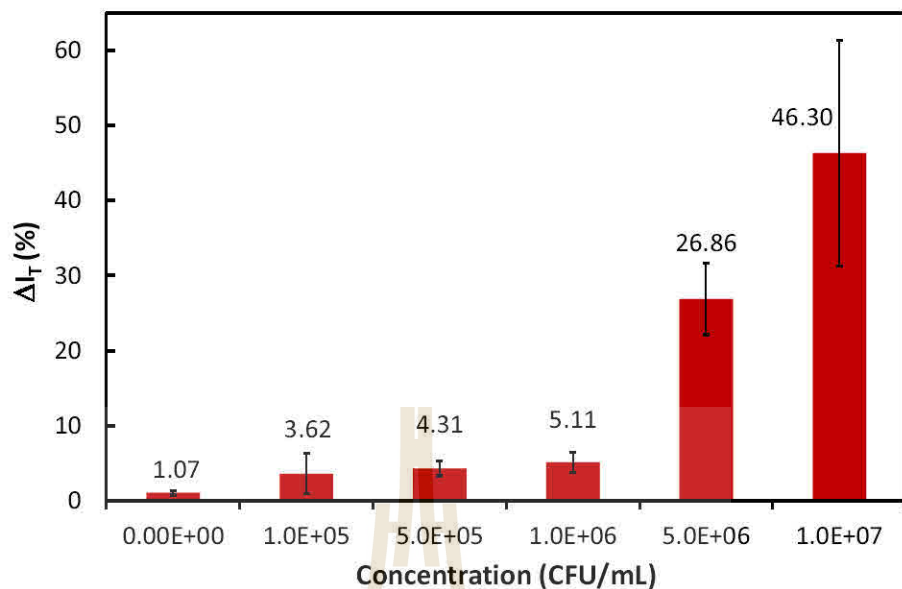
4.6 Detection limit เมื่อใช้การอ่านค่าแบบ Under exposure

รูปที่ 4.5 แสดง Line profile สำหรับตัวอย่างที่มีความเข้มข้นของแบคทีเรีย *Aac* เท่ากับ 0 (Healthy), 1×10^5 , 5×10^5 , 1×10^6 , 5×10^6 และ 1×10^7 CFU/mL และรูปที่ 4.6 แสดงผลการทดลองวัดค่าการสะท้อนแสงที่ลดลงที่แอบนทดสอบ (ΔI_T) พล็อตเทียบกับความเข้มข้นของแบคทีเรีย *Aac* ทำการทดลองซ้ำทั้งหมด 5 ครั้ง จากผลการทดลองดังกล่าวพบว่า เมื่อความเข้มข้นในสารตัวอย่างสูงขึ้น ค่า ΔI_T บริเวณแอบนทดสอบจะสูงขึ้น

เมื่อพิจารณาจากข้อมูลในรูปที่ 4.6 พนว่า Detection limit ของชุดทดสอบนี้ เมื่อใช้เครื่องอ่านแอบนสีที่พัฒนาขึ้น คือ 5×10^5 CFU/mL



รูปที่ 4.5 Line profiles จากชุดทดสอบที่สารตัวอย่างมีความเข้มข้นของแบนคีเรีย *Aac* ต่างกัน (η) ตัวอย่างจากพืชที่ไม่เป็นโรค (Healthy samples) (ψ) ตัวอย่างความเข้มข้น 5×10^5 CFU/mL และ (κ) ตัวอย่างความเข้มข้น 1×10^7 CFU/mL



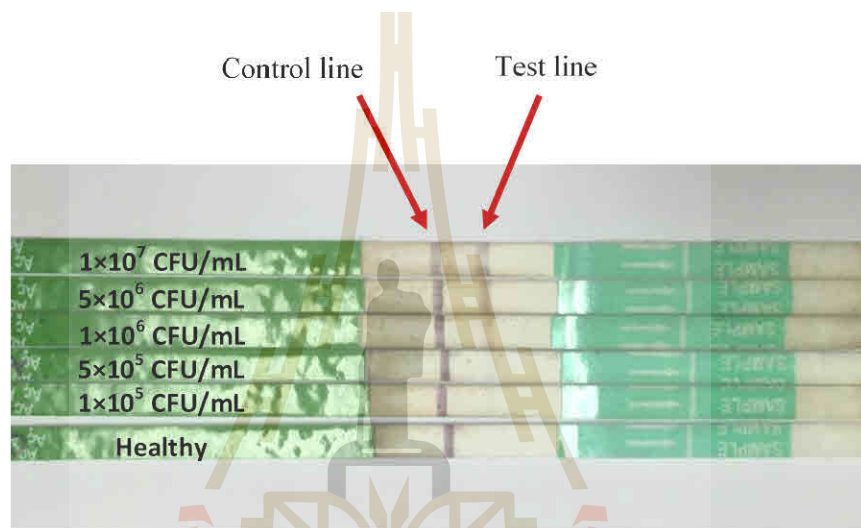
รูปที่ 4.6 ค่าการสะท้อนแสงลดลงเฉลี่ยที่ແດນทดสอบ (ΔI_T) สำหรับสารตัวอย่างที่มีความเข้มข้นของแบคทีเรีย *Aac* ต่าง ๆ เมื่อใช้แหล่งกำเนิดแสงໄอดิโอดเปล่งแสงสีเขียว ความเข้มข้น 0 CFU/mL ในรูป หมายถึงตัวอย่างจากพืชที่ไม่เป็นโรค (Healthy samples) ข้อมูลแต่ละความเข้มข้นได้จากการทดลองซ้ำ 5 ครั้ง

4.7 Detection limit ของชุดทดสอบกรณีระบุแอนติบอดี้ด้วยตาเปล่า

ตารางที่ 4.1 แสดงผลการอ่านແດນสีชุดทดสอบเชือแบบที่เรียก *Aac* ใช้ผู้ทดสอบห้องหมก 9 คน เป็นพนักงานของศูนย์เทคโนโลยีอิเล็กทรอนิกส์และคอมพิวเตอร์แห่งชาติ 7 คน และนักศึกษาของมหาวิทยาลัยเทคโนโลยีสุรนารี 2 คน ผู้ทดสอบทุกคนไม่ทราบข้อมูลความเข้มข้นของแต่ละชุดทดสอบ จำนวนชุดทดสอบห้องหมก 30 ชุด โดยใช้สารตัวอย่างที่มีแบคทีเรีย 6 ความเข้มข้น (รูปที่ 4.7) คือ Healthy, 1×10^5 , 5×10^5 , 1×10^6 , 5×10^6 และ 1×10^7 CFU/ml อย่างละ 5 ชุดทดสอบ ซึ่งแต่ละชุดทดสอบจะมีรหัสกำกับ เช่น AA, AB, CF, DE เป็นต้น โดยที่การเรียงรหัสจะไม่สัมพันธ์กับความเข้มข้นของสารตัวอย่าง ผู้ทดสอบจะทำการอ่านແດນสีชุดทดสอบห้องหมก 30 แผ่น ในคราวเดียวกัน ชุดทดสอบจะมีทั้งที่เกิดแอนติบอดี้และไม่เกิดแอนติบอดี้ปะปนกัน

ผู้วิจัยได้ทำแบบสอบถามให้สำหรับผู้ทดสอบ ว่ามองเห็นແດນสีที่บริเวณແດນทดสอบหรือไม่ โดยให้ระบุเครื่องหมาย “+” ในแบบสอบถามถ้าบริเวณແດນทดสอบเกิดสีเข้มหรือสีจาง ในกรณีที่มองไม่เห็นແດນสีที่เกิดขึ้นบริเวณดังกล่าว ให้ระบุเครื่องหมาย “-” และกรณีที่ไม่แน่ใจว่าเกิด

แอบสีหรือไม่เกิดแอบสีให้ระบุครึ่งของหมาย “+/-” ลงในแบบสอบถาม สำหรับชุดทดสอบที่มีความเข้มข้น 1×10^5 - 1×10^7 CFU/ml ถ้าผู้ทดสอบระบุครึ่งของหมาย “+” ลงในแบบทดสอบจะแปลผลว่า ผู้ทดสอบอ่านแอบสีได้ถูกต้อง แต่ถ้าผู้ทดสอบระบุครึ่งของหมาย “-” จะแปลผลว่า ผู้ทดสอบอ่านแอบสีไม่ถูกต้อง ส่วนในการปฏิชุดทดสอบที่ทดลองกับ Healthy ถ้าผู้ทดสอบระบุครึ่งของหมาย “-” จะแปลผลว่า ผู้ทดสอบอ่านแอบสีได้ถูกต้อง แต่ถ้าผู้ทดสอบระบุครึ่งของหมาย “+” จะแปลผลว่า ผู้ทดสอบอ่านแอบสีไม่ถูกต้อง



รูปที่ 4.7 การเกิดแอบสีชุดทดสอบของเชื้อแบคทีเรีย Aac ที่ความเข้มข้น Healthy, 1×10^5 , 5×10^5 , 1×10^6 , 5×10^6 และ 1×10^7 CFU/ml

ตารางที่ 4.1 ผลการอ่านค่าตอบสนองชุดทดสอบเชื้อแบคทีเรีย *Aac* ที่ความเข้มข้น Healthy, 1×10^5 , 5×10^5 , 1×10^6 , 5×10^6 และ 1×10^7 CFU/ml (N=5) โดยใช้การระบุการเกิดแอนติวัยตากล้าม จำกัดทดสอบห้องทดลอง 9 คน

รหัสแบบทดสอบ	ความเข้มข้น (CFU/ml)	ผลการทดสอบ		
		จำนวนคนที่ถูก	จำนวนคนที่ผิด	จำนวนคนที่ไม่แน่นใจ
BG	Healthy	7	0	2
CA		9	0	0
CD		8	0	1
DD		9	0	0
DE		9	0	0
Average		8.4	0.0	0.6
DB	1×10^5	0	9	0
AH		0	9	0
AF		0	8	1
AG		0	9	0
AA		1	7	1
Average		0.2	8.4	0.4
BH	5×10^5	0	9	0
CB		0	9	0
CC		0	9	0
DF		0	9	0
CE		0	9	0
Average		0.0	9.0	0.0
BD	1×10^6	0	8	1
DC		0	9	0
CH		0	8	1
DA		0	8	1
BB		6	2	1
Average		1.2	7.0	0.8

ตารางที่ 4.1 ผลการอ่านค่าแอบสีชุดทดสอบเชื้อแบคทีเรีย Aac ที่ความเข้มข้น Healthy, 1×10^5 , 5×10^5 , 1×10^6 , 5×10^6 และ 1×10^7 CFU/ml (N=5) โดยใช้การระบุการเกิดแอบสีด้วยตาเปล่า จากผู้ทดสอบห้างหมอด 9 คน (ต่อ)

BC	5×10^6	9	0	0
BA		9	0	0
BE		9	0	0
AB		9	0	0
AC		9	0	0
Average		9.0	0.0	0.0
BF	1×10^7	9	0	0
AD		9	0	0
AE		9	0	0
CF		9	0	0
CG		9	0	0
Average		9.0	0.0	0.0

ในแต่ละความเข้มข้นของสารตัวอย่างจะมีข้อมูลการระบุแอบสีห้างหมอดจากผู้ทดสอบ 30 ข้อมูล โดยแต่ละชุดทดสอบจะมีข้อมูลการอ่านค่าแอบสีจากผู้ทดสอบ 9 คน จากตารางที่ 4.1 แสดงผลการอ่านแอบสีชุดทดสอบด้วยตาเปล่า สำหรับความเข้มข้น Healthy พบว่า ผู้ทดสอบระบุการอ่านค่าแอบสีได้ถูกต้อง 93% จากชุดทดสอบห้างหมอด มี 7% ที่ระบุว่าไม่แน่ใจว่ามีแอบสีเกิดขึ้น หรือไม่ และไม่มีผู้ทดสอบคนใดระบุผิดว่ามีแอบสีเกิดขึ้น ที่สารตัวอย่างมีความเข้มข้น 5×10^6 และ 1×10^7 CFU/ml ความเข้มข้นนี้จะเกิดแอบสีบันทึกที่แอบส์บอนอย่างชัดเจน ผู้ทดสอบอ่านค่าแอบสีได้ถูกต้อง 100% ไม่มีผู้ทดสอบคนไหนระบุการเกิดแอบสีได้ไม่ถูกต้อง ที่ความเข้มข้น 1×10^6 CFU/ml ผู้ทดสอบจำนวน 78% ระบุว่าไม่มีแอบสีที่แอบทดสอบ เป็นการแปลงผลการอ่านค่าที่ผิดทั้งนี้มี 1 ชุดทดสอบ (#BB) ที่ผู้ทดสอบ 67% ระบุว่าเกิดแอบสีที่ชุดทดสอบ ส่วนชุดทดสอบที่เหลืออีก 4 ชุด ที่ความเข้มข้นนี้ ผู้ทดสอบเก็บห้องห้ามระบุว่าไม่มีแอบสีเกิดขึ้น

Detection limit กรณีการอ่านค่าแอบสีด้วยตาเปล่าจะนิยามเท่ากับ ความเข้มข้นต่ำสุดที่ผู้ทดสอบทุกคนที่มีความผิดปกติทางสายตา ระบุแอบสีได้ถูกต้อง 100% จากข้อมูลในตารางที่ 4.1 สรุปได้ว่า Detection limit ของชุดทดสอบกรณีการอ่านค่าแอบสีด้วยตาเปล่าเท่ากับ 5×10^6 CFU/ml เมื่อเทียบกับค่า Detection limit เมื่อใช้เครื่องอ่านแอบสีชุดทดสอบในหัวข้อที่แล้ว พบว่าการอ่านแอบสีด้วยเครื่องอ่านแอบสีชุดทดสอบที่พัฒนาขึ้นดีกว่าการอ่านแอบสีด้วยตาเปล่า 10 เท่า

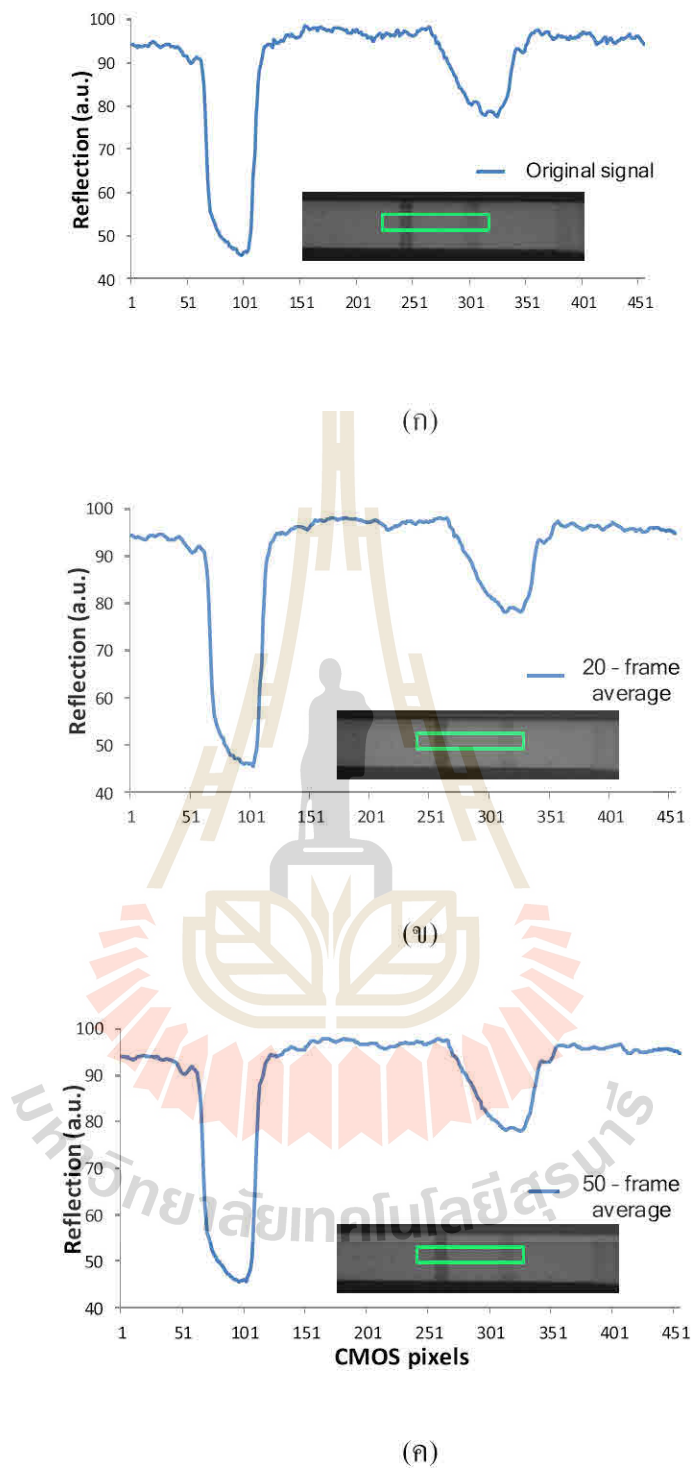
4.8 ผลการวัดค่าสัญญาณต่อสัญญาณรบกวน เมื่อใช้จำนวนเฟรมภาพเฉลี่ยต่างกัน

สัญญาณรบกวนที่เกิดขึ้นในภาพจากกล้องดิจิตอลนั้นเป็นสัญญาณรบกวนแบบสุ่ม (Random noise) สัญญาณรบกวนนี้สามารถเกิดขึ้นได้ทุกช่วงการบันทึกภาพ รูปแบบการเกิดสัญญาณรบกวนแบบ Random Noise จะเปลี่ยนไปกับภาพที่บันทึกในแต่ละครั้ง และมีค่ามากขึ้นเมื่ออุณหภูมิสูงขึ้น

ค่าเฉลี่ยจากการหาผลลัพธ์ของภาพเป็นวิธีที่นิยมใช้สำหรับลดสัญญาณรบกวน เนื่องจากการหาค่าเฉลี่ยไม่กระทบต่อรายละเอียดของภาพ และยังเพิ่มอัตราส่วนสัญญาณต่อสัญญาณรบกวน (Signal to noise ratio) ของภาพ รูปที่ 4.8 แสดง Line profile ของตัวอย่างชุดทดสอบที่มีความเข้มข้นของแบคทีเรีย *Aac* เท่ากับ 1×10^7 CFU/mL ในจำนวนเฟรมภาพเฉลี่ยที่แตกต่างกัน

จากการทดลองดังกล่าวพบว่าภาพที่ไม่ทำเฟรมเฉลี่ย ค่าการสะท้อนแสงที่ได้บันชุดทดสอบไม่เรียบ แต่เมื่อใช้เฟรมเฉลี่ยที่ 20 ภาพ Line profile ที่ได้เรียบขึ้น สังเกตที่บริเวณพื้นขาวของไข่ไก่เซลล์โลสมเมมเบรนคุณภาพสูงกว่าภาพที่ไม่ได้ทำเฟรมเฉลี่ย และเมื่อใช้เฟรมเฉลี่ยของภาพเพิ่มขึ้นสัญญาณที่ได้จะยิ่งเรียบ เป็นการเพิ่ม Signal to noise ratio ของสัญญาณ สำหรับงานวิจัยนี้ได้ทำการใช้เฟรมเฉลี่ยที่ 50 เฟรม เพื่อไม่ให้เวลาในการประมวลผลภาพของโปรแกรมใช้เวลานานเกินไป

จากการทดลองดังกล่าวพบว่าภาพที่ไม่ทำเฟรมเฉลี่ย ค่าการสะท้อนแสงที่ได้บันชุดทดสอบไม่เรียบ แต่เมื่อใช้เฟรมเฉลี่ยที่ 20 ภาพ Line profile ที่ได้เรียบขึ้น สังเกตที่บริเวณพื้นขาวของไข่ไก่เซลล์โลสมเมมเบรนคุณภาพสูงกว่าภาพที่ไม่ได้ทำเฟรมเฉลี่ย และเมื่อใช้เฟรมเฉลี่ยของภาพเพิ่มขึ้นสัญญาณที่ได้จะยิ่งเรียบ เป็นการเพิ่ม Signal to noise ratio ของสัญญาณ สำหรับงานวิจัยนี้ได้ทำการใช้เฟรมเฉลี่ยที่ 50 เฟรม เพื่อไม่ให้เวลาในการประมวลผลภาพของโปรแกรมใช้เวลานานเกินไป



รูปที่ 4.8 Line profile จากชุดทดสอบที่สารตัวอย่างมีความเข้มข้นของเบปคทีเรีย *Aac* เท่ากับ 1×10^7 CFU/mL (ก) 1 เฟรม (ข) 20 เฟรม และ (ค) 50 เฟรม

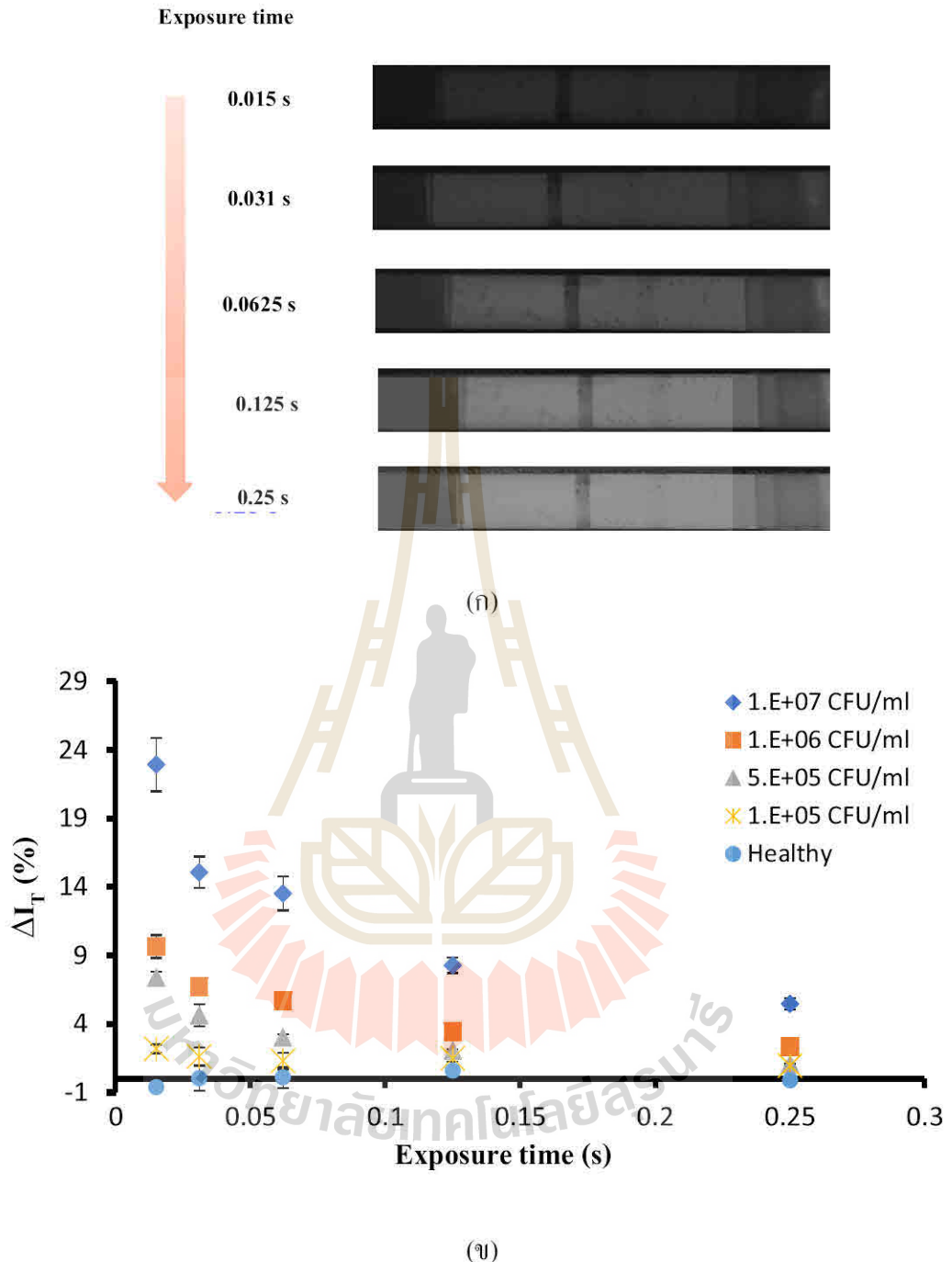
4.9 ผลการปรับค่า Exposure time ของกล้องเว็บแคม

จากผลการทดสอบเบื้องต้นพบว่า Exposure time ของกล้องรับภาพ มีผลต่อการอ่านค่าความเข้มแสง ΔI_T และ Detection limit ของกล้องรับภาพ ผู้วิจัยจึงสนใจศึกษาว่าการตั้งค่า Exposure time อย่างไรจะให้ผลการวัดดีที่สุด

รูปที่ 4.9 แสดงผลการทดลองวัดค่า ΔI_T สำหรับตัวอย่างที่มีความเข้มข้นของแบคทีเรีย *Aac* เท่ากับ Healthy, 1×10^5 , 5×10^5 , 1×10^6 , 5×10^6 และ 1×10^7 CFU/mL ทำการทดลองซ้ำห้องหมุด 3 ครั้ง เมื่อใช้ Exposure time อุ่นในช่วง $0.015\text{ s} - 0.25\text{ s}$ โดยใช้ซอฟต์แวร์ของกล้อง จากรезультатการทดลอง แสดงให้เห็นว่าที่ Exposure time ต่ำ ค่า ΔI_T ที่ได้จะสูงขึ้น ในกรณีนี้การปรับค่า Exposure time ต่ำสุดที่กล้องสามารถปรับได้ขึ้นอยู่กับค่า Gain ที่ตั้งไว้ จากการทดลองตั้งค่า Gain ไว้ที่ 16 จึงทำให้ค่า Exposure time ต่ำสุดที่ปรับได้อยู่ที่ 0.015 s และค่าสูงสุดที่สามารถอ่านค่าการสะท้อนแสงแต่ละตำแหน่งบนชุดทดสอบอยู่ที่ 0.25 s เนื่องจากถ้าปรับค่า Exposure time สูงเกินไปทำให้การสะท้อนแสงที่วัดได้อิ่มตัวเป็นค่าความเข้มแสงเดียว

จากราฟจะเห็นว่าค่า Exposure time มีผลต่อค่า ΔI_T ดังนั้นการตั้งค่า Exposure time ต่างกัน ทำให้ได้ค่า ΔI_T และ Detection limit ต่างกัน

ข้อมูลจากราฟที่ 4.9 ชี้ความสัมพันธ์ระหว่างค่าการสะท้อนแสงที่ลดลงที่แนบทดสอบ (ΔI_T) เปรียบเทียบผลจากการปรับค่า Exposure time พบร่วมกับ Exposure time ต่ำ ค่า ΔI_T ที่ได้จะสูงขึ้น เมื่อ Exposure time เท่ากับ 0.015 s มี Detection limit ของชุดทดสอบ *Aac* เท่ากับ 1×10^5 CFU/mL เป็นความเข้มข้นต่ำสุด ในกรณีที่ปรับค่า Exposure time ต่ำกว่าค่า 0.015 s ไม่สามารถเห็นตำแหน่งของแอนติบอดีชนิดทดสอบได้ เนื่องจากเปิดเวลาอันแสงน้อยเกินไปทำให้ภาพชุดทดสอบมีด



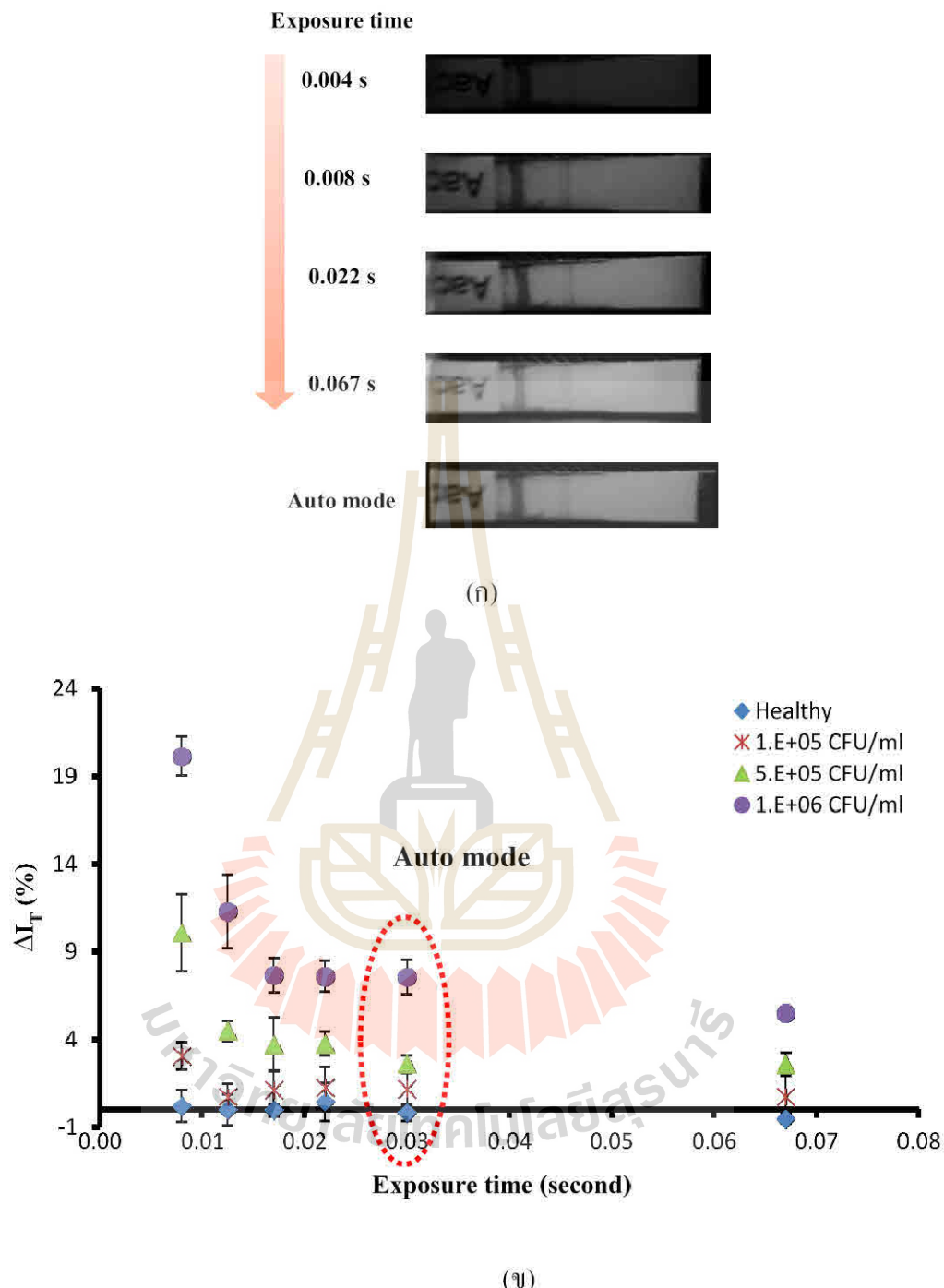
รูปที่ 4.9 (η) ภาพชุดทดสอบแบนค์ทีเรีย *Aac* ที่ความเข้มข้น 1×10^6 CFU/mL และ Exposure time ค่า และ (η) ค่าการสะท้อนแสงเฉลี่ยที่แบนค์ทดสอบ (ΔI_r) และ Exposure time และที่ความเข้มข้นของแบนค์ทีเรีย *Aac* ต่าง ๆ

4.10 ผลการปรับค่า Exposure time ของกล้องโทรศัพท์แบบพกพา

รูปที่ 4.10 แสดงผลการทดลองวัดค่า ΔI_T สำหรับตัวอย่างที่มีความเข้มข้นของแบคทีเรีย *Aac* เท่ากับ Healthy, 1×10^5 , 5×10^5 , 1×10^6 , 5×10^6 และ 1×10^7 CFU/mL ทำการทดลองซ้ำทั้งหมด 3 ครั้ง เมื่อใช้ Exposure time อุปกรณ์ในช่วง 0.008-0.067 s โดยใช้ซอฟต์แวร์ ProCam และทำการเปรียบเทียบกับค่าที่ซอฟต์แวร์เลือกให้ ซึ่งมี Exposure time เท่ากับ 0.03 s จากผลการทดลองแสดงให้เห็นว่าที่ Exposure time ต่ำ ค่า ΔI_T ที่ได้จะสูงขึ้น

ข้อมูลจากการที่ 4.10 แสดงให้เห็นว่า Exposure time มีผลต่อค่า ΔI_T ดังนั้นการตั้งค่า Exposure time ของกล้องต่างกันทำให้ได้ค่า ΔI_T และ Detection limit ต่างกัน คล้ายกับกรณีของกล้องเว็บแคม เมื่อ Exposure time เท่ากับ 0.008 s มี Detection limit ของชุดทดสอบ *Aac* เท่ากับ 1×10^5 CFU/mL เป็นความเข้มข้นต่ำสุด ซึ่งจะเห็นว่าค่า Exposure time ของกล้องแต่ละรุ่นนั้นปรับให้ไม่เท่ากัน ดังนั้นไม่ว่าจะใช้กล้องรุ่นไหน ควรเลือก Exposure time ที่ให้ได้ค่า Detection limit ของเครื่องอ่านແນບสีต่ำสุด

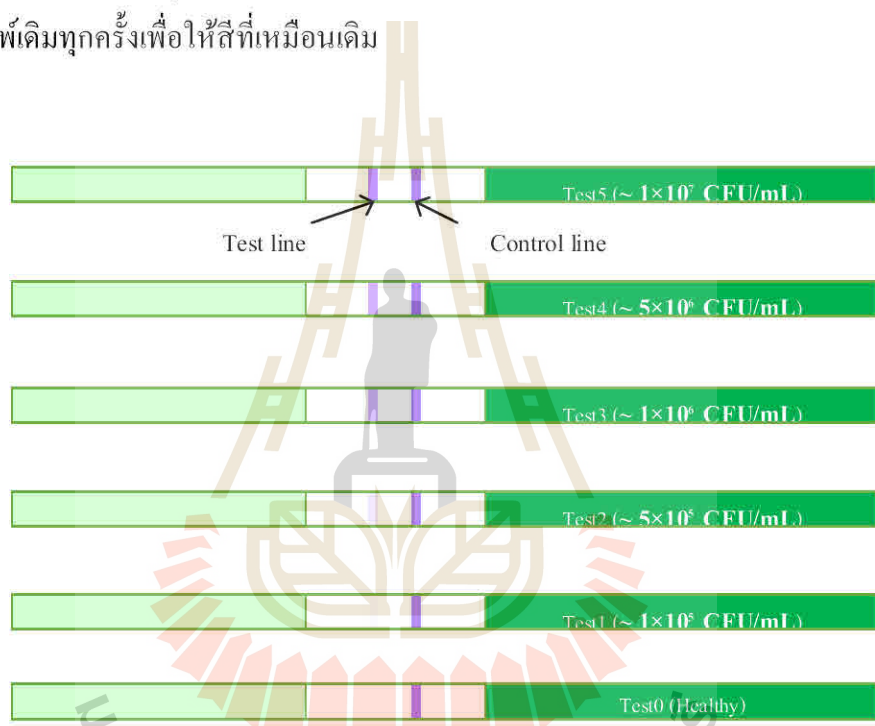




รูปที่ 4.10 (ก) ภาพชุดทดลองแบนค์ทีเรีย *Aac* ที่ความเข้มข้น 1×10^6 CFU/mL แต่ละ Exposure time และ (ข) ค่าการสะท้อนแสงเฉลี่ยที่ลดลงที่แบบทดสอบ (ΔI_T) ที่ความเข้มของแบนค์ทีเรียต่าง ๆ แต่ละ Exposure time เมื่อใช้กล้องโทรศพท์กรามีถ่ายรูปแบบ Auto mode ค่า Exposure time จะเท่ากับ 0.03 s

4.11 ผลการปรับค่าพารามิเตอร์อื่น ๆ ของกล้อง

การทดลองศึกษาผลการปรับพารามิเตอร์ของกล้องต่อค่าการสะท้อนแสงที่ແນບทดสอบ จำเป็นต้องใช้ชุดทดสอบจำนวนมาก เมื่อongจากชุดทดสอบโรคผลไม่แบคทีเรีย *Aac* เพื่อนำมาตรวจสอบน้ำ (ในโอเทก) ต้องใช้เวลาในการเตรียมเชือตัวอย่างแบคทีเรียและยุ่งยาก และด้วยงบวิจัย ที่มีจำกัด ในการศึกษาต่อไปจะใช้วิธีพิมพ์ແນບสีชุดทดสอบคั่วเครื่องพิมพ์ (Fuji Xerox DocuPrint CP405d) โดยจะพิมพ์ให้ແນບสีมีค่าใกล้เคียงกับແນບสีชุดทดสอบของ *Aac* ดังรูปที่ 4.11 เมื่อพิมพ์ແນບสีจะได้ใกล้เคียงกับชุดทดสอบแล้ว ก็จะบันทึกค่า RGB ของแต่ละແນບสีไว้ ในการพิมพ์จะใช้คั่วเครื่องพิมพ์เดิมทุกรอบเพื่อให้สีที่เหมือนเดิม



รูปที่ 4.11 ภาพชุดทดสอบที่พิมพ์ขึ้นทำการเทียบเคียงสีให้ใกล้เคียงกับແນບสีของชุดทดสอบ *Aac*

ตารางที่ 4.2 ค่า RGB ของแคนลสีที่พิมพ์ขึ้นที่มีแคนลสีไกลสีเคียงกับแคนลสีชุดทดสอบ *Aac* ที่ความเข้มข้นต่าง ๆ

Sample Name	RGB Value					
	Test line			Control line		
	R	G	B	R	G	B
Test1 (~ 1×10^7 CFU/mL)	184	132	255	180	65	139
Test2 (~ 5×10^6 CFU/mL)	204	166	255	180	65	139
Test3 (~ 1×10^6 CFU/mL)	214	183	255	180	65	139
Test4 (~ 5×10^5 CFU/mL)	239	227	255	180	65	139
Test5 (~ 1×10^5 CFU/mL)	249	244	255	180	65	139
Test0 (~ Healthy)	255	255	255	180	65	139

4.11.1 ผลการปรับค่า Contrast ของกล้อง

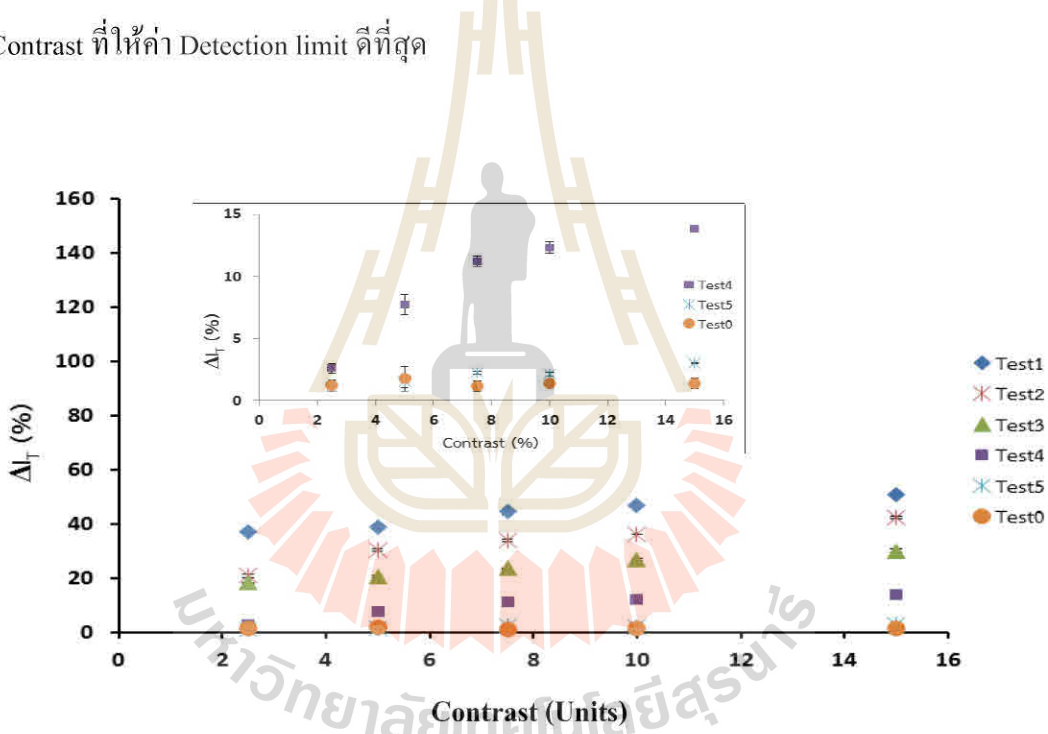
ในการทดลอง จะใช้ต้นแบบกล้องเจ็บแคมในการอ่านภาพ การปรับค่า Contrast จะใช้ซอฟต์แวร์ของผู้ผลิตที่ให้มาพร้อมกับกล้อง ซึ่งกล้องรุ่มนี้สามารถปรับค่า Contrast ได้ในช่วง 0 – 15 หน่วย ตั้งค่า Exposure time = 0.031 s และ Gain = 16 หน่วย

เมื่อปรับค่า Contrast ที่ 0 หน่วย ส่งผลให้ภาพสว่างเท่ากันหมดทั้งภาพ ไม่สามารถหาความเข้มแสงแต่ละตำแหน่งบนชุดทดสอบได้ เพราะค่าความเข้มแสงที่ได้แต่ละตำแหน่งบนชุดทดสอบเป็นค่าเดียวกันหมด ดังนั้นจึงเริ่มใช้ค่า Contrast ที่ 2.5 - 15 หน่วย ส่วนกรณีที่ปรับค่า Contrast กิน 15 หน่วยขึ้นไป ภาพที่ได้จะมีค่าความเข้มแสงอยู่ที่ 0 หน่วยทำให้เกิดภาพมืด จึงไม่ใช้ค่า Contrast นี้

รูปที่ 4.12 แสดงผลการทดลองวัดค่า ΔI_T สำหรับชุดทดสอบที่พิมพ์ขึ้นมา ตั้งแต่ Test0, Test1, Test2, Test3, Test4 และ Test5 เมื่อใช้ค่า Contrast ต่างกันทำการทดลองซ้ำทั้งหมด 5

ครั้ง พนว่า Contrast ที่ 15% มีค่า ΔI_T สูงสุด และมี Detection limit ดีที่สุดอยู่ Test4 แต่เนื่องจากชุดทดสอบที่พิมพ์ขึ้นมาบ้านเป็นกระดาษเรียบ มีสีขาวล้วนเท่ากันสม่ำเสมอ ทำให้ค่าเบี่ยงเบนมาตรฐานต่ำ (Error bar ในรูป) การแยกแยะแอบถือจึงทำได้ง่าย ทั้งนี้เมื่อใช้ค่า Contrast สูงขึ้นค่าความเบี่ยงเบนที่อ่านได้จะมีค่าต่ำลงหรือภาพที่ถ่ายได้จะมีดีขึ้น หรือมีค่าสัญญาณต่อสัญญาณรบกวนต่ำ เมื่อใช้กับตัวอย่างที่เป็นชุดทดสอบ Aac แผ่นกระดาษในโตรเชลลูโลสเมมเบรนจะมีลักษณะขุบระ ซึ่งอาจทำให้เกิดค่าเบี่ยงเบนมาตรฐานสูงได้ ดังนั้นการเพิ่มค่า Contrast อาจไม่ทำให้ค่า Limit of detection ดีขึ้นก็ได้

จากราฟพนว่าการเปลี่ยนค่า Contrast ของกล้องจะทำให้ค่า ΔI_T และ Detection limit ไม่เท่ากัน ดังนั้นจึงไม่ควรใช้การตั้งค่าแบบ Auto mode แต่ควรทำการทดลองเพื่อหาค่า Contrast ที่ให้ค่า Detection limit ดีที่สุด



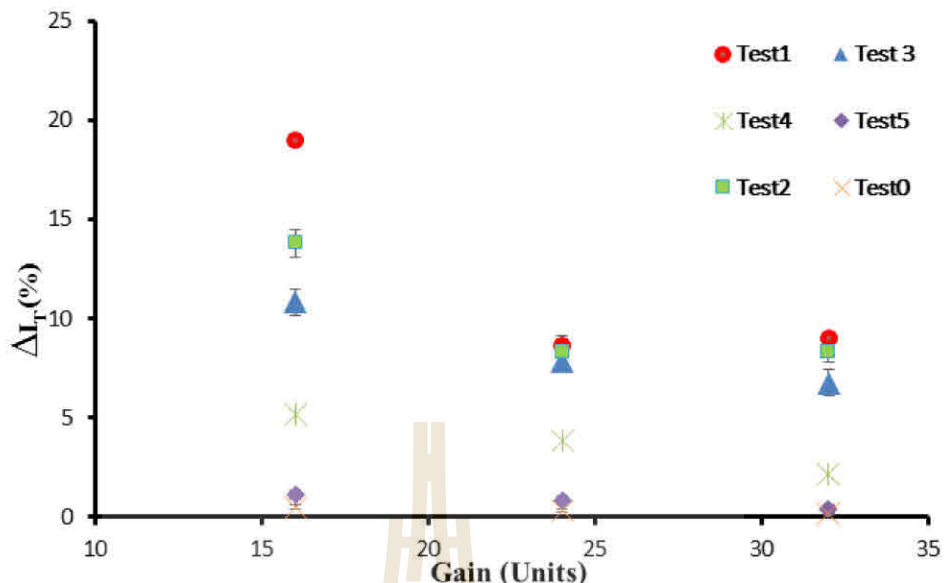
รูปที่ 4.12 เปรียบเทียบค่าการสะท้อนแสงเฉลี่ยที่แอบทดสอบ (ΔI_T) แต่ละ Contrast จากการทดลอง 5 ครั้ง กับชุดทดสอบที่พิมพ์ขึ้นมา Test0, Test1, Test2, Test3, Test4 และ Test5

4.11.2 ผลของการปรับค่า Gain ของกล้อง

ในการทดลอง จะใช้ต้นแบบกล้องเว็บแคมในการอ่านภาพ การปรับค่า Gain จะใช้ซอฟต์แวร์ของผู้ผลิตที่ให้มาพร้อมกับกล้อง ซึ่งกล้องรุ่นนี้สามารถปรับค่า Gain ได้ในช่วง 16 – 32 หน่วย ตั้งค่า Exposure time = 0.013 s และ Contrast = 15 หน่วย

จากรูปที่ 4.13 เมื่อปรับค่า Gain แสดงผลการทดสอบวัดค่า ΔI_T สำหรับชุดทดสอบที่พิมพ์ขึ้นมา ตั้งแต่ Test0, Test1, Test2, Test3, Test4 และ Test5 เปรียบเทียบผลจากการปรับค่า Gain ทำการทดสอบซ้ำห้าหมด 5 ครั้ง พบว่า Gain เท่ากับ 16 หน่วย ทำให้มีค่า ΔI_T สูงขึ้น และมี Detection limit ดีที่สุดอยู่ที่ Test4 แต่เนื่องจากชุดทดสอบที่พิมพ์ขึ้นมานั้นเป็นกระดาษเรียง มีสีขาวล้วนเท่ากันสมำเสมอ ทำให้ค่าเบี่ยงเบนมาตรฐานต่ำ (Error bar ในรูป) การแยกแยะแอบสีจึงทำได้ง่าย ทั้งนี้เมื่อใช้ค่า Gain ต่ำลงค่าความเบี่ยงเบนที่อ่านได้จะมีค่าต่ำลงหรือภาพที่ถ่ายได้จะมีดีขึ้น หรือมีค่าสัญญาณต่อสัญญาณรบกวนต่ำ เมื่อใช้กับตัวอย่างที่เป็นชุดทดสอบ *Aac* แผ่นกระดาษในโทรศัพท์โลสมเมมเบรนจะมีลักษณะบรุษะ ซึ่งอาจทำให้เกิดค่าเบี่ยงเบนมาตรฐานสูง ได้ ดังนั้นการลดค่า Gain อาจไม่ทำให้ค่า Detection limit ดีขึ้นก็ได้

จากราฟที่ 4.13 พบว่าการเปลี่ยนค่า Gain เท่ากับ 16 หน่วยของกล้องจะทำให้ค่า ΔI_T และ Detection limit ไม่เท่ากัน ที่ Gain เท่ากับ 24 และ เท่ากับ 32 หน่วยนั้น ค่า ΔI_T ที่ได้ไม่ต่างกัน ดังนั้นจึงไม่ควรใช้การตั้งค่าแบบ Auto mode แต่ควรทำการทดลองเพื่อหาค่า Gain ของกล้องให้ได้ค่า Detection limit ดีที่สุด



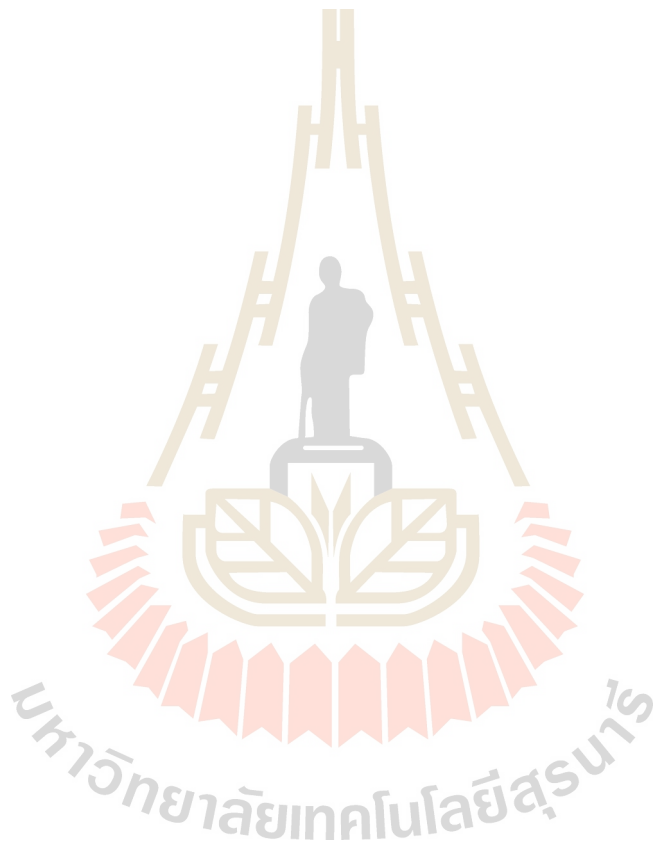
รูปที่ 4.13 เปรียบเทียบค่าการสะท้อนแสงเฉลี่ยที่แนบทดสอบ (ΔI_T) และ Gain จากการทดลองซ้ำทั้งหมด 5 ครั้ง กับชุดทดสอบที่พิมพ์ขึ้นมา Test0, Test1, Test2, Test3, Test4 และ Test5

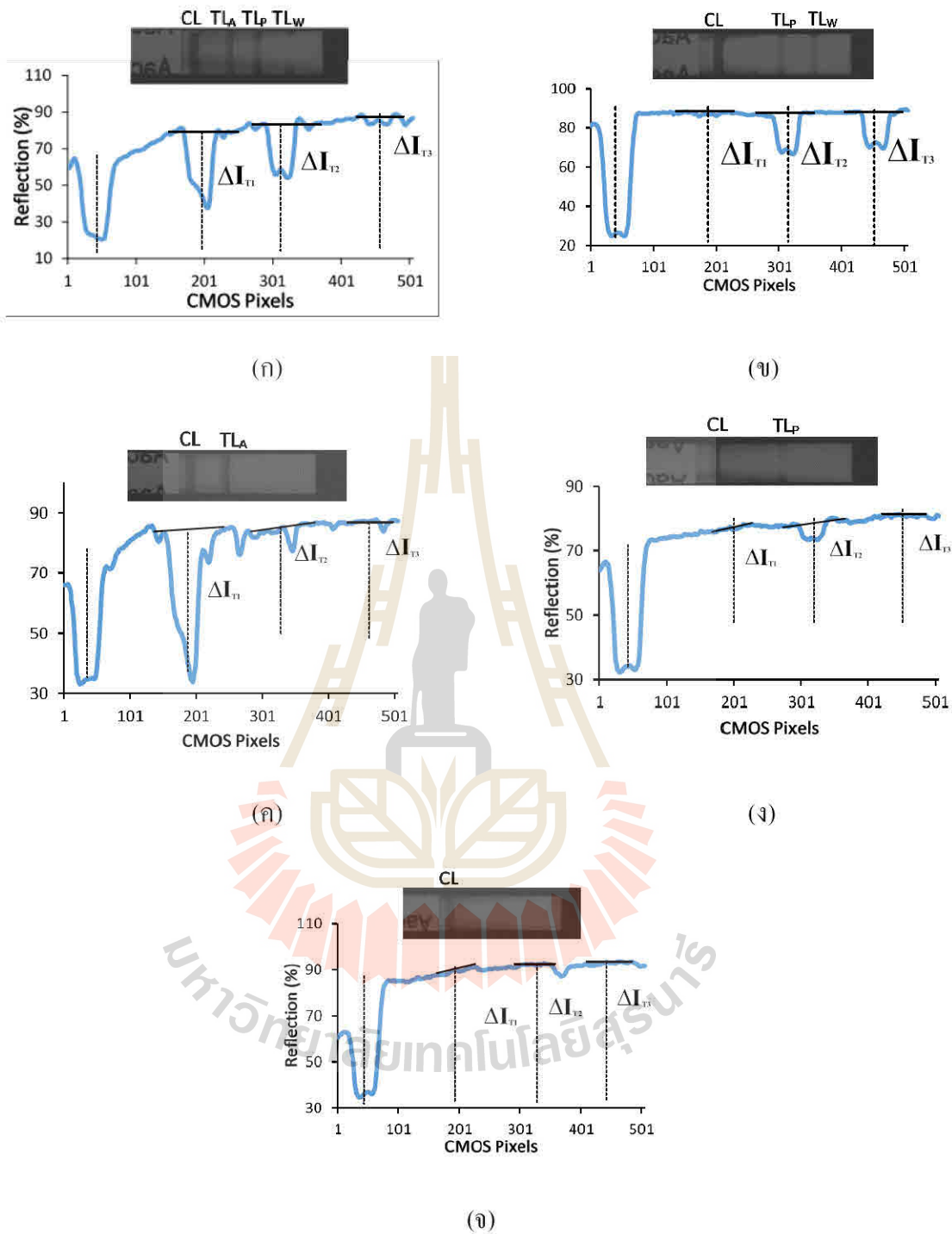
4.12 ผลการทดลองกับชุดทดสอบแบบ Multiplex

เครื่องอ่านแคนสีชุดทดสอบที่ผู้วิจัยพัฒนาขึ้นมาก่อนหน้า สามารถนำมาใช้กับชุดทดสอบแบบ Multiplex สำหรับวัดค่าการสะท้อนแสงบนชุดทดสอบ เพื่อตรวจเชื้อก่อโรคพืชในกลุ่มแตง 3 ชนิด ได้ในคราวเดียวกัน ได้แก่ เชื้อ Watermelon mosaic virus-2 (WMV-2) เชื้อ Potyvirus และเชื้อ Acidovorax avenae subsp. *citrulli* (*Aac*) ดังรูปที่ 4.14 แสดงกราฟ Line profile ของชุดทดสอบแบบ Multiplex และตารางที่ 4.3 แสดงผลการทดลองวัดค่าการสะท้อนแสงที่ลดลงที่แนบทดสอบ (ΔI_T) ของแคนดังกล่าว จากผลการทดลอง ไม่สามารถหา Detection limit ของเครื่องอ่านได้ เนื่องจากผู้วิจัยทดลองเพียง 1 ครั้ง เพื่อให้สามารถหาค่า Detection limit ของเครื่องอ่านแคนสีชุดทดสอบแบบ Multiplex ต้องทำการทดลองเก็บผลเพิ่มเติม

ผลการทดสอบหาค่าการสะท้อนแสงที่ลดลงที่แนบทดสอบทั้ง 3 แคน เมื่อใช้ตัวอย่างที่ไม่มีเชื้อทั้ง 3 ปน พนว่าค่าความเข้มแสง ΔI_T เท่ากับ 0.58, 1.12 และ 0.17 % ตามลำดับ เมื่อพิจารณาตัวอย่างที่มีเชื้อ เช่น ตัวอย่าง A ซึ่งมีเชื้อทั้ง 3 ชนิด ค่าการสะท้อนแสง ΔI_T ทั้ง 3 แคนมีค่าซัดเจนสำหรับตัวอย่าง D ซึ่งมีเชื้อ Potyvirus ค่าความเข้มแสง ΔI_T จากแคนที่ 2 เท่ากับ 3.5% ซึ่งสูงกว่ากรณีไม่มีเชื้อ 3 เท่า ระบุได้จากการทดลองว่าเชื้อดังกล่าวอาจจะมีอยู่จริงแต่มีความเข้มข้นต่ำ ส่วน

แผนที่ 1 นั้นให้ค่าความเข้มแสลงสูงกว่ากรณีไม่มีเชื้อ 2.3 เท่า ซึ่งระบุได้ว่าอาจจะมีเชื้อความเข้มข้นต่ำหรือไม่มีเชื้อก็ได้ และข้อมูลจากแผนที่ 3 ค่าความเข้มแสลงที่อ่านได้ไม่ต่างจากกรณีไม่มีเชื้อ จึงระบุได้ว่าตัวอย่างไม่มีเชื้อ





รูปที่ 4.14 Line profile ของชุดทดสอบแบบ Multiplex สำหรับตัวอย่างที่มีเชื้อ (n) เชื้อ Aac, Potyvirus และ WMV-2 (u) เชื้อ Potyvirus และ WMV-2 (m) เชื้อ Potyvirus (v) เชื้อ Aac และ (w) ตัวอย่างของพืชที่ไม่เป็นโรค

ตารางที่ 4.3 ค่าการสะท้อนแสงที่ลดลงที่แบบทดสอบของชุดทดสอบแบบ Multiplex

ชื่อตัวอย่าง	ลักษณะของตัวอย่าง	แบบที่ 1 (TL_A)	แบบที่ 2 (TL_W)	แบบที่ 3 (TL_p)
		$\Delta I_{T1} (\%)$	$\Delta I_{T2} (\%)$	$\Delta I_{T3} (\%)$
Test A	มีเชื้อ Aac, WMV-2, Potyvirus	28.8	24.6	7.8
Test B	มีเชื้อ WMV-2 และ Potyvirus	0.3	21.3	18.7
Test C	มีเชื้อ Aac	44.4	1.7	0.1
Test D	มีเชื้อ Potyvirus	1.4	3.5	0.2
Test E	พืชไม่เป็นโรค	0.58	1.12	0.17

4.13 การวิเคราะห์ผลการทดลอง

จากข้อมูลการทดลองในหัวข้อที่ผ่านมาพบว่า การประบ放大ามิเตอร์ของกล้องรับภาพ ทำให้ค่าความเข้มแสง ΔI_T ของแบบทดสอบมีค่าไม่เท่ากัน ส่งผลให้ค่า Detection limit ไม่เท่ากันด้วยถ้าใช้กล้องรับภาพต่างกันหรือเมื่อเปลี่ยนชนิดของชุดทดสอบ จึงควรทำการทดลองเพื่อหาค่าพารามิเตอร์ของกล้องที่ให้ผลดีที่สุด.

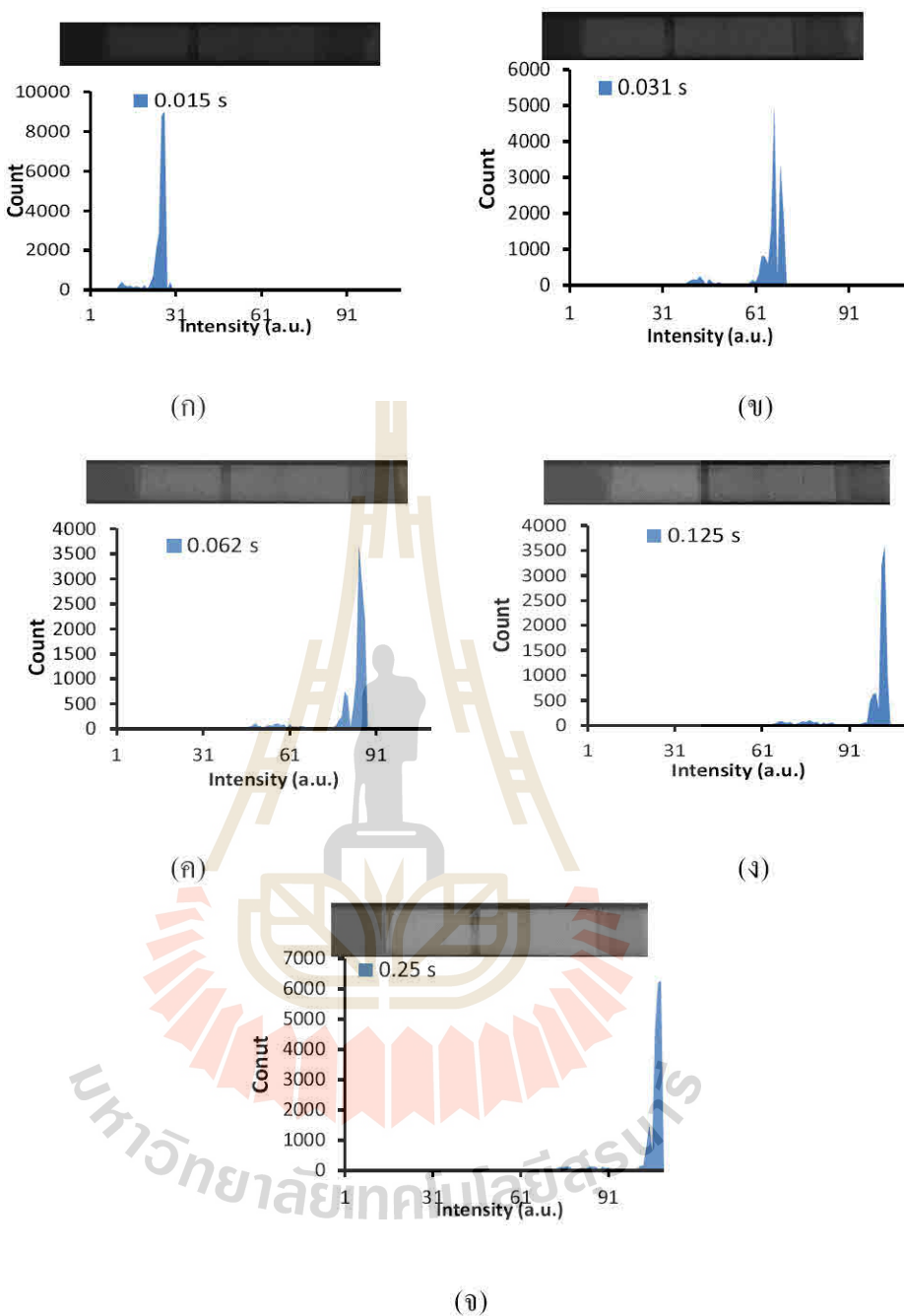
พารามิเตอร์ของกล้องรับภาพที่ได้ศึกษาในงานวิจัยนี้ ประกอบด้วย Exposure time, Contrast และ Gain กรณีกล้องรับภาพแบบ CMOS โดยทั่วไป ในทั้งสามพารามิเตอร์มีการปรับ Exposure time เท่านั้นที่เป็นการปรับค่าของวงจรอิเล็กทรอนิกส์ที่อยู่ภายในกล้อง เมื่อเพิ่ม Exposure time หรือเวลาการรับแสงมากขึ้น ภาพจะสว่างมากขึ้น ถ้าลด Exposure time ภาพจะมีมากขึ้นเพราะค่าความเข้มแสงที่กล้องอ่านได้ลดลง ส่วนการปรับค่า Contrast จะเป็นการปรับจากข้อมูลความเข้มแสงสูงสุด (I_{max}) หรือความเข้มแสงต่ำสุด (I_{min}) จากภาพ [$Contrast = (I_{max} - I_{min})/(I_{max} + I_{min})$] เมื่อต้องการ Contrast สูงขึ้น ซอฟต์แวร์จะปรับให้ I_{max} มีค่าเข้าใกล้ค่าสูงสุด (255) หากน้อยลง และปรับ I_{min} ให้มีค่าเข้าใกล้ค่าต่ำสุด (0) หากมากขึ้น ส่วนการปรับ Gain จะเท่ากับการใช้ค่าคงที่คุณกับค่าความเข้มแสงของภาพ ซึ่งจะทำให้ภาพสว่างหรือมีความมากขึ้น ขึ้นอยู่กับ Gain ที่ใช้ การปรับ Gain สำหรับกล้อง

CMOS โดยทั่วไปจะเป็นการปรับจากภาพเข่นกัน ยกเว้นกล้อง CMOS บางรุ่นที่มีราคาแพง จะสามารถปรับ Gain ของวงจรภายในกล้องได้ ดังนั้นการปรับ Exposure time ต้องทำก่อนการถ่ายภาพ เนื่องจากเป็นการปรับภาพด้วยซอฟต์แวร์

ในการออกแบบเครื่องอ่านแอบลีชุดทดสอบ การหา Exposure time ที่เหมาะสมต้องทำการทดลองกับชุดทดสอบแต่ละชนิด เมื่อได้ค่า Exposure time ที่ต้องการแล้วสามารถนำข้อมูลภาพที่บันทึกไว้มาวิเคราะห์เพิ่มเติม เพื่อหาค่า Contrast หรือ Gain ที่เหมาะสมภายหลังได้ ดังนั้นการปรับค่า Exposure time จึงมีความสำคัญเป็นอันดับแรก

จากข้อมูลการทดลองพบว่า Exposure time มีผลต่อค่า ΔI_f และค่า Detection limit ซึ่งผู้วิจัยใช้ Histogram ของแต่ละ Exposure time เป็นตัวกำหนดว่าควรตั้ง Exposure time ของกล้องเท่าไหร่จึงจะเหมาะสม

Histogram คือกราฟแสดงความถี่หรือจำนวนพิกเซล (Pixel) ที่กระจายตัวอยู่ในช่วงความเข้มแสงต่าง ๆ ตั้งแต่ค่า 0 (มืดที่สุดของภาพ) จนกระทั่งถึงค่า 255 (สว่างสุดของภาพ) ดังนั้นการกำหนดเวลาในการรับแสงของเซนเซอร์รับภาพ (Exposure time) จะได้ Histogram ที่ต่างกัน รูปที่ 4.15 แสดงค่า Histogram เมื่อตั้งค่า Exposure time ของกล้องไว้แค่ตั้งแต่เวลา 0.015 s ไปจนถึงเวลา 0.25 s



รูปที่ 4.15 เปรียบเทียบ Histogram จากภาพชุดทดสอบของชุดทดสอบ *Aac* ที่ความเข้มข้น 1×10^6 CFU/mL (n) Exposure time เท่ากับ 0.015 s (ɻ) Exposure time เท่ากับ 0.031 s (ɼ) Exposure time เท่ากับ 0.062 s (ɻ) Exposure time เท่ากับ 0.125 s และ (ɻ) Exposure time เท่ากับ 0.25 s

รูปที่ 4.15 พบว่า Histogram ของภาพ Exposure time ที่ 0.015 s ค่าความเข้มแสงเลื่อนไปทางด้านซ้ายเมื่อเข้าใกล้ค่า 0 ของภาพ โภนภาพอยู่ในช่วง Under exposure ที่ Exposure time เท่ากับ 0.062-0.25 s มีค่า Histogram ของภาพอยู่ในช่วง Over exposure และเมื่อ Exposure time ที่ 0.031 s ค่า Histogram ของภาพจะกระจายตัวอยู่ในช่วงบริเวณกลางกราฟ หรือเรียกว่า Midtones

กรณีการตั้งค่า Exposure time สูงหรือนาน ค่าความเข้มแสงที่มีค่าสูงอยู่แล้วจะถูกปรับให้มีค่าเท่ากับค่าสูงสุด ซึ่งจะแสดงผลเป็นสีขาวในจอดูภาพ ภาพจึงสว่างขึ้นมากกว่าปกติ หรือ Over exposure สำหรับความเข้มข้นต่ำ แอบทดสอบจะมีสีขาวใกล้เคียงกับพื้นขาว เมื่อตั้งค่า Exposure time สูง จะทำให้แอบทดสอบมีสีขาวใกล้เคียงกับพื้นขาวมากขึ้น จนแอบแยกไม่ออก เนื่องจากค่าความเข้มแสง ΔI_T เป็นค่าความแตกต่างระหว่างแอบทดสอบกับพื้นขาว ค่า ΔI_T กรณีตั้งค่า Exposure time สูงจะมีค่าต่ำลง (รูปที่ 4.9)

นอกจากนี้เมื่อตั้งค่า Exposure time มีค่าสูงขึ้น ค่าเบี่ยงเบนมาตรฐาน (Standard deviation) มีแนวโน้มลดลงด้วย ซึ่งเมื่อพิจารณาค่า Histogram และข้อมูลในรูปที่ 4.9 ก็ให้ข้อมูลที่สรุปสอดคล้องกัน กล่าวคือ ค่าความเข้มแสงที่แอบทดสอบจะถูกปรับให้ใกล้เคียงค่าสูงสุดค่าหนึ่ง ทำให้การวัดจากชุดทดสอบแต่ละชุดให้ผลที่เกือบจะเท่ากัน นอกจากนี้เมื่อความเข้มแสงสูงขึ้น ค่าสัญญาณต่อสัญญาณรบกวน (S/N ratio) จะสูงขึ้นด้วย

เมื่อตั้งค่า Exposure time ให้ต่ำลง จนภาพมีคลลงหรือ Under exposure ความเข้มแสงต่ำในภาพจะถูกปรับเข้าหาค่าต่ำสุด (0) จะทำให้แอบควบคุมคุณภาพมากขึ้น ความเข้มแสงที่แอบทดสอบและพื้นขาวจะมีค่าต่ำลง ภาพทั้งหมดจึงดูทึบมากขึ้น รวมทั้งความเข้มแสงที่แอบทดสอบจะต่างกับพื้นขาวมากขึ้น ส่งผลให้ค่า ΔI_T มีค่าต่างกันมากขึ้น แต่เมื่อความเข้มแสงโดยรวมทั้งภาพมีค่าลดลง ค่า S/N ratio จะลดลงตามไปด้วย ส่งผลให้ค่าเบี่ยงเบนมาตรฐานมีค่าสูงขึ้น ตำแหน่งค่า Exposure time ที่เหมาะสมจะทำให้ค่า Detection limit ดีที่สุด จึงต้องมีค่า ΔI_T สูง แต่มีค่าเบี่ยงเบนมาตรฐานต่ำ ซึ่งจำเป็นต้องทำการทดลองเพื่อหาค่า Exposure time ที่เหมาะสมดังกล่าว

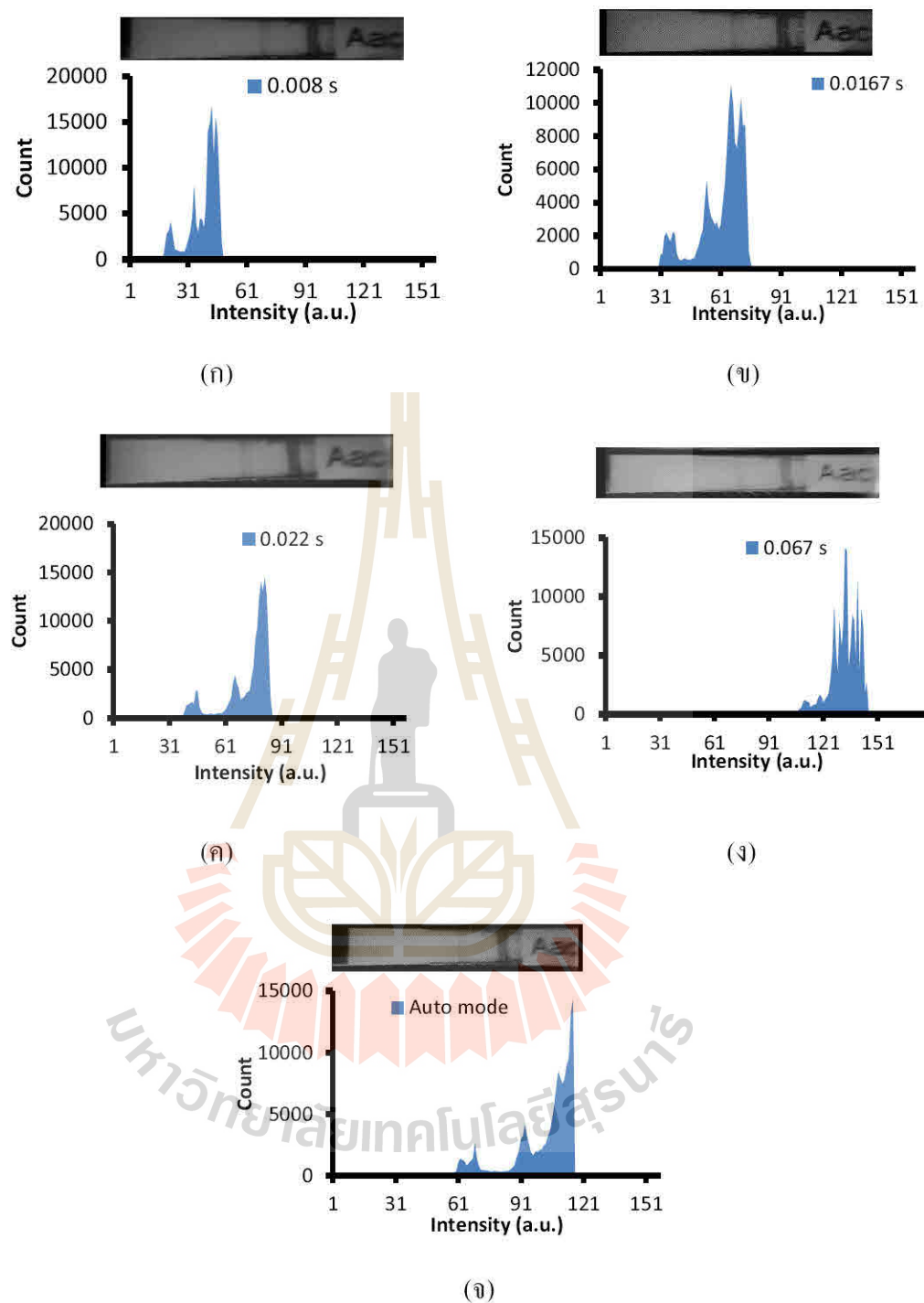
รูปที่ 4.10 แสดงผลการทดลองวัดค่า ΔI_T สำหรับตัวอย่างที่มีความเข้มข้นของแบคทีเรีย *Aac* เท่ากับ Healthy, 1×10^5 , 5×10^5 และ 1×10^6 CFU/mL ทำการทดลองซ้ำทั้งหมด 3 ครั้ง ในกรณีการปรับรับค่า Exposure time ของกล้องโทรศัพท์อยู่ระหว่าง 0.008 – 0.0067 s ถ้าเลือก Automatic mode ของกล้องในการถ่ายภาพชุดทดสอบ กล้องจะเลือกค่า Exposure time เท่ากับ 0.03 s จากผลการทดลองแสดงให้เห็นว่า เมื่อค่า Exposure time ต่ำลง ค่า ΔI_T ที่แอบทดสอบมีแนวโน้มเพิ่มขึ้นในทุกความเข้มข้น ค่า Detection limit ในรูปที่ 4.10 มีค่าเท่ากับ 1×10^5 CFU/mL เมื่อ Exposure time เท่ากับ 0.008 s เมื่อเทียบกับ Exposure time ค่าอื่น ๆ ข้อมูลที่นำเสนอนี้อีกประการหนึ่งคือ ค่า

เบี่ยงเบนมาตรฐาน (Error bar ในรูปที่ 4.10) มีแนวโน้มเพิ่มขึ้น เมื่อลดค่า Exposure time ดังนั้นการลดค่า Exposure time ลงต่ำกว่าที่ Detection limit อาจจะแย่ลงกว่าที่ได้

รูปที่ 4.10 แสดงให้เห็นว่า Exposure time ต่างกัน มีผลต่อค่า ΔI_T ดังนั้นการตั้งค่า Exposure time ของกล้องต่างกัน ΔI_T และ Detection limit ที่ได้ต่างกัน คล้ายกับกรณีของกล้องเว็บแคมโดยทั่วไป Exposure time ของกล้องแต่ละรุ่นนั้นปรับໄได้ไม่เท่ากัน ดังนั้นไม่ว่าว่าจะใช้กล้องรุ่นไหนถ่ายภาพ ควรทดลองเพื่อหาค่า Exposure time ที่เหมาะสม

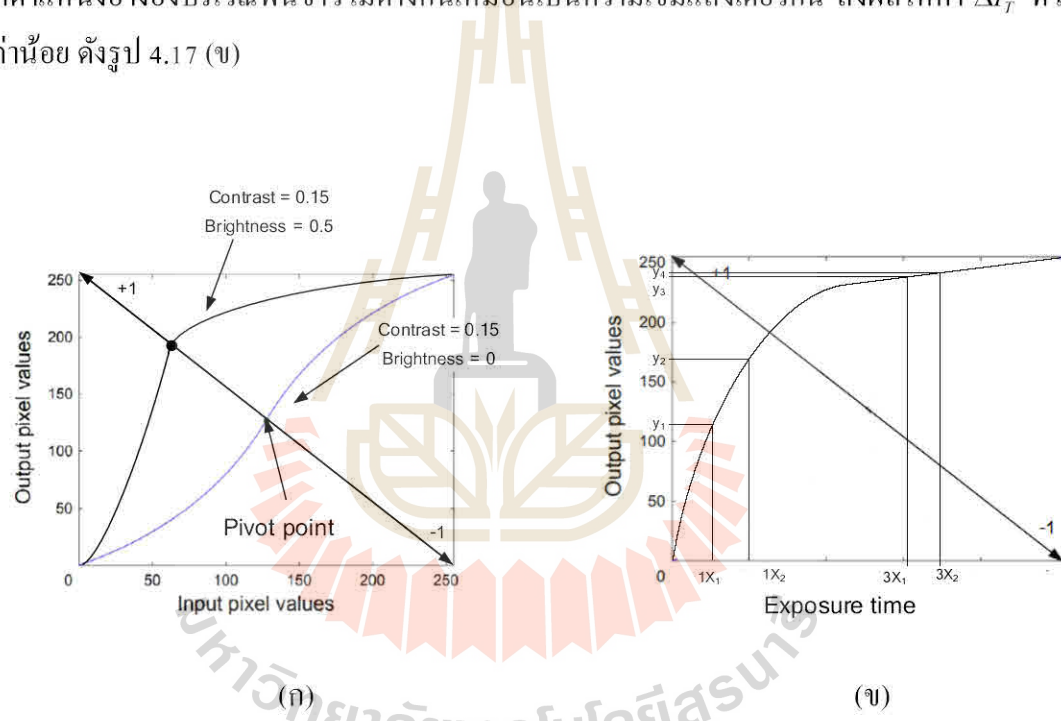
จากการทดลองปรับ Exposure time ของกล้องเว็บแคมตั้งแต่เวลา ransom แสงสั้น 0.008 s ไปจนถึงเวลา ransom แสง 0.067 วินาที และใช้งานกล้องในโหมดอัตโนมัติ (Exposure time เท่ากับ 0.03 s) จากนั้นทำการบันทึก Histogram ข้อมูล Histogram เมื่อใช้กล้องโทรศัพท์ถ่ายภาพชุดทดสอบสามารถอธิบายการลดลงของความเข้มแสง ΔI_T ที่แนบททดสอบและค่าเบี่ยงเบนมาตรฐานในการวัดของข้อมูลรูปที่ 4.16 ได้โดยใช้เหตุผลดังที่ได้อธิบายไว้ในกรณีของกล้องเว็บแคม ดังนั้นการใช้ Exposure time ต่ำ จึงจะให้ค่า Detection limit ในการวัดของเครื่องมือดีขึ้น ทั้งนี้ค่า Exposure time ที่เหมาะสมต้องทำการทดลองสำหรับชุดทดสอบแต่ละชนิด

การปรับค่า参数 ต่าง ๆ ของกล้องมีเพียงการปรับ Exposure time หรือเวลาเปิดรับแสงของกล้องเท่านั้น ที่เป็นการปรับค่าอิเล็กทรอนิกส์ของวงจรที่อยู่ภายในกล้อง ส่วนการปรับ Contrast กับ Gain เป็นการปรับภาพที่ซอฟต์แวร์ ดังนั้นการปรับ Exposure time จึงมีความสำคัญอันดับแรก จากรูปที่ 4.16 เมื่อปรับ Exposure time จาก 0.015 s เป็น 0.031 s เพิ่มขึ้นจากเดิม 2 เท่า พนับว่าค่าความเข้มแสงแต่ละตำแหน่งบนภาพชุดทดสอบเพิ่มขึ้น มีความสัมพันธ์แบบไม่เชิงเส้น เมื่อพิจารณาจากการเพิ่มเวลาการรับแสงของกล้องรับภาพกรณีแบบไม่เชิงเส้นเป็นเรื่องที่ยาก เนื่องจากค่า Exposure time เป็นเวลาในการรับไฟตอนที่ดีเทียบเทอร์ของกล้อง CMOS ดังนั้นผู้วิจัยคิดว่าค่าความเข้มแสงแบบไม่เชิงเส้นที่เพิ่มขึ้นจากการปรับค่า Exposure time นั้น มาจากการตั้งค่า Contrast และ Brightness ของกล้องที่ผู้วิจัยตั้งอยู่ก่อนแล้ว



รูปที่ 4.16 เปรียบเทียบ Histogram จากภาพชุดทดสอบของชุดทดสอบ Aac ที่ความเข้มข้น 1×10^6 CFU/mL และ Exposure time (n) 0.008 s (ψ) 0.0167 s (θ) 0.022 s (ι) 0.097 s และ (ω) 0.03 s (Auto mode)

การปรับค่า Contrast และ Brightness ของกล้องทั่วไปแล้ว จะใช้โปรแกรมการปรับแบบ S-Curve (<https://www.baslerweb.com>) ดังรูป 4.17 (ก) การปรับ brightness ทำการปรับแนวโน้มของกราฟที่จุด Pivot point ส่งผลให้ความเข้มแสงอินพุตที่ค่าต่ำ ๆ ขยายสัญญาณได้มากขึ้น เนื่องจากความชันของกราฟความเข้มแสงอินพุตดังกล่าวมีค่าสูง จากเหตุผลดังกล่าวเมื่อปรับค่า Exposure time ของกล้องเป็นค่าต่ำ ๆ ก็ล่าวคือมีความเข้มแสงอินพุตต่ำ ๆ ความเข้มแสงเอาต์พุตที่ได้จากการ S-Curve ระหว่างความเข้มแสงที่ตำแหน่งแนบทடส่องกับความเข้มแสงที่ตำแหน่งอ้างอิง บริเวณพื้นขาวต่างกันมากขึ้นส่งผลให้ค่า ΔI_r สูงขึ้น ในทางกลับกันถ้าตั้งค่า Exposure time ค่าสูง ๆ ความเข้มแสงเอาต์พุตที่ได้จากการ S-Curve ระหว่างความเข้มแสงที่ตำแหน่งแนบทटส่องกับความเข้มแสงที่ตำแหน่งอ้างอิงบริเวณพื้นขาวไม่ต่างกันเหมือนเป็นความเข้มแสงเดียวกัน ส่งผลให้ค่า ΔI_r ที่ได้มีค่าน้อย ดังรูป 4.17 (ข)



รูปที่ 4.17 (ก) การปรับค่า Contrast และ Brightness ของกล้องแบบ S-Curve และ (ข) ความเข้มแสงเอาต์พุตที่ได้จากการ S-Curve ในกรณีที่ Exposure time ต่ำ ความชันบริเวณดังกล่าวมีค่าสูง ส่งผลให้การขยายสัญญาณในช่วงนี้สูง ส่วนที่ Exposure time สูง ความชันบริเวณนั้นมีค่าน้อยทำให้การขยายสัญญาณต่ำ (<https://www.baslerweb.com>)

บทที่ 5

สรุป

ในประเทศไทยมีการวิจัยและพัฒนาชุดทดสอบอย่างง่ายแบบแอลเอฟเอ (Lateral flow immunochromatographic assays, LFA) สำหรับเป็นชุดทดสอบทางการแพทย์ การเกษตร และการตรวจสอบอาหารเป็นจำนวนมาก ชุดทดสอบบางชุดได้รับการพัฒนาต่อยอดจำหน่ายในเชิงพาณิชย์ อย่างไรก็ตามพบว่า ชุดทดสอบที่พัฒนาขึ้นภายใต้มาตรฐานสากล ใช้การอ่านแบบสีด้วยตาเปล่า ซึ่งการแปลผลด้วยตาเปล่ามีข้อจำกัดอยู่บ้าง ผู้ใช้งานแต่ละคน การแปลผลด้วยตาเปล่าจะมีปัญหามากนั้นถ้าต้องการทดสอบที่ความแม่นยำต่ำๆ งานวิจัยนี้ได้ศึกษาความเป็นไปได้ทางเทคนิคที่จะพัฒนาเครื่องอ่านแบบสีชุดทดสอบ สำหรับใช้ในการแปลผลแทนการแปลผลด้วยตาเปล่า และได้ศึกษาพารามิเตอร์ต่างๆ ของกล้องที่ใช้ถ่ายภาพชุด เพื่อให้ได้ Detection limit ที่วัดได้ของเครื่องอ่านแบบสีดีกว่าค่าดังกล่าวเมื่อแปลผลด้วยตาเปล่า ซึ่งออกแบบให้สามารถใช้งานกับชุดทดสอบที่หลากหลายที่พัฒนาขึ้นภายใต้มาตรฐานสากล ทั้งนี้ราคาต้นทุนวัสดุอุปกรณ์เครื่องมือวัดดังกล่าวต้องไม่แพงสามารถใช้งานได้จริง

งานวิจัยนี้ได้พัฒนาเครื่องอ่านแบบสีชุดทดสอบ 2 แนวทาง แนวทางแรกคือ การพัฒนาเครื่องอ่านแบบสีโดยใช้กล้องเว็บแคมต่อกับคอมพิวเตอร์เพื่อประมวลผล ทั้งนี้ต้องติดตั้งโปรแกรมประมวลผลไว้ที่คอมพิวเตอร์ ปัจจุบันกล้องเว็บแคมมีราคาค่อนข้างถูก การพัฒนาซอฟต์แวร์จะไม่ยุ่งยาก ง่ายต่อการพัฒนาและไม่จำเป็นต้องปรับเปลี่ยนบ่อยๆ เนื่องจากคอมพิวเตอร์ส่วนใหญ่ใช้ Window อย่างไรก็ตาม แนวทางนี้ทำให้การใช้งานภาคสนามค่อนข้างยุ่งยากสำหรับผู้ใช้งานจึงเหมาะสม ใช้งานในห้องปฏิบัติการ

แนวทางที่สองคือ การใช้กล้องโทรศัพท์แบบพกพาเป็นอุปกรณ์รับภาพ (แทนกล้องเว็บแคม) วิธีการนี้มีอุปกรณ์ที่ใช้สร้างเครื่องอ่านเพียงแค่กล้องและก้านมือถือ เล่นสีปรับขนาดของภาพชุดทดสอบ โครงสร้างเชิงกล ซึ่งทำให้ต้นทุนต่ำกว่ากรณีแรก ทั้งนี้ต้องพัฒนาซอฟต์แวร์ (Mobile application) ในการประมวลผลภาพและข้อมูล อย่างไรก็ตามโทรศัพท์แต่ละรุ่นมีลักษณะที่แตกต่างกันมาก หรือมีการเปลี่ยนแปลงรุ่นอยู่ตลอดเวลา การออกแบบเครื่องมือวัดให้สามารถรองรับการใช้งานกับโทรศัพท์รุ่นต่างๆ ได้ จึงค่อนข้างยากในการออกแบบ อาจมีการวางแผนหรือเตรียมรองรับการเปลี่ยนแปลงดังกล่าวอยู่เสมอ

แนวทางนี้งานวิจัยนี้ได้ออกแบบและสร้างต้นแบบภาคสนามเครื่องอ่านแอบสีชุดทดสอบสำหรับใช้งานกับชุดทดสอบอย่างง่ายที่จำเพาะต่อเชื้อ *Acidovorax avenae* subsp.*citrulli* (*Aac*) และเชื้อ Watermelon mosaic virus-2 (WMV-2) เชื้อ *Potyvirus* รวมทั้งเชื้อ *Acidovorax avenae* subsp.*citrulli* (*Aac*) ของชุดทดสอบอย่างง่ายแบบตรวจพร้อมกัน (Multiplex detection) โดยใช้กล้องเว็บแคมหรือโทรศัพท์เป็นอุปกรณ์รับภาพ และใช้แหล่งกำเนิดแสงไฟโอดิเปลี่ยนแสงสีเขียว จัดแสงตากกระบบให้มีมุมเอียง 45° รวมทั้งได้พัฒนาเทคนิคประมวลผลภาพและข้อมูลแบบอัตโนมัติ ผลการทดสอบพบว่า Detection limit เมื่อการใช้เครื่องอ่านแอบสีในการแปลผลเท่ากับ 1×10^5 CFU/mL เมื่อเปรียบเทียบกับการแปลผลด้วยตาเปล่า มี Detection limit เท่ากับ 5×10^6 CFU/mL จากผลการทดลองพบว่า Detection limit กรณีการใช้เครื่องอ่านแอบสีสำหรับชุดทดสอบอย่างง่ายในการแปลผลดีกว่าการใช้ตาเปล่าแปลผลถึง 50 เท่า เครื่องอ่านแอบสีสำหรับชุดทดสอบนี้มีราคาไม่แพง วัสดุอุปกรณ์ที่ใช้ในการสร้างต้นแบบสามารถจัดหาได้โดยทั่วไป การปรับค่า Exposure time, Contrast และ Gain ของกล้องส่องส่องทำให้ได้ค่าการสะท้อนที่ลดลงที่ตำแหน่งแบบทดสอบ (ΔI_T) และ Detection limit ที่ได้จากเครื่องมือวัดแตกต่างกัน ในกรณีของ Exposure time ควรตั้งให้มีค่าต่ำ หรือเปิดรับแสงในเวลาสั้นๆ ส่องผลให้ ΔI_T ที่ได้สูงขึ้น การปรับค่า Contrast ที่สูงขึ้น และ Gain ที่ต่ำลงนั้น ส่องผลให้ค่า ΔI_T สูงขึ้นด้วย ดังนั้นจึงไม่ควรใช้การตั้งค่าแบบ Auto mode แต่ควรตั้งพารามิเตอร์ต่าง ๆ ของกล้องให้ได้ค่า Detection limit ดีที่สุด

ในอนาคตผู้พัฒนาชุดทดสอบในต่างประเทศ จะนำเครื่องอ่านมาใช้กับชุดทดสอบทุกชุด แทนการแปลผลด้วยตาเปล่า เนื่องจากเครื่องมือได้รับการพัฒนาไปมากแล้ว และการผลิตในปริมาณมากจะทำให้เครื่องอ่านถูกลงมาก แนวโน้มดังกล่าวจะทำให้การพัฒนาเครื่องอ่านแอบสีสำหรับชุดทดสอบที่พัฒนาขึ้นในประเทศไทยจำเป็นต้องมีเครื่องอ่านแอบสีเสนอให้กับผู้ใช้งาน ผลจากการวิจัยนี้พบว่า สามารถสร้างเครื่องอ่านแอบสีสำหรับชุดทดสอบที่มีความไวสูง สามารถผลิตใช้งานจริงได้ สามารถนำไปปรับใช้กับชุดทดสอบทางชีวภาพที่พัฒนาขึ้นเองในประเทศไทยได้ ซึ่งจะช่วยให้อ่านค่าได้แม่นขึ้น และเพิ่มความน่าเชื่อถือให้กับชุดทดสอบ อย่างไรก็ตาม เพื่อให้เครื่องมือที่พัฒนาขึ้นมีความน่าเชื่อถือ จำเป็นต้องมีการเพิ่มจำนวนตัวอย่างในการทดสอบให้หลากหลายมากขึ้น

รายการอ้างอิง

- Abe, Kaoru, et al. (2009), 'Simplified method for determining cadmium concentrations in rice foliage and soil by using a biosensor kit with immunochromatography', *Journal of the Science of Food and Agriculture*, 89 (6), 1097-100.
- Bahadır, Elif Burcu and Sezgintürk, Mustafa Kemal (2016), 'Lateral flow assays: Principles, designs and labels', *TrAC Trends in Analytical Chemistry*, 82, 286-306.
- Carrio, Adrian, et al. (2015), 'Automated Low-Cost Smartphone-Based Lateral Flow Saliva Test Reader for Drugs-of-Abuse Detection', *Sensors*, 15 (11), 29569-93.
- Chen, Yiping, et al. (2016), 'A dual-readout chemiluminescent-gold lateral flow test for multiplex and ultrasensitive detection of disease biomarkers in real samples', *Nanoscale*, 8 (33), 15205-12.
- Cho, Il-Hoon, et al. (2010), 'Immunogold–silver staining-on-a-chip biosensor based on cross-flow chromatography', *Journal of Chromatography B*, 878 (2), 271-77.
- Coleman, Russell E, et al. (2002), 'Field evaluation of the ICT Malaria Pf/Pv immunochromatographic test for the detection of asymptomatic malaria in a Plasmodium falciparum/vivax endemic area in Thailand', *The American Journal of Tropical Medicine and Hygiene*, 66 (4), 379-83.
- Geginat, G., Kaiser, D., and Schrempf, S. (2012), 'Evaluation of third-generation ELISA and a rapid immunochromatographic assay for the detection of norovirus infection in fecal samples from inpatients of a German tertiary care hospital', *European Journal of Clinical Microbiology & Infectious Diseases*, 31 (5), 733-37.
- Gollier, J., Piech, G.A., and Webb, M.B. (2009), 'Optical reader system and method for monitoring and correcting lateral and angular misalignments of label independent biosensors', (Google Patents).
- Gui, Chen, et al. (2014), 'A CCD-based reader combined with CdS quantum dot-labeled lateral flow strips for ultrasensitive quantitative detection of CagA', *Nanoscale Research Letters*, 9 (1), 57.

- Himananto, Orawan, et al. (2011), 'Novel and Highly Specific Monoclonal Antibody to Acidovorax citrulli and Development of ELISA-Based Detection in Cucurbit Leaves and Seed', *Plant Disease*, 95 (9), 1172-78.
- Hua, Xiude, et al. (2010), 'Development of an immunochromatographic assay for the rapid detection of chlorpyrifos-methyl in water samples', *Biosensors and Bioelectronics*, 26 (1), 189-94.
- Huang, Xiaohua and El-Sayed, Mostafa A. (2010), 'Gold nanoparticles: Optical properties and implementations in cancer diagnosis and photothermal therapy', *Journal of Advanced Research*, 1 (1), 13-28.
- Jakoby, B., et al. (2010), 'Eurosensor XXIV ConferenceMobile phone analysis of NT-proBNP using high dynamic range (HDR) imaging', *Procedia Engineering*, 5, 584-87.
- Jung, Youngkee, et al. (2015), 'Smartphone-based colorimetric analysis for detection of saliva alcohol concentration', *Applied Optics*, 54 (31), 9183-89.
- Kaylor, R., Yang, D., and Knotts, M. (2013), 'Reading device, method, and system for conducting lateral flow assays', (Google Patents).
- Khamta, Yaowapa, et al. (2009), 'Development of Immunochromatographic Assay for the On-site Detection of Salbutamol', *Journal of Immunoassay and Immunochemistry*, 30 (4), 441-56.
- Kim, S. and Park, J. K. (2004), 'Development of a test strip reader for a lateral flow membrane-based immunochromatographic assay', *Biotechnology and Bioprocess Engineering*, 9 (2), 127-31.
- Koczula, Katarzyna M and Gallotta, Andrea (2016), 'Lateral flow assays', *Essays in Biochemistry*, 60 (1), 111-20.
- Lee, Seoho, et al. (2016), 'NutriPhone: a mobile platform for low-cost point-of-care quantification of vitamin B12 concentrations', *Scientific Reports*, 6, 28237.
- Mansfield, MA, Wong, RC, and Tse, HY (2009), 'Lateral Flow Immunoassay', (Humana Press, New York).
- Mei, Jianchun, et al. (2011), 'Development and study of lateral flow test strip reader based on embedded system', *IEEE 2011 10th International Conference on Electronic Measurement & Instruments* (1), 201-04.

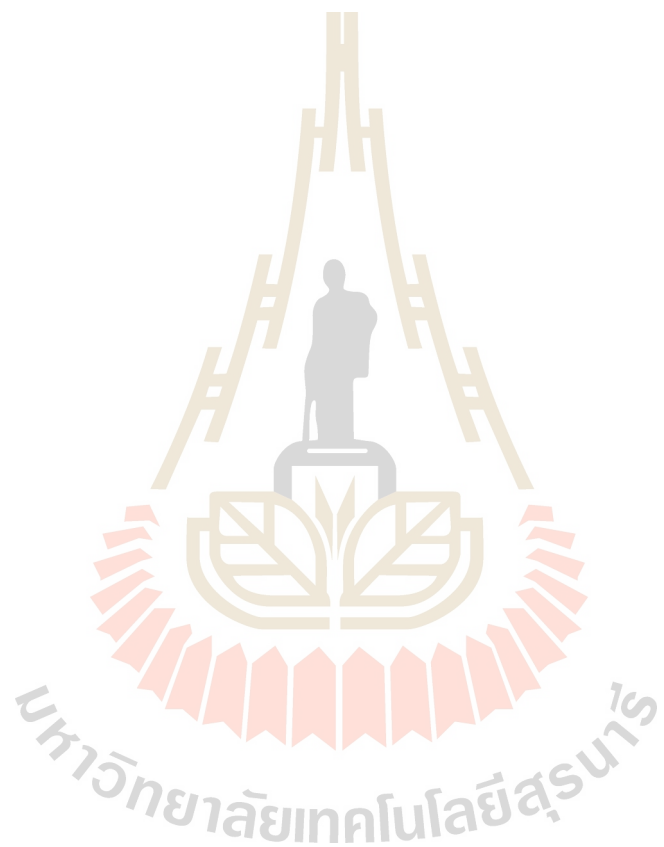
- Mudanyali, O., et al. (2012), 'Integrated rapid-diagnostic-test reader platform on a cellphone', *Lab Chip*, 12 (15), 2678-86.
- Ozcan, A., et al. (2014), 'Portable rapid diagnostic test reader', (Google Patents).
- Posthuma-Trumpie, G. A., Korf, J., and van Amerongen, A. (2009), 'Lateral flow (immuno)assay: its strengths, weaknesses, opportunities and threats. A literature survey', *Anal Bioanal Chem*, 393 (2), 569-82.
- Qin, Zhenpeng, et al. (2012), 'Significantly Improved Analytical Sensitivity of Lateral Flow Immunoassays by Using Thermal Contrast', *Angewandte Chemie International Edition*, 51 (18), 4358-61.
- Sajid, Muhammad, Kawde, Abdel-Nasser, and Daud, Muhammad (2015), 'Designs, formats and applications of lateral flow assay: A literature review', *Journal of Saudi Chemical Society*, 19 (6), 689-705.
- Scherr, Thomas F., et al. (2016), 'Mobile phone imaging and cloud-based analysis for standardized malaria detection and reporting', *Scientific Reports*, 6, 28645.
- Shao, Xiang-Yang, et al. (2017), 'Rapid and Sensitive Lateral Flow Immunoassay Method for Procalcitonin (PCT) Based on Time-Resolved Immunochromatography', *Sensors*, 17 (3), 480.
- Sithigorngul, Paisarn, et al. (2007), 'A simple and rapid immunochromatographic test strip for detection of pathogenic isolates of Vibrio harveyi', *Journal of Microbiological Methods*, 71 (3), 256-64.
- Vail, T., Hatfield, J., and Propper, C. (2005), 'Lateral flow diagnostic assay reader with radial cassette', (Google Patents).
- Venkataramana, M., et al. (2014), 'Development and validation of an immunochromatographic assay for rapid detection of fumonisin B1 from cereal samples', *Journal of Food Science and Technology*, 51 (9), 1920-28.
- Watthanaworawit, Wanitda, et al. (2011), 'A prospective evaluation of diagnostic methodologies for the acute diagnosis of dengue virus infection on the Thailand-Myanmar border', *Transactions of the Royal Society of Tropical Medicine and Hygiene*, 105 (1), 32-37.
- Xiulan, Sun, et al. (2006), 'Development of an immunochromatographic assay for detection of aflatoxin B1 in foods', *Food Control*, 17 (4), 256-62.

- Yang, Y., et al. (2015), 'Development of a quantifiable optical reader for lateral flow immunoassay', *2015 8th International Conference on Biomedical Engineering and Informatics (BMEI)*, 344-49.
- Yeh, Chia-Hsien, et al. (2014), 'Optimization of an Optical Inspection System Based on the Taguchi Method for Quantitative Analysis of Point-of-Care Testing', *Sensors*, 14 (9), 16148.
- Yetisen, Ali K., et al. (2014), 'A smartphone algorithm with inter-phone repeatability for the analysis of colorimetric tests', *Sensors and Actuators B: Chemical*, 196, 156-60.
- You, D. J., Park, T. S., and Yoon, J. Y. (2013), 'Cell-phone-based measurement of TSH using Mie scatter optimized lateral flow assays', *Biosens Bioelectron*, 40 (1), 180-5.
- Zangheri, Martina, et al. (2015), 'A simple and compact smartphone accessory for quantitative chemiluminescence-based lateral flow immunoassay for salivary cortisol detection', *Biosensors and Bioelectronics*, 64, 63-68



รายชื่อบทความวิชาการที่ได้รับการตีพิมพ์เผยแพร่ในระหว่างการศึกษา

Boonsong Sutapun, Lalita Saisin; Ratthasart Amarit, Armote Somboonkaew, Oraprapai Gajanandana, Orawan Himananto. (2016) . **Detection limit improvement for a mobile lateral flow assay reader.** Photonics Asia 2016 Conference being held at Beijing International Convention Centre from 11th to 14 th October 2016.



ประวัติผู้เขียน

นางสาวคลิตา สายศิลป์ เกิดเมื่อวันที่ 6 ตุลาคม พ.ศ. 2534 ภูมิลำเนาเดิมอยู่บ้านเลขที่ 32/4 ถนนกุดั่น ตำบลในเมือง อำเภอเมือง จังหวัดนราธิวาส 30000 จบระดับมัธยมศึกษาตอนปลาย โรงเรียนสุรนารีวิทยา 2 จังหวัดนราธิวาส ปีการศึกษา 2553 และสำเร็จการศึกษาปริญญา วิศวกรรมศาสตร์ (วิศวกรรมอิเล็กทรอนิกส์) มหาวิทยาลัยเทคโนโลยีสุรนารี จังหวัดนราธิวาส เมื่อปี พ.ศ. 2557 ได้รับทุนสนับสนุนปริญญานิพนธ์ของโครงการวิทย์ผลิตนักเทคโนโลยี จากสวทช.

เมื่อ พ.ศ. 2557 ในปีเดียวกันได้ศึกษาต่อในระดับปริญญาโท สาขาวิศวกรรมอิเล็กทรอนิกส์ มหาวิทยาลัยเทคโนโลยีสุรนารี จังหวัดนราธิวาส งานวิจัยนี้ได้รับทุนสนับสนุนจากโครงการทุนสถาบันบัณฑิตวิทยาศาสตร์และเทคโนโลยีไทย (TGIST) สัญญาเลขที่ TGIST 01-57-025 สำนักงานพัฒนาวิทยาศาสตร์และเทคโนโลยีแห่งชาติ

